

廣島縣吳工業試驗場報告

N O. 1

1 9 5 1

REPORTS FROM INDUSTRIAL EXPERIMENT
LABORATORY KURE HIROSHIMA PREFECTURE

内 容

序 言	商工部長 中島嘉久二	1
創刊の辭	掲長 日下和治	4

A. 研究報告

1. 電解研磨に関する研究

第 1 報	東 正十郎、下藤秋夫、宗重文夫	5
第 2 報	" " "	15

2. 鍋に関する研究

第 1 報	豊永信夫、脇一雄、辰本金藏	23
第 2 報	" " "	35
第 3 報	" " "	43

3. 鍋の熱処理に関する研究

第 1 報	佐久間安正、久村正子	49
-------------	------------------	----

4. 縫針の研究

第 1 報	佐久間安正、久村正子	57
第 2 報	" " "	62

5. ミシン針の研究

第 1 報	小川透司、中村哲吉	70
-------------	-----------------	----

6. 鑄物砂の研究

第 1 報	大宮義則、田中男	81
-------------	----------------	----

7. 人造真珠塗膜の赤外線乾燥について

戸谷哲雄

*

B. 発 報

1. 廣島縣礦工業の展望

日下和治

*

2. Nodular Graphite Cast Iron について

佐久間安正

*

3. 光輝焼純鍼に就いて

三宅輔之

*

4. 人造真珠に就いて

戸谷哲雄

*

5. 高周波焼入を施した金切削刃について

第 1 報	脇一雄、國岡孝之	119
-------------	----------------	-----

6. 真鍮の化學研磨

東 正十郎、宗重文夫

*

7. 圓筒研磨に於ける砥石の磨耗

小川透司

*

8. 鎔鐵と其の鑄物

日下和治

*

CONTENTS OF REPORTS FOR RESEARCH

1. Research on Electro-Polishing	Page
1st report	S. Azuma, A. Shimokatsu, F. Muneshige 5
2nd report	" 15
2. Industrial Research of Files	
1st report	N. Toyonaga, K. Waki, K. Tatsumoto 23
2nd report	" 35
3rd report	" 43
3. Research on the Heat-treatment of a File	
1st report	Y. Sakuma, M. Kumura 49
4. Research on Sewing Needle	
1st report	Y. Sakuma, M. Kumura 57
2nd report	" 62
5. Industrial Research on Sewing Needle	
1st report	I. Ogawa, T. Nakamura 70
6. On the Moulding Sand	
1st report	Y. Omiya, I. Tanaka 84
7. Research on Drying by infra-red ray for imitation pearl essences.	T. Todani 87



序　　言

廣島縣商工部長 中場嘉久二

率直に云つて、私は縣立の各種工業試験場はその縣の中小企業者全體の協同研究所であると考へる。この事は大企業は自分の資力によつて充分な研究所を置くことができるが、個々の中小企業者はそれができないといふ理由に基く。従つて、その縣の中小企業特に特産産業の振興をはかるためには、これらの工業試験場をぬきにして考へることはできない。吳工業試験場が設置された趣旨も右の様な必要に基いている。特に「針」「鍔」「砥石」等機械金属に関する特産工業の多い本縣においては、この吳工業試験場に期待するところが極めて大きいものがある。

ひるがへつて、過去一年間における吳工業試験場の實績をみるとその成果は正に刮目に値するものがあり、その功績の顕著なことは縣民ひとしく認めるところであり、同試験場はそのかけられた期待を充分果している域に達しているものと考えられる。

こゝに一年間の研究實績の報告を公にすること共に、今後縣民各位に各段の關心をもつて頂くために「廣島縣立吳工業試験場報告」を發刊するに至つた次第である。

この報告を通じ今後とも縣民各位の絶大な御支援と御協力を願つて止まない次第である。

創刊の辭

場長日下和治

當廣島縣立吳工業試驗場發足以來丁度一周年になる。此間建設と試験研究業務が平行して行はれた爲め、場員は可成りの苦勞があつた。

然し優秀な工業成品を製造して縣外に送り出し、更に出来れば輸出に向ける事は吾々の念願であるので縣内各方面の依頼試験には尽可能限り需めに應じて來た。

更に研究を要するものは科學的に掘り下せて其の結果は適宜發表し、多少とも中小工業の技術方面に寄與した心算である。

もとより科學技術の道は深く一朝一夕に完全なる成果を期し難いが、此處に過去一周年場員が研究した報告を纏め創刊號とする次第である。

(昭和25年12月25日)

X X X
X X X

電解研磨に関する研究

Research on Electro-Polishing

第 1 報

(1st report)

ミシン針、縫針電解研磨の基礎実験に就て

Fundamental Research on Electro-Polishing of Sewing Machine-needle
and Sewing-needle

東 正十郎
Shozuro Azuma

下 謙秋夫
Akio Shimokatsu

宗 重文夫
Fumio Muneshige

We made several experiments in order to obtain fundamental data necessary for industrial electro-polishing of needles. As result, it is revealed to write as follows:

- (1) The Jacquet-curve could be seen where the D. C. electro-polishing of carbon steel being made, as well as where of copper done.
- (2) The decrease in quantity of carbon steel caused by melting is increased with the lapse of time and the diameter of the top is diminished to a greatly extent.
- (3) The absorbent hydrogen gas produced when A.C. electro-polishing is made, can be removed through appropriate treatment.

We studied also conditions and effects to omit magnetization caused by magnet in the case of electro-polishing treatment.

I 緒 言

吾が國に於ける炭素鋼の直流及び交流に依る電解研磨に就ては田島榮氏(1), 川崎元雄氏(2)等の報告があり外國では歴史的なP.A. Jacquet(3)等の報告がある。

電解研磨の電源は一般金屬及び合金に於ては主として直流を用ひるも, 炭素鋼の場合には交流に依つても研磨が可能である。

筆者等は本郷特産の鍛針, ミシン針, 紡績針等小物炭素鋼製品電解研磨工業化の為の基礎資料を得る目的を以て種々の研究実験を試みた。

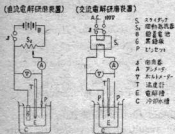
本報には主として交, 直流電解研磨に依る溶解量, 交流電解のための水素脆性の影響, 並びに永久磁石, 又は電磁石により磁化された針類の脱磁條件及びその効果に就ての成果を述べる。

II 實驗裝置與操作

1. 環置

本實験に用ひた装置は第1圖の如く結線した直流電解の場合には双心摺動抵抗器(抵抗2.1~8.4Ω)に依り、交流に於てはスライダック(Cap. 10A)によつて夫々電壓を調整した。電解槽には300c.c. ピーカーを用い、電解液の濃度調節のため冷却槽として1,000c.c. ピーカーを使用した。

第 1 圖：使用裝置繪線圖



2. 前處理

電解研磨前の一般処理法としては焼入黒皮の除去、品質の均一化、脱脂等が行われてゐる。本實験に於てはミシン針は焼入直後の黒皮をもつたまゝのもの、或ひは同品を電解脱脂したものを、試針はロール研磨計の荒切品をそのまま用いた。焼入直後のミシン針の表面には黒皮(Fe_3O_4)、焼入油が附着し居るため電解液の壽命保持、仕上面の美化等のためには事前処理として煮沸アルカリ脱脂或いは電解脱脂、酸洗い等の操作を行ふが良いと考えられる。

研針に於ては現在 70~80hrs.の長時間を要するロール研磨の一部或いは大半を、更に出来得べくんば全工程を電解研磨を以て研磨するを理想とするものである。

基礎実験資料として用いたミンシ針、鍼針の

炭素含有量は平均 0.5% であつた。

3. 後處理

電解研磨後の処理としては大蔵工業獎勵館の若本、川崎氏等の研究(4)の如く電解後迅速に水の諸工程を行つた。

- (1) 第一次水洗
 - (2) 5%炭酸ソーダ溶液による中和
 - (3) 第二次水洗
 - (4) 120°Cに加熱した石灰粉末中に濁け過
渡に脱水、乾燥する。

實驗室では恒温乾燥器で(4)の操作は可能であるが工場に於ては困難であらうと考え、種々他の乾燥法を研究したが、結局(4)の操作に依るものか現在の處最も良く筆者らの行つた蒸溜
硝石灰水浸漬も可成り良好な結果を與えた。

工業化の場合此の消石灰熱水處理の方が簡便な方法かと思はれる。

4. 购买解液

使用した電解液は次の如き組成をもつものである。

磷酸 (d=1.72)	100.c.c.
硫酸 (d=1.8)	15.c.c.
亜硫酸	3gr
グリセリン	25.c.c.

上液は直流、交流共縦針電解可能にして電解條件としては

電流密度 50~120 Amp/dm²
 時間 30秒~2分
 溫度 20~50°C

が良好であつた。

■ 針類電解研磨條件の考察

一般に直流及交流電解研磨に於ては電流、温度の増加、極間距離の減少に伴い電流及電流密度は増加する。ミシン針、針状電解研磨條件を確明するため次の如き各種實驗を行つた。

1. 直流電解池總

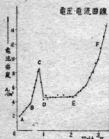
直流電解の際、電圧-電流密度曲線は、所謂 Tafelcurv 曲線と呼ばれ、電解研磨槽及び研磨條

件考察上有効である。

從来鋼、ニッケル等に就ての Jacquet 曲線が報告されてゐるが、筆者らは炭素鋼たるミシン針の場合にも此の特性曲線が描かれるこを見出した。(第2圖-1)

尙三好氏(3)提唱の電壓-抵抗曲線も本實驗値より、即ち横電壓を電流にて除した値(Ω)を縦軸に、電壓を横軸にとれば容易に求められ電解研磨適否判定の参考資料となし得る。(第2圖-2)

第2圖-1 ミシン針の電壓-電流曲線



第2圖-2 ミシン針の電壓-抵抗曲線



筆者らの用いた電壓は第2圖-1のF点以上の範囲に當る高電壓範囲であつて迅速研磨法と一般に云われているものである。電解時間の短縮、研磨効果の増進を期待するため此の高電壓-高電流密度部分を採用した。

2. 交流電解曲線

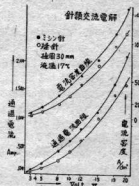
交流電解研磨に於ては兩極共被研磨材を用いて同時に研磨し得られる。ミシン針一鍵針各一本宛を兩極に採つた場合の電壓-電流曲線を第3圖に示す。

川崎元雄氏等(2)は交流電解の際その瞬間的電流-電壓曲線をブラウン管オシログラフを用いてとらへ、その結果交流の半周期毎に極性が轉換しつゝ陽極になつたとき Jacquet curve⁶を與へることを報告してゐる。

交流の場合は直流に比し一般に電流密度が遙かに大である。良好な研磨面を得られる範囲は5~15 Volt であつた。15V を越えると焼けの現象を起して研磨面が壊る恐れがある。8~12V の範囲が特に良い電壓範囲であつた。

電流密度は 50~100 A/dm² が良い様である。

第3圖 鈴類交流電解



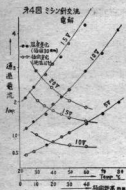
3. 溫度上昇に基く電流の変化

温度の上昇により粘液性の電解液の粘度は低下し電流密度は殆んど直線的に増加する。即ち液温の上昇は粘度の低下を來し、従つて Ion の擴散が容易となり電流密度は増す。

一定の電解液に於て此の粘度と温度との關係は電解條件の中でも重要であつて最適温度附近に液温を保持する様留意せねばならぬ。

今 P-3波を用い漸次液温を上昇せしめた場

第4圖



合の温度一電流曲線を第4圖黒点に示す。

(交流の場合)

交流電解の際の温度上昇速度は直流のそれに比して可成り大であつた。ミン針一本宛を兩極にとり極間3cmで電解研磨する際、交流10Vでは5分間に約8—10°C 温度が上昇し直流の場合同一條件で5—7°C の上昇を示した。液温が70—90°C に達すると表面が黒くて鏡面光澤を得難く、その上に液の老化を早めることになるので連續電解時には電解液の温度を最適温度（此の場合40°C）附近に常に保つ様冷却する事がある。

4. 極間距離と電流との関係

極間が大になる程電流分布は一様になるも電流密度は低下する。近すぎると即ち10mm前後では兩極発生ガスによる擾乱が甚だ激しく高電流密度となり温度上昇速度大となる。又此の際には陽極生成層が安定を欠いて研磨状態も良くない。交流10V 3~4cmの極間が適當であらう。

極間の相違に依る電流の変化状況を第4圖に併せて示す。

5. 兩極相対比と電流密度との関係

電流の均一なる配分を期すためには陽極に比し陰極は可及的大きく又その形狀も考慮せら

れねばならぬ。

一定電圧の下では交流電解共その電流密度は陽極面積或いは兩極處理面積の増大と共に次第に低下する傾きがある。本件に關しては第2報に基準的研究の成果を發表する豫定である。

III 針類の電解研磨減量

電解研磨によつて既らの研磨減耗があるかを知ることは工業化の場合、均一製品を確保する上からも重要である。筆者らは鍼針、ミン針に就いて電圧、研磨時間の相違による溶所減耗量を測定し次の如き結果を得た。

本實驗に用いた電解液は次の組成のものである。

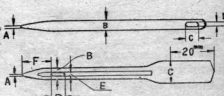
磷酸	100cc.	EP-15液
硫酸	10cc	
グリセリン	40cc	

電解條件は次の如くである。

極間	30mm
液温	40°C
電圧	5, 10, 15Volt
電解時間	20, 40, 60sec, 2, 3, 5mins
對極	直流電解 カーボン電極 (12×24×30mm) 交流電解 研磨品と全一材
保持法	鍼針 マグネット板に附直 ミン針 アルミニウム製クリップに挿む

直秤、孔部研磨量測定にはマイクロメーター及び120,65倍拡大投影器を使用した。測定箇所は第5圖の通りである。

第5圖 針類溶解減測定箇所



1. 縫針

資料にはロード部の平均値は次の如きである。
重 量 73.5
C

各條件毎に縫針を測定した。

A. 直流電解

電圧、時間の地

電圧	電解時間
5V	0
10V	1
15V	3

第6圖



I. 錐針

資料にはロール研磨直後のものを用ひた。各部の平均値は次の如し。

重量 73mg A 0.15mm B 0.63mm
C 0.83mm D 0.28mm

各條件毎に錐針2本宛を用ひその平均研磨量を測定した。

A. 直流電解研磨量

電壓、時間の増加と共に錐針の重量、先端径

外徑、孔徑、孔巾の研磨量は直線的に増加する特に先端への電流集中現象により先端部の溶解は甚しいものがあるが、ロール直後の此の試料は電解前0.15mmの徑をもつてゐた為10V3分研磨に於て始めて0.1mm以下になし得た。

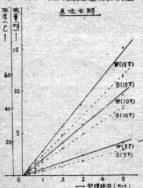
ロール研磨中間品に就き先端研磨を50μ程度となして後1分間10V電解せば先端は尖鋒化し孔部のプレス延りも除き得られる。

實驗結果を第1表及び第6圖に示す。

第1表 錐針直流電解研磨量

電 壓	電 流	時 間	重 量 減 (mg)	研 磨 量 (μ)			
				A	B	C (+)	D (+)
5V	0.7A	20sec	0.2	5	1	2.5	2
		40sec	0.45	8	2.5	4	3.5
		60sec	0.7	12	4	6	5
		2min	1.45	21	8	11	10
		3min	2.4	29	12	18	16.5
10V	1.6A	5	3.9	43	19	30	24
		20sec	0.5	6	3	3.5	3
		40sec	1.2	12.5	6.5	7	6.5
		60sec	1.8	20	9.5	9	8
		2min	3.8	36	15.5	17	15
15V	3.0A	3min	6.6	61	24	34	25
		5min	9.5	85	39	42	36
		20sec	1.0	10	4	6.5	6
		40sec	1.7	22	8	10	9.5
		60sec	2.8	28	12	15	13
		2min	5.8	37	24	27	25
		3min	8.4	47	35	41	37
		5min	15.4	48	57	70	56

第6圖 錐針直流電解研磨量



B. 交流電解研磨量

第2表及び第7圖に示す如く直流に比し交流に依るものの方が研磨量大で光澤も優秀である15V以上では研磨面が焼けの現象を呈する。電流密度も一般に直流よりも高く研磨量大なる為交流長時間(3~5分)電解に於ては先端部が余りにも尖鋒度を増し、實用に供し得ぬまでに至る。

第2表 極針交流電解研磨量

電圧	電流	時間	重量減 (mg)	研磨量(μ)			
				A	B	C (+)	D (+)
5V	0.9~ 1.0A	20sec	0.6	8	2.5	3	2.5
		40sec	1.0	13	3.5	6.5	5
		60sec	1.4	20	5.5	10	8.5
	2.1A	2min	2.5	31	12	19	15
		3sec	3.6	45	17.5	27	22
		5sec	6.5	75	29.5	35	30
10V	1.9~ 2.1A	20sec	0.85	10	4	4.5	4
		40sec	1.6	16	8	7.5	7
		60sec	2.4	25	11.5	12	10
	3.7~ 4.5A	2min	4.8	42	22.5	21	19
		3sec	7.2	60	33	30	25.5
		5sec	12.4	100	54	46	38
15V	3.7~ 4.5A	20sec	1.5	12	5.5	5.5	5
		40sec	2.5	20	10	11	10
		60sec	3.95	33	16	16.5	14
	2.1A	2min	7.8	61	32.5	30	27
		3sec	10.7	89	48	44	36
		5sec	19.0	125	77	65	54

2. ミシン針

試料は電解直前のバフ研磨品で次の平均のものと用ひた。

重量 320mg, A 0.042mm, B 0.83mm
C 1.99mm, D 0.75mm, E 0.25mm,
F 4.0mm,

各時間毎にミシン針3本宛を用ひ、その研磨量の平均値を求めた。

A. 直流電解

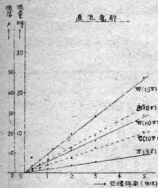
直流電解に於ては交流に比して光澤やい優れず、研磨量も小である。15V 3分以上電解の際先端生地が非常に見られ凹凸激しくかえつて尖端部は鈍化す。これは電流の異なる先端集中に依るためと考へられる。測定値を第3表及び第8圖に記す。

第3表 ミシン針直流電解研磨量

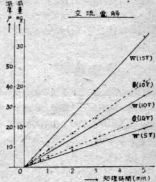
電圧	電流	時間	重量減 (mg)	研磨量(μ)					
				A	B	C	D (+)	E (+)	F
5V	0.9~ 1.0A	20sec	0.4	4	0.7	0.4	1	1	2
		40sec	0.7	8	2.0	1.3	3	2	4
		60sec	0.9	16	3.7	2.5	4	3	6
	2.1A	2min	1.9	18	5.6	3.4	7	5	13
		3sec	2.7	20	8.0	5.5	11	8	19
		5sec	4.4	24	12.5	9.6	16	12	28

		20sec	1.1	5	2.0	1.4	3	2	5
10V	2.5 ~ 2.8A	40sec	1.8	12.5	4.3	2.3	5	4	11
		60sec	3.0	15	7.0	4.1	7	6	15
		2min	5.6	23	12.8	8.2	12	11	27
		3min	7.9	26	18.5	12.3	18	16	33
		5min	14.3	29	33.5	20.0	29	23	56
15V	3.5 ~ 4.5A	20sec	1.7	16	4.2	2.6	4	4	8
		40sec	3.2	25	9.7	4.3	7	7	15
		60sec	4.5	25	12.6	8.1	12	10	22
		2min	9.7	16	26.8	15.0	20	19	38
		3min	14.1	8	40.2	19.4	31	27	46
		5min	23.2	16	59.0	32.4	43	36	72

第8圖 ミシン針直流電解研磨量



第9圖 ミシン針交流電解研磨量



第4表 ミシン針交流電解研磨量

電圧	電流	時間	重量減 (mg)	研磨量(μ)					
				A	B	C	D(+)	E(+)	F
5V	1.5 ~ 1.7A	20sec	0.9	6	1.2	1.1	2	1	4
		40sec	1.7	12	4.9	2.1	3	4	6
		60sec	2.3	15	7.6	3.9	6	5	9
	3.2 ~ 3.5A	2min	4.1	23	12.4	7.3	11	9	16
		3min	6.0	25	18.3	9.6	16	12	23
		5min	9.4	29	25.4	15.6	24	19	34
10V	3.2 ~ 3.5A	20sec	1.4	8	2.8	2.0	3	3	7
		40sec	2.8	16	5.6	3.5	6	5	13
		60sec	4.1	16	8.7	5.5	9	7	19
		2min	7.1	20	16.5	9.5	17	14	29
		3min	10.5	33	24.0	14.0	23	18	36
15V	5 ~ 6A	20sec	2.1	8	4.5	3.0	6	5	9
		40sec	4.2	15	9.9	5.8	11	11	17
		60sec	6.1	17	15.2	9.7	16	15	25
	3.5 ~ 4.5A	2min	11.5	20	28.5	18.4	23	28	38
		3min	19.0	25	48.3	26.3	38	40	65
		5min	32.5	32	80.0	43.6	53	50	94

B. 交流電解

第4表及び第9圖に見る如く5~10Vに於ける最初の1~2分間では先端A部が直徑B部の2倍以上研磨され、2分後於ては下部の減少が増す傾向にある。光澤良好で特に10V、1~2分研磨で孔部、半球部に多く研磨される。

以上の如く交流電解共電壓、電解時間の増加と共に研磨量は直線的に増大し特に先端部の減少は電解初期に於ては激しい。

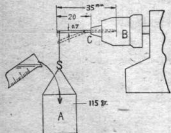
然し1~2分間の電解研磨量は小なる故左程問題にしないで良い様である。たゞ先端部に關しては前表の如く電流の先端集中の傾向により長期電解後には鈍化する怖れがある故注意を要する。

V. 水素脆性

上述の如く交流電解は炭素鋼の場合良好な研磨仕上面と高い能率をあげ得るもの、従来一般に電気鍛金に於て謂はれた如く水素の吸藏による水素脆性が交流の際にも當然考えられる。

日本製類の銀難性がとくに外國品に比し劣つてゐる上に此の交流電解研磨に依る水素難性の爲更に難性が低下するのではないかと懸念されていたが、筆者らは次の如き實驗の結果交流電解のための水素難性は電解後の適當なる後處理或ひは放置によつて或程度除去し得られることを確めた。

第10圖 水素脆性試驗裝置



即ち電解後の後処理別及び一定時間経過後の脆性並びに韌性の復活の状況を知るために第11

この装置で縦針につき各10本宛の測定値を平均し、第5表の如き結果を得た。

圖に於て B に開削された C 部で切斷される胞空隙 A に挿入された水の重量を測定した。

参考のため、直流陰極処理の針に就ての値も併せ記載した。

第5表の如く電解前の原針の平均荷重瓦数は572瓦であつたが、交流電解時間の増加と共に其の値は減少した。直流試験60秒処理の値は交流120秒(水素発生時間としては前者に全じ)の値よりも低い。

此の事は交流の場合には同一極で発生する酸素のために一部の水素が放電して水となつて消費され、吸収される水蒸量が直流に比して少い爲だと考えられる。

第5表 交流電解による水素発泡とその復元						
電源	時間	電解直後		電解直後 5分		電解直後 10分
		電解直後	電解直後 5分	電解直後 5分	電解直後 10分	
A.C.	30sec	460	496	496	527	535
A.C.	60 sec	440	499	567		
D.C.	120 sec	418				
D.C.	60 sec	385	474	493		

電解後の煮沸処理特に10分間処理によつて殆ど吸着水素は驅逐される。尙第1次水洗→中和→第2次水洗→120°C石灰浸漬(1分間)する常法の後処理によつても5分間煮沸に近い効果をあげ得る。

第2次水洗を熱湯5分間処理とし、次に石灰漬けをなせば更に大なる軟性の回復を見るべく、尚それらを3日放置した場合再びその復元する事

を認めた。従つ
の影響は友誼を

VI

針類の電解研究
久磁石の磁力位置が考えられ
た針類の脱磁装置元に關する一見
て種々の実験を
資料として用い在 1. Emm
回数 220. コイ
して直流 18V
エナメル絶縁針
長 10cm の筒形
時間脱磁を行
の筒形搜索線圈
氣を測定した。

1. 脫磁環

説明電圧の変化に依る10種
調べ第6表及

電壓の低い月
が低下して一々
が困難なもの

を平均
される迄
た。

ての値も
荷重互数
の増加と共に
電流の値は
者に全じ

生する酸
なつて消
して少い

を認めた。従つて交流電解研磨による水素脆性の影響は左程危惧する契はないものと考えられる。

V 脱磁条件及び其の効果

針類の電解研磨工業化には歯ね電磁石又は永久磁石の磁力により導体に接着せしめる連続装置が考へられるが、筆者らは電解中に磁化された針類の脱磁条件及びその効果並びに磁気の復元に關する一連の研究の爲次の如き操作によつて種々の實験を試みた。

資料としては径7mm、長16cmの鍍用鋼材を用いて径1.5mmのエナメル絶縁銅線で作つた巻回数220、コイル長11cmの筒型コイルを使用して直流18Vで10秒間磁化を行い、又径1mmエナメル絶縁銅線による巻回数2,200、コイル長10cmの筒型コイルを使用し所要電壓で所要時間脱磁を行い、巻回数各々278, 1,340、径1mmの筒型捜索線輪を有する磁束計にてその殘留磁気を測定した。

1. 脱磁電壓と残留磁気との關係

脱磁電壓の選擇決定を目的として脱磁電壓の變化に依る10秒間處理後の殘留磁気量の變化を調べ第6表及び第11圖の結果を得た。

電場の低い所では電流量が小なる故その磁場が低下して一定方向に配列された素分子の分裂が困難なものと思はれる。即ち弱い磁場での磁

化の場合必ずしも素分子が完全に配列された現象があるが、此の場合その逆の状況にあるものと考えられる。

30V以上の電壓にて前記コイルで脱磁した品物は殆ど殘留磁気が少く、針等の小物に於ては尙更に零に近い故使用上全然支障を來さぬことを認めた。

第6表 脱磁電壓と残留磁気

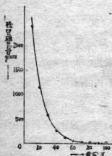
脱磁電壓 Volts	コイル巻数 Turns	磁束頭交數 Maxwell turns	残留磁気 Gauss
10	278	520,000	2380
20	278	251000	1150
30	1340	613000	582
40	1340	290000	275
50	1340	120000	118
60	1340	62000	59
70	1340	30000	28
80	1340	15000	14
90	1340	5000	5
100	1340	11000	10

2. 脱磁時間と残留磁気との關係

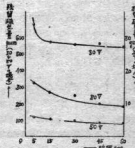
一定電壓下での脱磁時間の變化に依る磁気量の残留傾向を知る爲次の實験を行つた。こゝに脱磁時間とは試料鋼材の脱磁コイル中にある時間と云ひ、各電壓での単位時間毎の測定値を求めめた。その結果は第12圖に示す如く被脱磁体が長時間コイル中にある時、その時間的脱磁効果は殆ど変化ないが、5秒以下の短時間では磁場方向へ配列せる素分子の不整作用は充分でない様に思はれる。

實驗値よりして針類の脱磁には30Vでは10秒

第11圖



第12圖

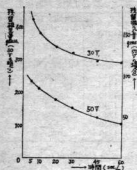


以上、50Vでは5秒以上脱磁せばその効果は實用上充分である。

3. 脱磁速度と残留磁気との関係

脱磁コイル中を通過する時間、即ち速度に對する脱磁効果の傾向は第13圖に示す。但し横軸は1米進行するに要した時間、即ち速度變化を示す。

第13圖



本圖に於て第12圖の結果よりも脱磁効果が顯著であるのは、徐々なる磁場への接近及び磁場よりの離脱が素分子の配列を復元させ易い爲だと考えられる。

實際には30Vで30~45 sec/m, 50Vで20~30 sec/mより低速に行けば實用上その脱磁効果は充分である。

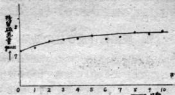
此の結果は針類の電解研磨後のコンベヤー式連續後處理装置の速度決定上の資料たり得た。

4. 脱磁後の磁気復元の傾向

脱磁された鋼材が日時の経過と共に元の状態に復歸するか否かを調べた。直流18V, 10秒で磁化した試料(5mm角, 17cmの鍍用鋼材)を交流50V, 10秒脱磁しそのものの放置時間に伴う磁気復元の傾向を第14圖に示す。

圓に明らかな如く外部磁界の影響にも依るが漸次磁気は或る程度復元の傾向がある。然しその復元增加曲線は非常に緩やかで或る時間後には殆ど一定値に保たれ、その最大値と雖も實用上には問題視する必要なき程の少い磁気量である。

第14圖



Ⅶ 結 言

a) 炭素鋼直流電解研磨の際の電壓-電流曲線は、銅、真鍮等と同様電解研磨特有のJacquet曲線を與える。

d) 電壓、液溫の増加、極間の減少に比例して電流密度は増す。又電解減量は電壓、時間の増加に伴い直線的に増加する事を明らかにした。

C) 針類の電解研磨工業化の爲の基礎的資料として電解液、電解條件、電解減量、電解前後の處理法を検討した。

d) 交流電解に依る水素脆性の影響は電解後の適當なる處理及び放置によつて大部分除き得る事を立証した。

e) 脱磁の爲には1,000アンペアターン以上の強さで5~10秒間處理する必要があり、残留磁気の復元は考慮外にある事を確かめた。

以上の資料に基き筆者らは引継ぎ難針、ミシン針等の中規模電解研磨装置を考案試作し目下實験を行つゝあるが、その成果は近く報告する豫定である。

終りに當り本實験の爲に常に熱心なる御鞭撻を賜つた湯長日下和浩氏、種々の協力を得た場員諸氏、及び資料の提供を戴いた地元製針業界の各位に深甚の感謝を捧げるものである。

以 上

文 獻

- 1) 田島榮電氣化學 14(昭21) 164
- 2) 川崎元雄 大阪工業獎勵館報告 1(昭24) 12
- 3) 真野、内田、中村電解研磨 (昭23) 綱教社
- 4) 若本、川崎、種口 大阪工業獎勵館報告 13(昭20) 68
- 5) 三好榮電氣化學 2(昭25) 5
- 18(昭24) 40

陽並

Relation
of Electric

Authors found
above subject.

1. C. D. is c
in both cases
polishing in th

2. C. D. and
increased acco

3. Surface o
corrosive but,

I.
電解研磨に要す
て遙かに高きため
は大容量の電解液
如く考えられてゐ
て三好泉(I)氏が
電解密度とは反比
に於て交流直流共に
大は電流密度の極
し、比較的容量の
し得ることを知つ

電解研磨に関する研究

Research on Electro-Polishing

第 2 報

(2nd report)

陽極面積と電流密度との関係、電解液の老化現象 並に電解研磨面の性質に就て

Relations between Anode Area and Current Density, Aging Phenomena of Electro-Polishing Solution and Character of Electro-Polishing Surface.

東 正十郎

S. Azuma,

下 膝 秋夫

A. Shimokatsu,

宗 重 文 太

F. Muneshige

Authors found following relations in electro-polishing after several researches on above subject.

1. C. D. is decreased according to increases in areas of anode or treating matter in both cases of A. C. or D. C. electro-polishing, and generally, C. D. of electro-polishing in the case of A. C. treatment is higher than one in the D. C. treatment.
2. C. D. and decreased quantity is diminished, heat loss of current augment is increased according to aging of electro-polishing solution.
3. Surface of carbon steel polished in the electro-polishing is not of good anti-corrosive but, for ground surface of plating, is better than by buffing.

I. 緒 言

電解研磨に要する電流密度は電気鍍金に比して遙かに高いため、工業化の際大量研磨装置には大容量の発電機或ひは整流器が必要とされる。如く考えられてゐたが、處理面積の増加に就て三好泉(1)氏が發表した如く、陽極面積増大と電解密度とは反比例する現象を著者は炭素鋼に於て交流直流共に起る事を確認し、炭素量の増大は電流密度の幾分の増加を来たすことを見出し、比較的容量の小なる整流器を以ても工業化し得ることを知つた。

炭素鋼の電解研磨品の耐候性は意外にも不良であつたが電鍍の下地としては非常に優れてゐることを知つた。

又從來工業化の場合、常に問題となる電解研磨の壽命老化乾涸等に就き二三の實驗を行つた

II. 陽極面積と電流密度との關係

三好泉(1)氏が直流電解の場合不銹鋼、銅、真鍮等に就て「電解研磨に必要な電流密度は陽極面積の増加に反比例して低下す、及び電解研磨に必要な単位面積當りの電流量は、一定であ

る」と報告してゐるが、筆者等は炭素鋼に就て

を得た。

交直電解の際の陽極面積と電流密度との関係を求める、特に交流と直流との相異点及び炭素量と電流密度との関係を明らかにするため次の如き諸試験を試みた。

1. 供試品及び試験条件

A. 交直共試料としてピアノ線(C量0.7%)及び普通鐵線(C量0.2%)各1mm径のものを兩極に二本充用ひた。

B. 本試験に用ひた電解液は次の組織のE.P.-15液を用ひた。

正磷酸(D=1.76g) 100 c.c.

硫酸 10 c.c.

グリセリン 40 c.c.

C. 電解條件は次の如く陽極面積を除き他は常に同一條件になる如く注意を怠らなかつた

液温 20°C

極間距離 50cm

電解電壓 10 及び 15V

陽極浸漬面積 3.16cm² (1mm 径線材2本
を5cmの深さに固定)

陽極浸漬深さ 1mm 径線材2本を1.0~
7.0cm

陽極浸漬表面積の變化範囲は第1表の如し。

第1表

浸漬深さ (cm)	1	2	3	4	5	6	7
陽極表面積 (cm ²)	0.62	1.28	1.90	2.57	3.16	3.78	4.40

2. 實驗結果

A. 直流電解研磨

前記電解條件で直流電解した場合の陽極面積と電流密度との関係は第2表及び第1圖に示す。實線はピアノ線の場合、點線は普通線の場合である。ピアノ線は常に普通線より電流密度が幾分か高い、即ち炭素量の増加は電流密度の増加を來すがその程度は左程大きくはない。

10V, 15V 各電流密度共可成り良好な研磨面

第2表

浸漬深さ (cm)	10V				15V			
	電流 (A)	C.D. (A/dm ²)	Log S	Log D	電流 (A)	C.D. (A/dm ²)	Log S	Log D
1.0	0.34	54.5	-0.46	4.0	0.69	110.5	-0.45	4.72
2.0	0.46	35.9	0.32	3.66	0.85	66.4	0.32	4.20
3.0	0.57	30.2	0.65	3.42	0.96	50.9	0.65	3.98
4.0	0.65	26.0	0.92	3.26	1.16	46.4	0.92	3.84
5.0	0.69	22.1	1.15	3.10	1.28	40.1	1.15	3.70
6.0	0.73	19.4	1.33	2.96	1.33	35.3	1.33	3.56
7.0	0.76	17.5	1.47	2.87	1.38	31.8	1.47	3.46

三好泉(1)氏は直流電解の際の陽極面積と電流密度の關係式として次式を與へ

$$\log D = a - b \log S$$

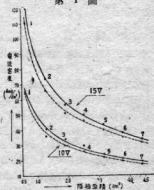
a: S→Oの場合の log D

b: 正の X 軸となす角の正切

兩者の對數値は直線的關係をなし、abは常数で三好氏の實驗範囲ではbは0.2~0.3であつたと報告されてゐる。

著者らの實驗に於ても兩者の對數値は第2圖の如く直線的關係をなし、a(Y軸の方向の値)b(正のX軸となす角の正切)は次の通りとなつた。

第1圖



15Vに於ては

$$\text{ピアノ線 } \log D = 4.55 - 0.66 \log S$$

$$\text{普通線 } \log D = 4.4 - 0.66 \log S$$

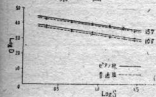
10Vに於ては

$$\text{ピアノ線 } \log D = 3.95 - 0.66 \log S$$

$$\text{普通線 } \log D = 3.85 - 0.66 \log S$$

即ちaの値はピアノ線が普通線より僅かに高いがbは一定の値であつた。この事は電流密度の低下度はその對数關係に於て一定であることを示してゐる。

第2圖



B. 交流電解研磨

交流電解研磨の場合單極の面積を變更せしめると兩極の面積を變えるの2方法が考えられるが筆者は前者に就いて實驗を行ひ第3表及び第3圖の結果を得た。直流による第1圖と此の第3圖とを比較せば直流電解で10V, 15Vの場合は交流のそれより電流密度は平均して約40%低い。又炭素含有量の差異に基く電流密度の相違は交流の場合は直流より少い様である。

交流15Vに於てはピアノ線、普通鐵線共10Vの場合より平均して電流密度が殆んど2倍近く増し、處理面積の増大に伴ふ電流密度の低下率は10V電解に比して僅かに高い。

本交流電解による研磨面はその光澤度に於て良好で満足すべきものであつた。

第3圖の對數値による關係は第4圖に示す。

交流に於ても此の關係式は $\log D = a - b \log S$ で直線的關係をなすことを明らかにした。

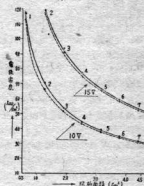
bの値は直流と同様に0.66であつたがaの値は15Vに於てピアノ線5.05, 普通鐵線5.0, 10Vではピアノ線4.45, 普通鐵線4.4, 此のaの値は直流

の場合より10%高い値を示す。

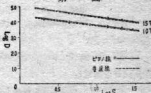
第3表

浸漬深さ cm	電流 A	10V			15V		
		C.D. (A/dm ²)	Log S	Log D	C.D. (A/dm ²)	Log S	Log D
1.0	0.71	113	-0.46	4.73	1.18	189	-0.46
2.0	0.85	66.3	0.32	4.20	1.50	117	0.32
3.0	0.98	51.9	0.65	3.95	1.73	91.6	0.65
4.0	1.09	43.6	0.92	3.78	1.87	74.9	0.92
5.0	1.19	38.1	1.15	3.64	2.07	66.3	1.15
6.0	1.29	34.2	1.33	3.54	2.22	58.8	1.33
7.0	1.34	30.9	1.47	3.44	2.30	52.9	1.47

第3圖



第4圖



III 電解液の老化

炭素鋼の電解研磨液は磷酸を主成分とするものが多い、又添加剤としてのグリセリンの使用

を考へるときその液の原價は高價なものとならざるを得ない。ニッケル、銅電解等と異なり此の電解液は電解作業繼續と共にその成分の性能の低下を來し希望する光輝面を得難くなつて来る。此れ電解液の老化であつてこの現象並にこれが機構の釋明、救済は工業化の際最も關心を寄せねばならぬことである。粘性の液のため電解後被研磨材に附着して損失となる液が多く、その補充液としての新液の添加によつて可成り長くその壽命がある如く考えられるも、出來得れば高價な電解液の損失、補充は最小限に止め度きものである。今新たに調査した液が新液の補充なしに幾らの鏡面研磨し得る壽命があるかを知るため次の如き實験を行つた。

1. 實驗其の一

A. 實驗條件

電解液としては前述の E.P.-15 液 15°C.c. (直し本實驗前に於て縫針 500 本を電解したもの) を用ひ、普通炭素鋼材 (炭素含有 0.2%) を両極にとり 10V、液温 20~50°C で電解を繼續し、その溶解量 2 gr 減毎に次の如き一定條件で一定試料たる縫針を電解し、電解液中の鉄量の溶存の増加に伴ふ溶解量、通電量を測定した。

縫針電解條件

- (1) 電壓 10V (4) 電解時間 2mins
- (2) 極間距離 5cm (5) 浸漬深さ 一定
- (3) 液温 25°C

電解に用ひた縫針は何れも「ロール」研磨材のもので「トルクロルエチレン」に依る完全説明したものを用ひた。電解前の縫針平均重量は両極二本で 0.6401gr (直徑 0.8mm、長さ 6.7mm) であつた。

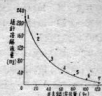
B. 實驗結果

(1) 溶解減量と通電量

電解液中へ鐵分が溶解増加し遂には塗類の析出を起し併せてグリセリンの分解 (3) に依る添加効果の低下等を來たすと次第に電解液の粘度が上昇し、縫針の溶解減量、通電量が減少する老化の現象を呈する。

溶解量は電解液
粘度上昇による液
抵抗の增大に依つ
て通電量少く必然
的に低下する。
第 5 圖及び第 4 表
にその結果を示す

第 5 圖



第 4 表

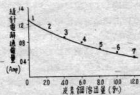
	炭素鋼材溶出減量 (gr)											
	0	2	4	6	8	10	12	14	16	18	20	22
溶解減量 (mg)	22.17	16.49	7.53	4.07	3.45	1.97	0.77					
通電量 (Amp)	1.25	1.08	0.93	0.78	0.63	0.54	0.44					

次に通電量も液の老化と共に低下して行くことと第 6 圖及び第 4 表の如くであるが、先の溶解減量と此の通電量の低下度は必ずしも比例的關係を示してゐない。

通電量低下に比し溶解量低下の大なるのは電解液中の炭素鋼材の溶解量に比例して電解液の液抵抗が増大し、通電量の若干が此の液抵抗に依つて余分の熱損失となつて消費されるためである。

従つて老化の進行と共に熱損失となつて逃げる電流による液温の上昇度合を測定し此の間の事情を明らかにするため後記の實験に於て電解液の温度上昇を観察した。

第 6 圖



(2) 光澤度

肉眼で観察した縫針研磨品の鏡面光澤は、炭素鋼材 6gr、溶出減の 4 回目 (第 5 圖中曲線上の数字) 迄は殆んど變化なく極めて良好で 5, 6 回

は稍々光澤度降低が時間と共に進むことは鐵材溶解中の溶出時間が短縮されが 50°C を越え難いと考えられる。故てはならない。

6 回目 (10gr 減)

(3) 老化液の影響

著者らは前回の目的を以て第 7 圖の結果

即ち老化液に通電量が減少し更に H_3PO_4 の増した。然し此に之に水を順次 7 回 3~4 回の通つた。

此の實験は老化的ものであるが、この水及び新液の通じて電解液の壽命を明確に示す。科學研究所の大際の老化現象を明してゐるが、出量に従つて各研究を積める様定

横軸の
1. 壊滅
2. 老化
3. 上昇
4. 上昇
5. 上昇

は稍々光澤度低下し7回(12gr減)に於て光澤度低下が前回に比し甚しい現象を呈した。之は鉄材溶解中の電圧10Vを15Vにしてその溶出時間を短縮しようとした爲、この間に液温が50°Cを越えて急に液の老化が進んだものと考えられる。故に作業温度の上昇に注意を怠つてはならない。鍍金下地としての鏡面光澤は第6回目(10gr減)迄は許容し得られる。

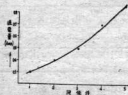
(3) 老化液の教済

著者らは前記炭素鋼材12gr溶解後の老化液の教済の目的を以て、 H_2O 及び新波の若干を加えて第7回の結果を得た。

即ち老化液に水を20cc. 加えた場合には逆に通電量が減少し光澤の向上もなかつたが、之に更に H_3PO_4 40cc. 添加後には始めて通電量が増した。然し此の場合も尚輝光は出なかつた。次に之に水を順次20cc. 完の割で加えた處、第7回3~4回の通電量に達し光澤も幾分良好になつた。

此の実験は老化最良波に就いてその教済を行つたのであるが、老化進行の中間に於て適當なる水及び新波の補充を若干なせば老化速度を減じて電解液の寿命を延長し得るものと考える。科學研究所の大嶽氏等(2)(3)は不鏽鋼直流電解の際の老化現象を處理注射針の本数に従つて究明してゐるが、筆者等は電解液中の鉄分の溶出量に従つて各段階にて水、磷酸を加え更に研究を積める様である。

第7回



横軸の数字は次の條件を示す。

1. 炭素鋼材 12gr 溶解
老化液に H_2O 20cc. 添加
2. 上記1. 液に H_3PO_4 40cc. 添加
3. 上記2. 液に H_2O 20cc. 添加
4. 上記3. 液に H_2O 20cc. 添加
5. 上記4. 液に H_2O 20cc. 添加

(4) 電解液の回収

槽外に品物に附着して逃げ第一水洗にて稀釋された電解液を回収し得ると考え、此の稀釋液を蒸発濃縮蒸溜した。然し大嶽氏の報告(3)にもある如く著者も減壓蒸溜した處、アクリレンの生成を認め黒色タール状となりて完全なる回収は今のところ不可能であつた。

(5) 電解前後の液の性質

本実験前に於ける電解液(實験前に繩針500本を電解したもの)と炭素鋼材12gr(150cc液中)溶解して遂に老化した液との性質の比較を行つた。

その結果は第5圖の如く比重、比粘度の増加及び酸分の低下が顯著であつた。特に粘度の増加は甚しく、流动性を失ふ程度であつた。

第5圖

	比重	比粘度	N/10 NaOH量對 100倍原液25cc (H_3PO_4)	酸量 (H_3PO_4)
電解前	1.442	7.69	22.27c.c.	423 gr/l
老化後	1.714	373.65	13.30c.c.	302 gr/l

2. 實驗 其の二

A 實驗條件

電解液としてはE.P.-15新液180c.c.を用ひ、普通炭素鋼材(炭素含有量0.2%)を兩極にとり10V、液温20~50°Cで電解を施査し、その溶解量1gr減每に次の如き一定條件で一定試料たるピアノ線(炭素含有量0.7%)を同一液温より電解し、老化進行に伴ふピアノ線の溶解量、通電量及び液温上昇の差異を測定した。

ピアノ線電解條件

- (1) 電壓 10V (4) 電解時間 15mins
- (2) 極間 5cm (5) 浸漬深さ 一定
- (3) 開始液温 20°C

B 實驗結果

- (1) 溶解量、通電量及び液温上昇

本実験には前記1の場合と異り新液を用ひたため、電解初期の普通炭素鋼3~4gr減每には第6表及び第8圖にみる如く、液温、電流共に殆ん

と並行的に急上昇し溶解減量も増大した。

第 6 表

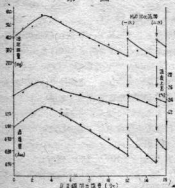
	炭素鋼溶出減量 (gr)									
	0	1	2	3	4	5	6	7	8	9
溶解減量 (mg)	39.62	46.46	48.23	57.73	55.80	51.60	44.77	41.98	38.96	32.53
通電量 (Amp)	0.96	1.04	1.10	1.15	1.13	1.10	1.04	1.05	0.96	0.91
温度上昇 (°C)	24.8	25.3	26.6	26.8	26.1	25.7	24.6	24.8	24.3	24.3

	炭素鋼溶出減量 (gr)									
	10	11	12	(12)	13	14	15	(15)	16	
溶解減量 (mg)	33.30	26.48	24.67	38.28	28.54	26.79	23.48	37.67	32.23	
通電量 (Amp)	0.89	0.87	0.76	0.92	0.83	0.76	0.73	0.89	0.81	
温度上昇 (°C)	23.4	23.2	22.8	24.8	24.0	23.6	22.9	24.2	23.7	

註 (1) 炭素鋼溶出減量の () は水 10cc. 添加の場合を示す。

(2) 溫度上昇 (°C) は 20°C より電解を開始した場合の 15 min 間の最終温度を示す。

第 8 圖



電解中期に於ける 4gr 溶出減後は電解液中への鉄量溶存の増加に伴ひ液中の電気抵抗は漸次増加し、溶解量、通電量及び温度上昇の三者共下降の傾向を示し、6gr 溶出減後には比重、粘度の増加に依り液抵抗は次第に増す。従つて使用

電気エネルギーは液中の電気抵抗に依る熱エネルギーへの變換の度合を増すため、温度上昇の低下率は他に比し少い。

炭素鋼材 12gr 溶出減後に於ても本液は相當の研磨能力を有し老化液とは断定し得なかつたが液乾済の目的で H₂O 10cc. 添加した處、比重、粘度の低下による電気抵抗の減少を來し電流、温度上昇、溶解減量共増し、研磨能力も増大し、或る程度の光澤の復活を見る事が出来た。

(2) 光澤度

肉眼で観察した前記資料商品の鏡面光澤は全回を通じ一般に良好で、

炭素鋼材 7~8gr 溶出減後は特に著しい光澤面を得た。

電解末期の H₂O 添加後に於てはその光澤度は或程度の向上をみ、炭素鋼材 8~9gr. 溶出減後は研磨面の平滑さは相當低下した。

鉄量溶存の増加及び水添加後の比重の變化を第 7 表に示す。

第 7 表

電解前	6gr.	12gr.	1 次水	15gr.	2 次水	1 次水	15gr.	2 次水	1 次水	15gr.
(液調合直後)	減後	減後	部加後	減後	部加後	減後	部加後	減後	部加後	減後
1.576 1.616 1.645 1.618 1.641 1.614										

15°C に於ける比重。一次、二次共水 10cc. 添加

III 炭素鋼電解研磨品の性質

1. 耐食性

一般に電解研磨品の表面には被膜が生成して耐食性良好と謂はれてゐるが

(4) 筆者は炭素鋼製品たる縫針のロール研磨品

の前、中、後、とは全 70 時間、塩水中にて乾溼第 8 表の結果を

留置日 供試品	
ロール	研磨
ロール	10V 交流電解
ロール	研磨

ロール研磨傾向があるが、電解後の耐食性と直流電解研磨品の方が直流に

留置日 供試品	
ロール研磨	同上品
直流電解	同上品
交流電解	同上品

2. メツキ下

A 上記の意外にも不良で川崎氏の報告がないかと考え、有孔度、密着力、研磨面がメツキ下ることを明確にすることを目的とする。

B 実験條件 試料は縫針、下地の處理法と

(1) 羽布

は液中の
熱エネルギーの度合を増
上昇の低下
少い。

溶出減
度は相当の
老化液と
かつたが液
 H_2O 10c.c.
比重、粘度
電気抵抗の
者、温度上
昇し、研
磨、或る程
を見る事

前記資
料光澤は全
て良好で、
い光澤面
その光澤度
溶出減
の変化を

二次水
後添加
1.614
10c.c.

質

材の強化
てるが
ル研磨品

の前、中、後、(中とはロール研磨35時間、後
とは全70時間)のものと、それらの電解品を食
塩水中にて乾燥法による耐食溶解量を測定し
第8表の結果を得た。

第8表

腐蝕目数		3	6	9	12	15	備考
ロール 研磨	前	2.74	5.44	7.38	9.87	12.52	5%食塩 水乾燥試 験各工程 織針10本 一組の重 量減少率 (%)
	中	2.48	5.11	7.24	9.78	12.38	
	後	2.25	4.91	7.00	9.81	12.50	
ロール 研磨	10V 交流 電解	前	3.08	5.88	8.11	10.50	13.15
		中	3.12	5.88	8.02	10.62	13.78
		後	3.16	5.98	8.06	10.61	13.37

ロール研磨後のものはロール前のものに比し耐食性良好の傾向があるが、交流電解研磨に於ては逆に悪くなる様である。

電解後の耐食性は一般に幾分低下してゐる。次に交流電解面と直流電解面との耐食性の差異は第9表の如く、交流電解品の方が直流によるものよりも不良である。

腐蝕目数		3	6	9	12	15	備考
ロール研磨	後	1.14	3.07	5.22	7.47	9.57	3%食塩水 乾燥試験各 工程織針5 本1組の重 量減少率 (%)
同上品	10V 直流電解	1.26	3.11	5.31	7.56	9.83	
同上品	10V 交流電解	1.78	3.38	6.22	9.04	11.03	

2. メツキ下地としての性質

A 上記の如く炭素鋼電解研磨面の耐食性は意外にも不良であつたが、メツキ下地としては川崎氏の報告(5)(6)にも例がある如く良好ではないかと考え、Niメツキを施してバフ研磨面と有孔度、密着力試験、外観により比較し、電解研磨面がメツキ下地としては優秀な性質をもつてゐることを明らかにした。

B 実験条件、下地処理及び電解条件

試料は織針用普通鋼材(C=0.15%)径1.0mm
下地の処理法としては、

(1) 羽布研磨(脱酸クロム研磨剤)→煮沸

脱脂(5%NaOH+5%Na₂CO₃液)→酸浸漬(10%HCl液)→水洗

(2) 電解研磨(交流10V, 1分間, 20°C,
E.P.-15液使用)→水洗→中和(5%Na₂CO₃液)
→水洗

Niメツキには下記組成の鍍金液を用ひ、

硫酸ニッケル	150gr/l
塩化アンモニウム	15gr/l
硼酸	15gr/l
液温	20°C
電流密度	1A/dm ²
時間	30mins

の條件でメッキを行つた。

C 実験結果

(1) 有孔度試験(フェロキシル試験)

	径>0.5mm	径<0.5mm
羽布研磨	7	30
電解研磨	2	5

フェロキシル液 食塩 1%
黄血塩 0.1%

各織材5本宛を遮紙に挟みフェロキシル液を滲ませて5mins.保つ。

(2) 密着力試験(巻つけ試験)

	屈曲角度 (σ)	鍍金状態
羽布研磨	60°	剥離
電解研磨	180°	安定

(3) 外観

羽布研磨→電解研磨下地に比し鍍金の光輝納便る。
電解研磨→帶白色Ni上り。

Ⅴ 結論

以上の諸実験に依り次の如き結論を得た。

1. 交流、直流電解共に、陽極處理面積の増加に反比例して電流密度は低下し、その低下率は交直両同様である。

2. 一定電壓に於ては炭素含有量の多きもの程幾分電解電流密度は増加する。又交流電解の場合には直流電解より電流密度は一般に高い。

3. 電解初期を除いては電解液中の鉄イオンの溶出増大に伴ひ、電流の熱損失は増大し電流密度、光澤度は低下し、老化の現象を來す。

4. 老化液の洗浄には適當量の水、新液の添加は有効で、液の電解壽命を延長せしめる。

5. 炭素鋼電解研磨面の耐食性は不良であつ

たが、電鍍下地としては非常に優れた性質を持つてゐる。

尚電解液老化現象の究明に、目下研究を續けてゐることを申し別えておく。

—文獻—

- (1) 三好 泉：電氣化學 (1950)
- (2) 大嶽六郎、木下直治：科學研究所報告 No. 9 (1949)
- (3) 大嶽六郎、木下直治：科學研究所報告 No. 3 (1950)
- (4) 田島 榮：電氣化學 14 (昭21) 4
- (5) 川崎元雄：電氣化學 (1950)
- (6) 若本洋之助、川崎元雄、樋口哲雄：大阪工業獎勵館報告 1 (1948)

Report on
the product
mass produc

We conducted
Hiroshima pre
hardneess and
expecting mas
To determin
experiment,
and removin

I

鍍の品質向上
地盤に於ける鍍
地製品について
度及目の諸條件
の製造運送の為
では以上の調査
究方針に就て述

種別	記號
ヤスリ鋼	
1號	
"	
2號	
"	
3號	
"	
4號	

鏝に関する研究

Industrial Research of Files

第1報

(1st report)

Report on the investigation of file manufacturing procedure, its material and the products and on how to bring about quality improvement and to develop mass production.

豊永信夫

N. Toyonaga

脇一雄

K. Waki

辰本金藏

K. Tatsumoto

14(昭21)4

(1950)

口背雄：大阪

948)

We conducted the investigations of file manufacturing procedures in Niigata-cho, Hiroshima prefecture, and found the contents of domestic-made file materials, its hardness and conditions of teeth. For the purpose of improving the qualities and expecting mass-production, we proposed following problems:

To determine the temporary material standard, produce "The Forging Roll" as experiment, to improve the method of heat-treatment, grinding, setting of teeth and removing the scale.

I 緒 言

鏝の品質向上と量産を計るため、廣島縣仁方地区に於ける鏝製造工業の現状を調査し、且内地製品について其の材料、分析、形状寸法、硬度及目の諸條件を調査した。購買中の鏝試験機の製造過程の爲め初回性能試験出来ず、本報告では以上の調査結果と品質向上及び量産上の研究方針に就て述べる事とする。

II 鏝の規格と種類

日本標準規格は鏝の材料、寸法及び目の規格を夫々第一表及び第二表の如く定めてゐる。鏝は其の使用目的に依り大別して鉄工用鏝、粗鏝、製材用鏝、双鏝及び特殊鏝となるが又形状、寸法、目の大きさに依つて其の種類は非常に多くの数に分類される。第三表は其の分類を示す。

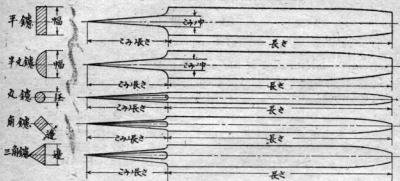
第一表 JES (金属 4408)

種 別 記 號	化 學 成 分 (ヤスリ鋼) %						焼 入 硬 度 ロフクウ エル C	熱 處 理		摘 要
	C	Si	Mn	P	S	Cr		焼 鈍	焼 入	
ヤスリ鋼 1號	1.20~ 1.30	0.15~ 0.25	<0.6	<0.035	<0.035	—	>65	750~800 水冷	780~820 水冷	工作用
" 2號	1.30~ 1.50	#	#	#	#	—	>67	#	#	粗ヤスリ 粗ヤスリ
" 3號	#	#	#	#	#	0.20~ 0.50	#	#	#	粗ヤスリ 粗ヤスリ
" 4號	0.70~ 0.90	#	#	#	#	—	>65	#	#	ヤスリ用 機高版

第2表

日本標準規格

本規格に於て規格する鎌は次の形狀を有する5種とす



寸 法 單位 mm

長 形 状	平		甲		丸	角	三角	こみの 長(約)	平鎌及半丸 鎌のこみ 幅(約)
	幅	厚	幅	厚	徑	邊	邊		
100% (4")	12	4	12	4	4	4	10	45	6.5
150% (6")	17	5	17	5	6	6	12	55	8.5
200% (8")	22	6	22	6	8	8	15	65	10
250% (10")	26	7	26	7	10	10	17	70	12
300% (12")	30	8.5	30	8.5	12.5	12.5	20	80	14
350% (14")	34	10	34	10	15	15	22	90	15
400% (16")	36	11	35	11	18	18	25	100	16

幅、厚、徑、邊の寸法は最大部に於けるものを示す。寸法の公差は次の通りとす。

1. 緩、徑、邊に於て±2%とす。但し10%未満に對しては±0.2%とす。

2. 長さに於て+2%とす。

目 數

目 の 数	上 目 10%間に付(約)							上目の角度 (約)
	100%	150%	200%	250%	300%	350%	400%	
荒 目	1.4	1.2	1.0	9	8	7	6	7.0
中 目	1.9	1.7	1.5	1.3	1.1	1.0	9	7.2
細 目	2.8	2.5	2.2	1.9	1.7	1.5	1.4	7.5
油 目	4.5	3.8	3.4	3.0	2.6	2.3	2.1	8.0

下目數は上目數の80~90%を普通とす。但し用途に依り下目數を上目數より増加する事を得。

第三表 繩 分 類 表

吾々は此等の中主として鉄用兩双六時摺込鍛（以下兩双六時と稱す）及鐵工用十二時平先細鑄目録（以下鐵工用十二時と稱す）を調査研究の対象とした。

III 總の工作法

仁方地區に於ける鍛製造方法の現状は大体次の通りである。

専材料は主として山陽製鋼及び安來製鋼より「ビレット」又は棒材にして購入し所要寸法に壓延してある。

第1工程	壓 延
第2工程	剪 斷
第3工程	鍛 造
第4工程	燒 鍛
第5工程	酸 洗
第6工程	空 槽 (からうち)
第7工程	研 磨
第8工程	鍛 刷
第9工程	鍛仕上
第10工程	目 立
第11工程	味噌塗
第12工程	焼 入
第13工程	酸 洗
第14工程	サンドブラ スト
第15工程	乾 燥
第16工程	油銷止
第17工程	拾 審
第18工程	包 裝

内容を簡単に説明すると

第1工程 壓 延 製鋼所より「ビレット」又は棒状で購入した専材料は「ロール」に依り熱間壓延されて所要の断面積を有する規格品となる。

第2工程 剪 斷 規格品になつた材料は「こみ」部を含めた長さに切斷される。但し双鍛は「こみ」部のみ鍛造する。

第3工程 鍛 造 「ベルトヘンマー」にて壹個先端部及び「こみ」部を鍛造する。但

し双鍛は「こみ部」のみ鍛造する。

第4工程 燒 鍛 烧鍛鍛造品は次に焼鍛爐に送られ焼鍛される。焼鍛温度は750°C～800°Cで、主として木炭又は石炭爐に依り焼鍛を行つてゐる。

第5工程 酸 洗

第6工程 空 槽 (からうち)

焼鍛された材料は稀硫酸槽で「スケール」を落し、「フリクションプレス」又は手鍛で空槽される。空槽は冷間にて表面を槌打して、結晶粒を細かにするために行はれる。

第7工程 研 磨 次に天然砥石を使用した研磨機にかけて表面の脱炭層を研削する。双鍛は研磨しない。

第8工程 鍛 刷 鍛削を人力により手鍛にて削る。

第9工程 鍛仕上 鍛削後特殊の目をした鍛で表面を仕上げ、最後に輕い仕上目を残す。之は製品の切味を良くするとの事である。

第10工程 目 立 目切機械は強力な「バネ」で下に壓しつけられた「たがね」を「カム」で上げ、「カム」が外れると「バネ」で急に「たがね」を打ち下し、材料は蝶子で殴られるので自動的に目を剥むようになつた機械である。仕上げられた鍛材は此の目立機にかけられて目を剥まれる。

第11工程 味噌塗 味噌塗とは次の焼入の際、鏡表面の冷却促進剤、酸化防止剤及鉛の附着防止剤として、味噌、硝石、食塩を4:2:1の割合に混合したもの表面に塗布する作業である。塗布後之を焼上で乾燥する。

第12工程 焼 入 烧入作業は鉛浴にて赤熱し水冷する。焼入温度は780°C～820°Cである。

第13工程 酸 洗

第14工程 「サンドブラスト」

焼入後再び稀硫酸槽にて酸洗し「サンドブラスト」にかけて「スケール」を除去する。

第15工程 乾 燥

第16工程

第17工程

片(製材鋸)に

に依り焼鍛料を

第18工程

種別	成 分		
	J	E	S
鍛用兩双六時摺込鍛	A	B	C
	D	E	F
	G	H	I
	J	K	L
鐵工用十二時半(先端)荒目	A	B	C
	D	E	F
	G	H	I
	J	K	L
ニ	ニ	ニ	ニ
ヤスリ鋼	A	B	C
	D	E	F
	G	H	I
	J	K	L
ニ	ニ	ニ	ニ

V 總の形

諸條件

内地製六時半

いて形状、寸法、

調査した結果は

は第一圖及び第二圖

今回は比較出来な

1. 形 狀、

第五表に示す規格を用いた。各社とも準規格は正合する。

第16工程 油銷止

第17工程 檢査 檢査は一個先被試驗片(製材鋸)にかけ丸味を試し又手極にて音響に依り焼割れを検査してある。

第18工程 包装

III 錠材の材料分析結果

内地製錠の當場に於ける分析結果を第四表に示す。Cu の含有量が一般に高く、兩双六吋鍛にて 0.14~0.55%、鐵工用十二吋鍛にて 0.14~0.67% あり、取後材料の品質が低下してゐる様である。

第四表 供試錠(市販)成分化學分析表

錠 別	製 造 所 名	成 分 %		C	Si	Mn	P	S	Cu	Cr	Ni
		J E S 2號	ヤスリ鋼 1.30~ 1.50	0.15~ 0.25	<0.6	<0.035	<0.030	—	—	—	—
錠 用 兩 双 六 吋 鍛 掘 込 鍛	3號	“	“	“	“	“	“	“	—	0.20~0.5	—
	A	1.50	0.39	0.54	0.02	0.01	0.24	0.67	0.16		
	B	1.01	0.22	0.57	0.02	0.01	0.29	0.11	0.13		
	C	1.42	0.26	0.46	0.02	0.02	0.14	0.09	0.16		
	D	1.24	0.36	0.70	0.06	0.01	0.53	0.06	0.31		
	E	1.28	0.37	0.35	0.02	0.02	0.48	0.19	0.16		
	F	1.05	0.27	0.32	0.02	0.03	0.43	0.19	0.13		
	G	1.29	0.12	0.43	0.02	0.06	0.55	0.23	0.13		
	H	1.32	0.31	0.73	0.04	0.01	0.53	0.15	0.42		
	O	1.04	0.40	0.54	0.04	0.01	0.18	0.12	0.38		
鐵 工 用 兩 双 六 吋 鍛 掘 込 鍛	J E S 1號	1.20~ 1.30	0.15~ 0.25	<0.60	<0.035	<0.035	—	—	—	—	—
	A	1.02	0.10	0.58	0.02	0.03	0.48	0.37	0.25		
	B	1.29	0.18	0.39	0.04	0.03	0.53	なし	0.05		
	C	1.28	0.13	0.29	0.04	0.03	0.14	0.17	なし		
	D	1.36	0.11	0.36	0.05	0.08	0.24	なし	なし		
	E ₁	1.23	0.37	0.38	0.03	0.04	0.67	0.19	0.18		
	E ₂	1.28	0.38	0.57	0.05	0.02	0.43	0.29	0.19		
	F	0.95	0.18	0.74	0.03	0.01	0.36	0.83	0.15		
	G	1.43	0.35	0.57	0.04	0.02	0.20	0.36	0.13		
	H	1.35	0.59	0.43	0.02	0.02	0.41	0.15	0.33		
荒 目 臺	J	1.26	0.26	0.45	0.04	0.02	0.24	0.11	0.05		
	Ni	1.32	0.24	0.38	0.03	0.03	なし	0.34	なし		

* Ni は「ニコルソン」の鐵工用10吋平荒目鍛を分析せしものなり

V 錠の形狀、寸法、硬度及目の

諸條件調査結果

内地製六吋兩双及び鐵工用十二吋荒目鍛について形狀、寸法、硬度及び目の諸條件について調査した結果は次の通りである。試片採取位置は第一圖及び第二圖に示す。外國品については今回も比較出来なかつた。

1. 形 狀、寸 法、

第五表に示す通りで計測には「ノギス」を使用した。各社とも大差は認められないが日本標準規格は正合するものはない。

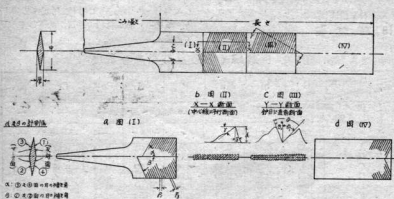
2. 硬 度

A. 焼入(製品)硬度

硬度の計測には Rockwell 硬度計の C scale を使用した。両双六吋は鍛の中心線上の表面を加熱しない様に研削し「エメリーペーパー」で研磨した両面各數個所を鐵工十二吋については前者同様研磨せる面を側面及び両面各數個所について測定した其の結果を第六表に示す。即ち両双六吋では 60.5~67.6 Re, 鐵工用十二吋では 63.2~67.1 Re で JES (両双>67, 鐵工>65) より低いものもある。

第一圖 試片採取位置圖

鋸用両刃六吋摺込鎌



a. ①②刃の側面断面
b. ③刃の側面断面

計測種類	試験片符号	計測器	備考
硬 度	I III	ロツクウェル硬度計 (Cスケール)	爐の表面及裏側面の中心線上の目を削り落した面
目の深さ(d)	II	日本光学投影検査器 ×17及び×65にて計測	1. b圖(II)参照 2. ×—×断面のマーク面及反對面
切削面斜角(δ)			
間隙角(σ)			
目の傾き(β)	I	全 上	a 圖 (I) 参照
目の「ピッチ」(P _i)	I II		
目と目と間隔(P ²)	I III	全 上	C 圖 (III) 参照
目切込痕角(θ)	III		

B. 燃純(未製品)硬度

某製作所の鐵工用十二吋⁴本及兩刃六吋³本につき焼純後の硬度を各數個所測定した。其の結果は第七表に示す如く前者は89.5~101.6RB、後者は84.6~91.3RB、で現在の木炭又は石炭爐に依る燒純では、種のものが出来て居ない事がわかる。尙現在の裸燒純に於ける説炭層は大凡0.15純である。

3: 目の傾き(目が爐の中心線となす角α式はβ)

日本光学社製小型投影検査器を使用し倍率17倍の擴大鏡を附屬回転角度目盛(バーニヤ附)に依り爐の表面に於て數個所計測した測定結果は第六表に示す通りで兩面六吋の目の傾きは $\alpha = 62^\circ 36' \sim 74^\circ$ $\beta = 66^\circ 48' \sim 77^\circ 45'$ で $\alpha - \beta$ (第一圖a圖中③と①面、④と②面の目の傾き差)は $0^\circ 4' \sim 7^\circ 42'$ である。

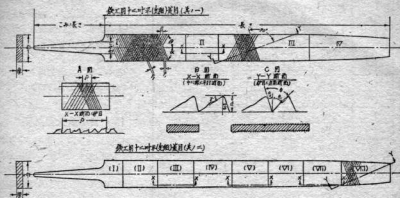
鐵工用十二吋に於ては上目の傾き $\alpha = 68^\circ 48' \sim 72^\circ 9'$ 下の傾き $\beta = 58^\circ 17' \sim 56^\circ 59'$ で作業角 $\alpha + \beta = 117^\circ 8' \sim 117^\circ 8' \sim 127^\circ 17'$ であつた

計測種類	硬
目ノ深さ	
目ノ周期	
切削面斜角	
間隙角	
目ノ傾き	
目ノピッチ	
目ト目ノ間隔	
目切込痕角	
形	
記	

4. 目の「ピ

第六表に示す如く「P」は0.51~0.55のは尖々0.5, 0.55のは尖々0.5, 0.55のは上目の「ピッチ」

第二圖 試片採取位置圖



計測種類	試験片符號	計測器	備考
硬度	I(II VII)	ロフクウェル硬度計(C)	鍛の側面及両面
目ノ深サ(d)			1. A及びB面参照
目ノ周期(P)	II	日本光學投影器	
切削面斜角(δ)	(III)(IV)(VII)	反射 X17にて計測	2. X-X断面の「マーク」 面及反対面の鍛目を計 測す
間隙角(γ)			
目ノ傾キ 上目(α) 下目(β)	II	全上	本圖(其ノ一)参照
目ノピッチ 上目(P_1) 下目(P_2)	(III)		
目ト目ノ間隙(P_3)	(VII)	全上	C圖参照
目切込痕角(θ)	(VII)	全上	全上
形狀		ノギス	
記事	試片採取位置はE ₁ E ₂ F三者の中は上図(其ノ二)他は(其ノ一)による		

4. 目の「ピッチ」(P_1 , P_2 , 及 P_3)

第六表に示す通りで兩刃六時では目の「ピッ
チ」 P は 0.51~0.58 級, P_3 は A, G 及 F 社のも
のは大々 0.5, 0.47 及 0.5 級, 鍛工用十二時で
は上目の「ピッチ」 $P=1.25\sim1.34$ 級, 下目の

「ピッチ」 $P_3=1.56\sim1.81$ 級, P_3 は E₁ 及 E₂ 社
のものは大々 1.2 級及 1.19 級である。

5. 目の周期(P)

第六表に示す通りで鍛工用十二時に於て目の
周期 $P=5, 0.9\sim7, 72$ 級である。

考
線上の目

及反対面

使用し倍率17
(バーニヤ附)
した測定結果
目の傾きは α
 45° で $\alpha \sim \beta$
面の目の傾き

き $\alpha=68^\circ 43'$
 $59'$ で作業角
 $17'$ であつた

第五表 供試鍼の形狀、寸度

形狀 種別 及 規 格 名		長(耗)	巾(耗)	厚(耗)	こみの長 (耗)	こみの巾 (耗)
鐵用兩刃六時 切込鍼	J E S	規	格	な	し	
	A	154.9	28.4	4.10	53.0	13.0
	B	153.0	28.6	3.95	46.5	11.6
	C	154.0	29.0	4.35	53.0	12.5
	D	156.0	27.8	4.0	54.0	12.0
	E	154.5	28.3	4.25	55.0	12.7
	F	153.0	27.9	4.0	52.5	14.5
	G	152.5	28.5	4.15	52.0	13.0
鐵工用十二時 (先細) 荒目鍼	J E S	300	30	8.5	80	14.0
	A	302.2	28.85	8.25	80	12.5
	B	304.5	29.0	8.35	80	13.0
	C	300.5	29.4	8.85	83	14.5
	D	304	29.75	8.70	79.0	13.7
	E ₁	307	29	8.90	82.5	12.0
	E ₂	306	29	8.95	81.5	12.5
	F	—	—	—	—	—
	G	304.8	30	9.3	79	12.0
	H	308	30	8.9	77	12.5
	I	308	29.8	9.0	81	14.0
	J	—	—	—	—	—
備考	1. 第一、第二圖参照 2. 本成績は供試鍼一本抜取計測したものを示す。					

6. 目の深さ (d)

第六表に示す通りで、兩刃六時では目の深さ $d=0.15 \sim 0.23$ 耗、鐵工用十二時の上目の深さ $d=0.48 \sim 0.66$ 耗である。

7. 刃の切削面斜角 (δ)

第六表に示す通りで兩刃六時では切削面斜角 $\delta=-2^{\circ} 33' \sim -24^{\circ} 7'$ 、鐵工用十二時では $\delta=3^{\circ} 33' \sim 20^{\circ} 10'$ である。

8. 間隙角 (γ)

第六表に示す通りで兩刃六時では $\gamma=15^{\circ} 20' \sim 35^{\circ} 32'$ 、鐵工用十二時では $\gamma=23^{\circ} 38' \sim 57^{\circ} 1'$ である。

9. 目切込底角 (θ) (第一及第二圖中C圖参照)

目の傾きに直角な断面で測定したもので第六表に數例を示す。兩刃六時で A、G 及 J 等のものは目の切込底角 θ は夫々 $70^{\circ} 7'$ 、 $68^{\circ} 2^{\prime}$ 及 $62^{\circ} 25'$ 又鐵工用十二時では E₁ 及 E₂ 荘製のものの夫々は $56^{\circ} 31'$ 及 $64^{\circ} 24'$ である。

10. 目の擴大見取圖

兩刃六時及鐵工用十二時の作業方向断面のものは第三及第四圖に又目の傾きに直角断面のものは、第五圖に示す。第三及第四圖に依り切削方向断面の双形を観察し得られ、切味推定の参考となる。又第五圖により「たがね」による目の切込底角を観察することが出来る。

II 結言

調査は不充分で切削性能試験未済なるも、以上により品質向上及量産上取り上げべき問題は大体次の通りと思われる。

1. 材料假規格の決定

Ca の含有が避けられぬとすれば鍼材料として使用可能な最高を抑へ、一方優秀材料の研究をする。

2. Gap Roll の試作

鍼造は「ベルトハンマー」又は手枷に依るため製品寸法が均一でない。之は次の研磨、仕上作業に多大の困難を興へ且量産的でない。吾々は之を鍼専門の Gap Roll に依り解決せんとした調査設計中である。

3. 熱處理法の改善

A. 焼 鍋

現在の木炭又は石炭炉依る裸焼鍋は脱炭層深く第5～第8工程にて多大の困難を來してゐ

切 込 底 角 度 数 値 規 格	硬度 Re	目的の傾 き角 α	
		J.E. S.	> 67.0
A	65.0	$68^{\circ} 10'$ $67^{\circ} 56'$	規
B	67.0	$63^{\circ} 38'$ $63^{\circ} 34'$	
C	67.0	$66^{\circ} 09'$ $65^{\circ} 33'$	
D	65.0	$62^{\circ} 16'$ $62^{\circ} 42'$	
E	66.0	$67^{\circ} 0'$ $67^{\circ} 10'$	
F	66.5	$68^{\circ} 12'$ $68^{\circ} 22'$	
G	67.4	$63^{\circ} 11'$ $62^{\circ} 49'$	
H	66.2	$68^{\circ} 40'$ $68^{\circ} 38'$	
J	64.3	$73^{\circ} 20'$ $74^{\circ} 0'$	
K	65.5	$69^{\circ} 0'$ $69^{\circ} 10'$	
L	66.5	$66^{\circ} 40'$ $67^{\circ} 6'$	
M	60.5	$71^{\circ} 18'$ $71^{\circ} 04'$	
N	64.3	$70^{\circ} 20'$ $70^{\circ} 47'$	
J.E. S.	>65	上目 (σ)	
A	65.2	$70^{\circ} (\text{約})$	
B	63.2	$71^{\circ} 15'$ $71^{\circ} 14'$	
C	65.2	$70^{\circ} 21'$ $69^{\circ} 41'$	
D	66.2	$70^{\circ} 45'$ $70^{\circ} 50'$	
E ₁	67.0	$71^{\circ} 14'$	
E ₂	67.1	$70^{\circ} 3'$ $70^{\circ} 26'$	
F	63.6	$68^{\circ} 48'$	
G	65.0	$70^{\circ} 47'$ $70^{\circ} 6'$	
H	66.9	$72^{\circ} 9'$ $71^{\circ} 22'$	
J	65.3	$70^{\circ} 10'$ $70^{\circ} 18'$	
1. 各計測符號は 2. 目の傾き角に 3. その他の場合 4. d δ θ θ_1 及 5. P_1 P_2 及 P_3			

第六表 供試錠の硬度、目及び刃形の成績表

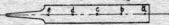
日 期 及 時 間 別 記 号	硬度 Re	目の傾き角 α	$\alpha \sim \beta$	目の「ピッ チ」耗 計測面 (③) P_1	目の周 期 P (耗) 計測面 (①) P_2	目の深 さ d (耗)	切削面 斜角 (S)	間隙角 「ヒッ チ」 (r)	目の切込痕角		
									θ_1	θ_2	θ
(1) (第一 回参照)	J.E. S.	>67.0	規 格	な	し						
前回で測定し 得を示す。再 生のものは目 $67^{\circ} 7'$, $68^{\circ} 2$ 度十二時では 夫は $56^{\circ} 31'$	A	65.0 67^{\circ} 36' 75^{\circ} 18'	$68^{\circ} 10'$ —	$70^{\circ} 42'$	0.53	0.53	0.17 0.23	$-18^{\circ} 12'$ $-6^{\circ} 37'$	$20^{\circ} 52'$ $24^{\circ} 17'$	0.50	$68^{\circ} 41'$ $1^{\circ} 26'$ $70^{\circ} 1'$
時間	B	67.0 63^{\circ} 34' 70^{\circ} 30'	$63^{\circ} 38'$ $71^{\circ} 4'$	$70^{\circ} 26'$	0.58	0.55	0.20 0.19	$-15^{\circ} 19'$ $-10^{\circ} 59'$	$18^{\circ} 12'$ $21^{\circ} 20'$		
時間	C	67.0 65^{\circ} 33' 73^{\circ} 9'	$66^{\circ} 09'$ $73^{\circ} 30'$	$70^{\circ} 21'$	0.52	0.52	0.16 0.20	$-6^{\circ} 59'$ $-5^{\circ} 6'$	$15^{\circ} 20'$ $15^{\circ} 30'$		
時間	D	65.0 62^{\circ} 42'	$62^{\circ} 36'$ $69^{\circ} 24'$ 70°	$6^{\circ} 48'$ $70^{\circ} 18'$	0.51	0.51	0.15 0.17	$-15^{\circ} 4'$ $-10^{\circ} 43'$	$34^{\circ} 44'$ $24^{\circ} 38'$		
時間	E	66.0 67^{\circ} 10'	$67^{\circ} 30'$ 71°	$0^{\circ} 30'$ $3^{\circ} 50'$	0.54	0.56	0.19 0.19	$-18^{\circ} 38'$ $-24^{\circ} 7'$	$31^{\circ} 44'$ $18^{\circ} 2'$		
時間	F	66.5 68^{\circ} 12'	$66^{\circ} 57'$ $68^{\circ} 22'$	$1^{\circ} 15'$ $1^{\circ} 34'$	0.55	0.51	0.23 0.19	$-15^{\circ} 44'$ $-18^{\circ} 41'$	$32^{\circ} 55'$ $20^{\circ} 20'$		
時間	G	67.4 62^{\circ} 49'	$67^{\circ} 59'$ $69^{\circ} 54'$	$5^{\circ} 49'$ $6^{\circ} 16'$	0.53	0.53	0.19 0.21	$-15^{\circ} 57'$ $-10^{\circ} 24'$	$22^{\circ} 54'$ $24^{\circ} 7'$	0.47	$62^{\circ} 31'$ $5^{\circ} 50'$ $58^{\circ} 21'$
時間	H	66.2 68^{\circ} 40'	$75^{\circ} 24'$	$6^{\circ} 44'$	0.48	0.48	0.15 0.18	$-17^{\circ} 25'$ $-17^{\circ} 45'$	$28^{\circ} 30'$ $25^{\circ} 10'$		
時間	I	64.4 74^{\circ} 0'	$75^{\circ} 50'$	$2^{\circ} 30'$	0.52	—	0.21 0.21	$-2^{\circ} 33'$ $-10^{\circ} 0'$	$35^{\circ} 32'$ $27^{\circ} 22'$	0.50	$62^{\circ} 8'$ $0^{\circ} 17'$ $62^{\circ} 25'$
時間	K	65.5 69^{\circ} 10'	$69^{\circ} 42'$	$0^{\circ} 42'$	0.50	0.50	0.15 0.16	$-11^{\circ} 10'$ $-10^{\circ} 59'$	$28^{\circ} 40'$ $24^{\circ} 1'$		
時間	L	66.5 66^{\circ} 40'	$73^{\circ} 48'$	$7^{\circ} 8'$	0.50	—	0.20 0.19	$-6^{\circ} 52'$ $-8^{\circ} 17'$	$22^{\circ} 32'$ $27^{\circ} 35'$		
時間	M	60.5 71^{\circ} 18'	$70^{\circ} 10'$	$1^{\circ} 8'$	0.51	0.50	0.19 0.14	$-8^{\circ} 11'$ $-11^{\circ} 6'$	$28^{\circ} 37'$ $20^{\circ} 3'$		
時間	N	64.3 70^{\circ} 20'	$77^{\circ} 48'$	$7^{\circ} 28'$	0.53	0.53	0.17 0.21	$-3^{\circ} 58'$ $-4^{\circ} 48'$	$24^{\circ} 20'$ $26^{\circ} 2'$		
時間	J.E. S.	>65	上目 (σ)	下目 (β)	$\sigma + \beta$	上目の ピッチ	下目の ピッチ				
時間			70^{\circ} (約)			1.25 (約)	1.30 ~ 1.56				
時間	A	65.2 71^{\circ} 14'	$55^{\circ} 15'$ $55^{\circ} 25'$	$126^{\circ} 30'$	1.33	1.65 1.64	0.65 0.60	$+3^{\circ} 35'$ $-0^{\circ} 40'$	$31^{\circ} 29'$ $35^{\circ} 32'$		
時間	B	63.2 70^{\circ} 5'	$54^{\circ} 52'$	$124^{\circ} 57'$	1.25	1.67	—	—	—		
時間	C	65.2 69^{\circ} 41'	$48^{\circ} 17'$	$118^{\circ} 44'$	1.29	1.62 1.62	7.72 0.34	$-14^{\circ} 27'$ $-14^{\circ} 27'$	$38^{\circ} 18'$ $-$		
時間	D	66.2 70^{\circ} 48'	$55^{\circ} 14'$	$118^{\circ} 25'$	1.28	1.69 1.57	6.38 —	$-20^{\circ} 8'$ —	$36^{\circ} 6'$ —		
時間	E	67.0 70^{\circ} 26'	$52^{\circ} 25'$	$126^{\circ} 2^{\circ}$	1.29	1.56	—	—	—		
時間	E	67.1 70^{\circ} 26'	$52^{\circ} 25'$	$122^{\circ} 51'$	1.27	1.60 1.74	6.28 5.12	$-9^{\circ} 8'$ 0.57	$25^{\circ} 55'$ 1.20	$54^{\circ} 31'$ $1^{\circ} 40'$ $56^{\circ} 31'$	
時間	F	63.6 68^{\circ} 48'	$48^{\circ} 20'$	$117^{\circ} 8'$	1.28	1.75 5.09	5.09 0.48	$-2^{\circ} 10'$ $-11^{\circ} 34'$	$23^{\circ} 38'$ $38^{\circ} 09'$		
時間	G	65.0 70^{\circ} 6'	$49^{\circ} 11'$ $48^{\circ} 25'$	$119^{\circ} 15'$ $118^{\circ} 21'$	1.31 1.32	1.73 1.77	5.19 5.26	$-19^{\circ} 32'$ $-15^{\circ} 6'$	$52^{\circ} 17'$ $57^{\circ} 1'$		
時間	H	66.9 71^{\circ} 22'	$51^{\circ} 16'$ $51^{\circ} 25'$	$123^{\circ} 25'$	1.30	1.63 1.64	6.50 6.53	$-12^{\circ} 46'$ $-14^{\circ} 17'$	$38^{\circ} 42'$ $41^{\circ} 17'$		
時間	J	65.3 70^{\circ} 10'	$56^{\circ} 59'$	$127^{\circ} 9'$	1.34	1.81	—	$-7^{\circ} 5'$	$32^{\circ} 19'$		
時間			70^{\circ} 18'	$56^{\circ} 35'$	1.31	1.72	—	$-6^{\circ} 12'$	$34^{\circ} 27'$		
時間											
1. 各計測符號は第一回及第二回参照のこと。											
2. 目の傾き角にて兩回六時の場合、上段は③面下段は④面、下段は②面、上段は①面(第一回参照)											
3. 製工十二時の場合、及び σ とも β 上段はマーカ面、下段は反対面。											
4. 硬度 σ 及 β は数値所の測定平均値を示す。											
5. d σ β 及 θ_1 及 θ_2 は兩回六時にては連続10個の目的平均値、製工12時にては3~4回の平均値を示す。											
6. P_1 P_2 及 P_3 は10回間の平均値、 P は2~3周間の平均値を示す。											

第七表 焼純後の硬度測定成績

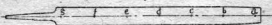
種別 供試 材番號	計測箇所	Rb							平均
		a	b	c	d	e	f	g	
兩刃六時	No. 1	86.3	85.9	91.0	95.8	97.7	—	—	91.3
	No. 2	87.5	85.1	87.2	87.0	85.3	—	—	86.4
	No. 3	86.1	82.0	84.8	84.9	85.2	—	—	84.6
鐵工用十二時鍛	No. 1	91.2	—	87.0	92.5	93.0	91.2	91.5	91.1
	No. 2	89.7	—	—	98.5	89.7	—	90.0	89.5
	No. 3	93.7	—	—	93.6	93.0	91.2	94.7	93.4
	No. 4	96.8	101.7	103.2	104.3	101.5	—	102.2	101.6
備考	計測箇所は下図参照のこと								

硬度測定位置圖

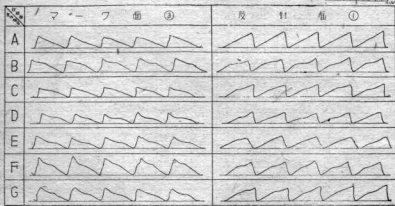
兩刃六時鍛



鐵工用十二時鍛



第三圖 其ノ一 鋸用兩刃六時摺込鍔目擴大見取圖 作業方向(中心線)に平行断面



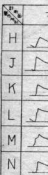
る。箱焼純の時 850°C 最高した。兩刃六時

B. 焼入現在船用炉

4. 研磨法

完全な研磨面可能な研削機の

第三圖：



第四圖



る。箱焼結の採用研究のため電気炉(25KW 常時 850°C 最高温度 900°C)を當試験場に設置した。兩刃鍛にて試験の結果良好である。

B. 焼入

現在鉛浴炉の改良能率化を研究す。

4. 研磨法の改善

完全な研磨面を得ること及び各種断面の研磨可能な研磨機の研究設計製造をなす。之は鉄道

及び焼純方法と關聯があるので未著である。

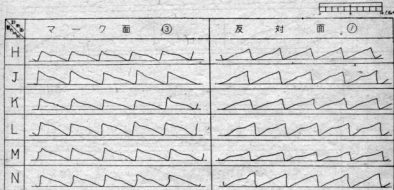
5. 目立法の改善

能率的にして且合理的な目を切り得る目切機又は目切法の研究をなす。

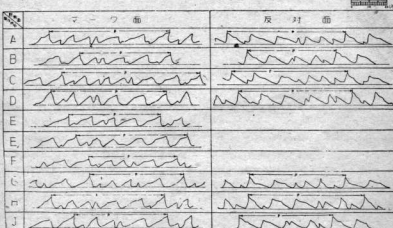
6. 「スケール」除去法

「サンドブラスト」の代りに電解研磨法の利用について研究す。

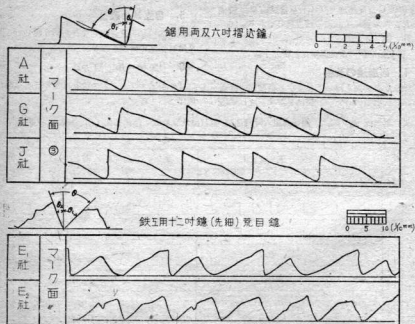
第三圖 其ノ二 鋼用両刃六時指込鍛 鍛目擴大見取圖 作業方向(中心線に平行断面)



第四圖 鉄工用十二時平(先細)荒目鍛 鍛目擴大見取圖 作業方向(中心線)に平行断面



第五圖 鋸目擴大見取圖 [目(鐵工鍔は上目)の傾きに直角の断面]



File teeth, in
Subjects for in
investigating w

I

兩刃六吋鋸の如
へ個々の目の形狀
反對面は之と異なる
此の原因を推定し
起した。専各社の
平荒目鋸の目の條

II 兩刃六吋

「鍔に隣する研
鍔の目の深さ(d)
角(γ)の測定値
數箇所の平均測定
當のばらつきがあ
個の目を測定した
値を示し第一圖に。
之等の圖表に
の目の深さ(d)は
がδ及びγに於て
之等を反對面と

鑑に關する研究

Industrial Research of Files

第2報

(2nd report)

Report on the investigation of the file teeth

豊永信夫

N. Toyonaga

脇一雄

K. Waki

長本金藏

K. Tatsumoto

File teeth, in general, are apt to be unevenly set even on a very file.

Subjects for improving of tooth-setting were introduced to be discussed through investigating why that uneven setting is done.

I 緒 言

兩刃六時鍼の如き比較的簡単な單目に於てさへ個々の目の形状は同一面にても差があり、又反対面は之と異なる形状を有してゐる事を知つた。此の原因を推定し、目立方法改善上の問題を提起した。尙各社の兩刃六時鍼及び鐵工用十二時平荒目鍼の目の條件を圖表にて示した。

II 兩刃六時鍼の目の形狀のばらつき

「鍼に關する研究」第一報の第六表に各社の鍼の目の深さ(d)、切削面斜角(δ)及び間隙角(γ)の測定値を示したが、之は既報の通り數箇所の平均測定値である。個々の測定値は相當のばらつきがあつた。兩刃六時鍼では連續十倍の目の測定した。第一表乃至第三表に各計測値を示し第一圖に之を圖示した。

之等の圖表により明かなく、同一計測面の目の深さ(d)は必ずしも比すれば差は少ないが、及び γ に於ては廣範囲にばらついて居る。

之等を反対面と比較すると同様な事が言へる。

即ち後言すれば、同一測定面にても鍼目の形狀は可成りの差があり、且反対面は又之と違つた形狀を持つて居る事が判る。従つて現用の目立方法にては、同一の形狀の鍼目を形成することが困難であるとも言ひ得る。之と同様な事が鐵工用十二時(荒目)鍼についても言へる。

III 目の形狀のばらつき原因の推定

之等の原因を推定すれば次の様な事が考へられる。

1. 目切機械の各部の付み或は整取付の不安定に起因する切込角度の變化。
2. 鍼面が平面になつてゐない。
3. 目切りの際 敷金の平面度及び硬度に起因する整打込み角度の變化。
4. 地盤、焼鉄の不均一或は「手ハンマー」に依る種打効果の不均一。
5. 整の材質及び熱處理に基因する磨耗度。
6. 目切機構造上の欠陥。
- A. 目切りの際 鍼材が送り螺子に依り連續

第一表 供試鍔に於ける目の刃形の差異及硬度 (種別兩刃六吋鍔)

製作所名	試験番号	計測値											平均
		1	2	3	4	5	6	7	8	9	10	平均	
A	I	計測種別											
	I	硬度 (R.C.)	65.4 66.1	64.5 65.5	66.9 63.7	65.2 62.5	65.5 66.8	63.5 66.5	63 66.7	63.5 64	64.2 63	63.5 63	65
	II	目の深さ (d) m/m	0.18 0.23 0.25	0.18 0.25 0.25	0.18 0.23 0.24	0.16 0.24 0.24	0.16 0.24 0.24	0.16 0.24 0.24	0.16 0.24 0.24	0.16 0.24 0.24	0.16 0.24 0.24	0.17 0.17 0.17	
	III		0.16 0.22	0.14 0.21	0.14 0.22	0.17 0.23	0.17 0.22	0.17 0.21	0.18 0.22	0.18 0.23	0.18 0.23	0.17 0.23	0.17 0.23
	II	切削面斜角 (δ)	-14° 51' -70°	-21° 36' -70°	-19° 16' -70°	-18° 34' -70°	-18° 34' -70°	-17° 0' -6°	-20° 40' -4°	-16° 50' -4°	-18° 10' -6°	-18° 12' -7°	-18° 12' -6°37'
	III	間歫角 (γ)	26° 54' 24° 10'	20° 54' 24° 10'	20° 54' 24° 10'	20° 54' 24° 10'	20° 54' 24° 10'	20° 54' 24° 10'	20° 54' 24° 10'	20° 54' 24° 10'	20° 54' 24° 10'	20° 54' 24° 10'	20°52' 24°17'
	I	硬度 (R.C.)	66.8	66.8	68.0	68.0	66.3	68.0	68.0	68.0	—	—	67.6
	II	目の深さ (d) m/m	0.19 0.19	0.19 0.19	0.2 0.17	0.2 0.19	0.19 0.18	0.2 0.21	0.2 0.2	0.22 0.2	0.22 0.2	0.22 0.2	0.2
	III	切削面斜角 (δ)	-14° 46' -11° 40'	-12° 18' -11° 8'	-13° 48' -11° 10'	-16° 58' -11° 10'	-17° 48' -11° 10'	-15° 6° -5°	-16° 4° -8°	-17° 52' -13°	-15° 36' -13°	-12° 52' -13°	-15°19' -10°59'
	II	間歫角 (γ)	17° 12° 31° 16°	14° 50° 19° 20°	18° 24° 15° 30°	23° 40° 10° 12°	17° 38° 13° 56°	15° 24° 25° 46°	15° 28° 20° 30°	20° 54° 25° 12°	22° 52° 16° 40°	22° 52° 16° 58°	18°12' 21°25'
B	I	硬度 (R.C.)	67	66.2	67	67.5	66.5	66.8	67	67.1	—	—	67
	II	目の深さ (d) m/m	0.17 0.21	0.16 0.19	0.15 0.21	0.15 0.2	0.16 0.2	0.17 0.21	0.16 0.22	0.16 0.2	0.15 0.18	0.15 0.2	0.16
	II	切削面斜角 (δ)	-4° 20' -9° 18'	4° 20' -19° 4'	-11° 18' 0° 18'	-70° -70° -0° 58'	-6° 38° -1° 58°	-6° 36° -3° 22°	-9° 52' -1° 32°	-5° 50° -1° 50°	-5° 54° -1° 50°	-6° 56° -1° 50°	-6°59' -4°6°
	III	間歫角 (γ)	15° 20° 18°	15° 16° 20°	16° 16° 46°	13° 15° 36°	170° 170° 18°	170° 170° 15°	14° 42° 16°	140° 42° 20°	120° 20° 20°	110° 22° 6°22'	15°20' 22° 9°43°
	I	硬度 (R.C.)	64.6	65.2	65.3	65.5	64.7	63.5	64.2	65.5	—	—	65
	II	目の深さ (d) m/m	0.14 0.17	0.15 0.17	0.14 0.17	0.14 0.18	0.15 0.18	0.14 0.18	0.16 0.16	0.15 0.16	0.17 0.16	0.17 0.17	0.15
	II	切削面斜角 (δ)	-15° 26' -14° 4'	-15° 16' -14° 40'	-18° 0° 2°	-17° 6' 24°	-14° 36° 24°	-14° 4° 54°	-21° 4° 44°	-13° 46° 44°	-11° 56° 46°	-10° 20° 12°	-11° 20° 18°
	III	間歫角 (γ)	37° 26° 14°	43° 54° 29°	56° 44° 22°	29° 56° 26°	35° 26° 19°	25° 34°	34° 50° 20°	27° 24° 24°	28° 12° 30°	28° 24° 23°	28° 34°44° 24°38°
	I	硬度 (R.C.)	64.7	65.2	65.3	65.5	64.7	63.2	67.2	66.0	67.5	64.2	65.5
	II	目の深さ (d) m/m	0.13 0.17	0.15 0.17	0.14 0.17	0.14 0.18	0.15 0.18	0.14 0.18	0.16 0.16	0.15 0.16	0.14 0.16	0.15 0.17	0.15
	II	切削面斜角 (δ)	-15° 26' -14° 4'	-15° 16' -14° 40'	-18° 0° 2°	-17° 6' 24°	-14° 36° 24°	-14° 4° 44°	-21° 4° 44°	-13° 46° 44°	-11° 56° 46°	-10° 20° 12°	-11° 20° 18°
	III	間歫角 (γ)	37° 26° 14°	43° 54° 29°	56° 44° 22°	29° 56° 26°	35° 26° 19°	25° 34°	34° 50° 20°	27° 24° 24°	28° 12° 30°	28° 24° 23°	28° 34°44° 24°38°

第三表 供試鍔の目の刃形の差異及び硬度 (種別兩刃六吋鍔)

製作所名	試験番号	計測値											平均
		1	2	3	4	5	6	7	8	9	10	平均	
I	硬度 (R.C.)	64.7	65.2	67.2	66.0	67.5	64.2	66.5	65.7	64.7	65.5	65.5	
II	硬度 (R.C.)	64.7	65.2	67.2	66.0	67.5	64.2	66.5	65.7	64.7	65.5	65.5	

備考 1. 各計測符は第二報第一圖参照のこと。
2. d 8 γ 欄の上段はマーク面③下段は反對面①を示す

第三表 供試機の刃形の差異及び硬度（種別兩刃六吋鐵）

固所試験 作業用		計測値 計測面										平均	
		1	2	3	4	5	6	7	8	9	10	平均	
I	硬度 (R.C.)	64.7	63.2	67.2	66.0	67.5	64.2	66.5	65.7	64.7	65.5	65.5	
K	目的深さ (d) %	0.13	0.15	0.14	0.15	0.15	0.16	0.16	0.16	0.15	0.15	0.15	
X	切削面斜角 (δ)	-18°38'	-11°38'	-12°38'	-9°16'	-13°28'	-7°44'	-2°44'	-11°58'	-7°44'	-11°58'	-11°58'	
	開隙 角 (V)	-12°30'	-10°50'	-10°10'	-12°6'	-11°40'	-8°18'	-13°48'	-17°20'	-7°30'	-5°18'	-10°59'	
I	硬度 (R.C.)	66.5	68.5	66	66.5	65.6	66	66.5	67	66.2	65.7	66.5	
L	目的深さ (d) %	0.18	0.2	0.18	0.19	0.19	0.19	0.22	0.21	0.2	0.21	0.2	
	切削面斜角 (δ)	-13°	-10°18'	-5°34'	-5°40'	-5°18'	-6°	-5°54'	-5°28'	-5°28'	-5°40'	-6°52'	
	開隙 角 (V)	24°24'	24°8'	28°44'	21°34'	18°28'	16°48'	33°54'	22°	23°32'	23°28'	23°34'	
I	硬度 (R.C.)	56.5	56	56.8	66.3	66.3	66.3	66.3	66.3	66.3	66.3	60.5	
M	目的深さ (d) %	0.19	0.19	0.19	0.19	0.19	0.19	0.19	0.22	0.21	0.19	0.19	
	切削面斜角 (δ)	-8°12'	-10°12'	-7°40'	-10°12'	-7°40'	-7°10'	-13°26'	-7°32'	-7°32'	-7°26'	-8°17'	
	開隙 角 (V)	20°10'	34°42'	20°52'	16°30'	19°8'	14°50'	41°	16°40'	22°	18°32'	22°32'	
I	硬度 (R.C.)	56.5	56	56.8	66.3	66.3	66.3	66.3	66.3	66.3	66.3	60.5	
N	目的深さ (d) %	0.15	0.15	0.14	0.14	0.14	0.15	0.14	0.14	0.14	0.14	0.14	
	切削面斜角 (δ)	-8°14'	-9°18'	-9°18'	-9°14'	-11°16'	-11°18'	-9°52'	-8°34'	-8°52'	-9°44'	-8°14'	
	開隙 角 (V)	10°54'	37°40'	34°4'	32°28'	-	35°6'	35°38'	30°14'	33°40'	19°20'	-11°67'	
I	硬度 (R.C.)	64.2	62.7	65.7	64.2	63.6	64	63.5	63.7	64.7	65	64.3	
P	目的深さ (d) %	0.14	0.14	0.18	0.17	0.18	0.17	0.18	0.17	0.17	0.18	0.17	
	切削面斜角 (δ)	-9°50'	-5°40'	-10°20'	-8°18'	-4°0'	-12°30'	-5°	-7°52'	-10°32'	-2°15'	-3°58'	
	開隙 角 (r)	28°56'	11°30'	24°4'	30°40'	28°10'	19°24'	38°	29°40'	30°30'	19°30'	24°26'	
		10°26'	25°56'	19°52'	32°30'	28°6'	34°6'	34°4'	15°56'	26°24'	30°16'	26°22'	

1. 各計測行は第一第二第三第四の順序のこと。
 2. d 6 mm の上段はマーカー面下段は反対面①を示す

備考

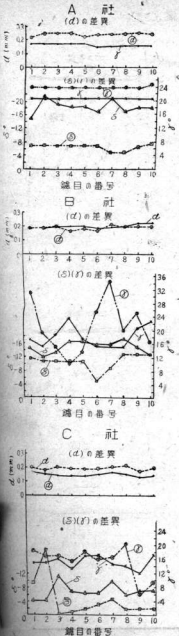
第二表 供試鍼の目の刃形の差異及硬度 (種別兩刃六時鐘)

製作試験所名片號	計測番號	計測種目	1	2	3	4	5	6	7	8	9	10	平均	
			1	2	3	4	5	6	7	8	9	10	平均	
E	I	硬 度 (R.C)	64.7	66	65.6	66.7	65.6	65.7	65	67	67	67	66	
	II	目の深さ (d) m/m	0.18	0.19	0.19	0.19	0.19	0.22	0.2	0.2	0.2	0.2	0.2	
			0.2	0.19	0.19	0.19	0.18	0.19	0.19	0.19	0.19	0.19	0.19	
	II	切削面斜角 (δ)	-17° 46' -21° 17'	-23° 20' -23° 0'	-23° 20' -58'	-19° 10' -10' 10'	-19° 24' -25° 20'	-17° 24' -25° 8'	-17° 22° -25° 50'	-20° 22° -25° 10'	-16° 28° -25° 10'	-18° 0' -25° 10'	-18° 38' -24° 7'	
		間 隙 角 (r)	38° 38° 15° 15°	34° 10° 20° 20°	32° 8° 18° 18°	23° 44° 18° 10'	25° 3' 16° 8'	35° 24° 16° 10'	32° 22° 23° 40'	35° 22° 23° 32'	25° 29° 19° 26'	31° 30° 17° 10'	31° 44' 29° 18°	25° 30° 2°
F	I	硬 度 (R.C)	64.2	66.0	67.2	66.5	67.5	67.2	—	—	—	—	66.5	
	II	目の深さ (d) m/m	0.23	0.22	0.24	0.23	0.25	0.26	0.22	0.22	0.23	0.23	0.23	
			0.17	0.19	0.17	0.20	0.21	0.20	0.24	0.18	0.18	0.18	0.19	
	II	切削面斜角 (δ)	-14° 10° 19° 58'	-15° 52° 17° 16°	-14° 20° 26° 23°	-15° 10° 19° 35°	-22° 32° 30° 39°	-17° 20° 19° 39°	-13° 44° 55° 43°	-13° 4' -10° 19°	-16° 0' -16° 25°	-13° 4' -16° 17°	-16° 0' -15° 44'	-15° 44' -18° 41'
		間 隙 角 (r)	37° 37° 12° 40°	44° 22° 20° 15°	53° 54° 19° 40°	27° 5' 13° 13'	30° 43° 17° 55'	39° 11° 26° 15'	43° 11' 14' 6'	37° 26° 15' 30'	42° 14' 25' 22'	42° 13' 25' 31'	32° 55' 21° 20°	32° 55' 20° 60'
G	I	硬 度 (R.C)	67.5	67.7	65.5	68.0	67.2	68.0	66.5	68.0	—	—	67.4	
	II	目の深さ (d) m/m	0.16	0.19	0.18	0.2	0.2	0.17	0.2	0.19	0.19	0.19	0.19	
			0.21	0.22	0.22	0.21	0.21	0.21	0.2	0.22	0.22	0.22	0.21	
	II	切削面斜角 (δ)	-12° 44° 6° 26'	-19° 19° 7° 8'	-16° 39° 7° 59'	-11° 20° 5° 39'	-13° 39° 12° 32'	-27° 11° 13° 13'	-18° 30° 11° 59'	-11° 45° 12° 0'	-11° 16' 12° 22'	-11° 10' 16' 16'	-11° 10' 16' 16'	-17° 57' -10° 24'
		間 隙 角 (r)	14° 39° 18° 12'	27° 24° 29° 54'	21° 20° 29° 42'	26° 0° 29° 33'	24° 44° 38° 33'	25° 28° 20° 7'	27° 28° 20° 19'	20° 24° 21° 20'	21° 28° 20° 30'	20° 20° 28° 33'	22° 25° 21° 16'	22° 25° 21° 24°
H	I	硬 度 (R.C)	63.5	65.2	66.5	66	67.5	65	66.7	67.5	67.1	66.8	66.2	
	II	目の深さ (d) m/m	0.14	0.14	0.14	0.15	0.14	0.16	0.16	0.16	0.16	0.16	0.15	
			0.2	0.19	0.18	0.18	0.17	0.18	0.18	0.18	0.17	0.16	0.18	
	II	切削面斜角 (δ)	-19° 45° 12° 32'	-19° 2° 19° 38'	-19° 18° 17° 14'	-22° 42° 17° 14'	-20° 42° 16° 42'	-20° 39° 16° 42'	-20° 32° 15° 32'	-26° 32° 15° 32'	-9° 6° 15° 22'	-13° 52° 18° 18'	-15° 32° 52° 52'	-17° 25' -17° 15'
		間 隙 角 (r)	56° 30° 4°	66° 50° 42'	33° 12° 42'	25° 22° 33'	27° 12° 34'	32° 26° 34'	32° 22° 26°	26° 22° 26°	31° 42° 26°	28° 44° 19°	46° 10° 17°	28° 30' 25° 10'
I	I	硬 度 (R.C)	62.5	65	65.2	65	64	65	64.1	65.2	64	64	64.4	
	II	目の深さ (d) m/m	0.21	0.22	0.21	0.22	0.21	0.21	0.20	0.22	0.21	0.21	0.21	
			0.22	0.21	0.2	0.2	0.21	0.2	0.21	0.21	0.21	0.22	0.21	
	II	切削面斜角 (δ)	-1° 50° 14° 32'	-1° 50° 14° 40'	-1° 50° 17° 34'	-2° 20° 17° 34'	-2° 20° 16° 18'	-2° 20° 12° 0'	-2° 28° 11° 20'	-2° 28° 11° 20'	-2° 28° 11° 20'	-2° 28° 11° 20'	-5° 48° 40° 30'	-2° 33' -0° 10°
		間 隙 角 (r)	58° 33° 0°	29° 20° 0°	29° 20° 11'	33° 36° 11'	33° 30° 24'	36° 22° 26'	36° 22° 26'	34° 16° 24'	49° 10° 24'	42° 8° 30'	41° 30° 30'	35° 32'

備考 1. 各計測符號は第二報第一圖参照のこと。
2. d & r 準の上段はマーク面③下段は反対面①を示す

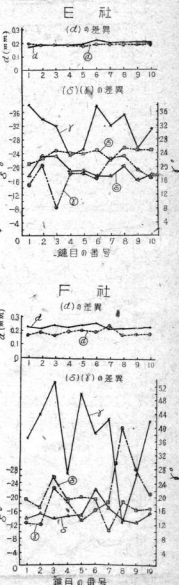


第一圖 供試 鰐 (連續十目) の目の刃形の差異

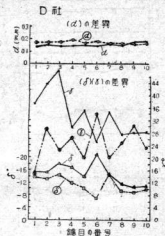
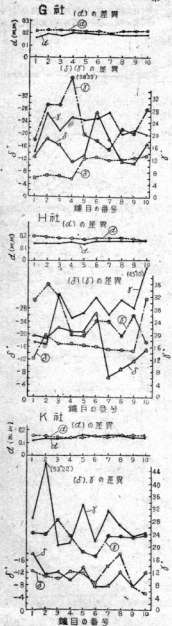


種別：鋸用兩刃六吋指込鰐

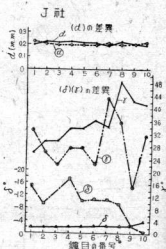
d (目の深さ) y (切削角) δ (間隙角) はマーク面
② (目の深さ) ③ (切削角) ④ (間隙角) は反対面



第一圖 繼



送られる爲の
B. 錢保持
尚参考の爲第二
が不規則になつて
の兩双六時鍵及び
測定値を第三圖に



第二圖

地底のない船の鏡目



備考 a. 本圖共は目の動きに直角断面を示す。

送られる爲目の先端部は整上昇中壓力を受ける

B. 鏡保持部（俗に舟）の不安定

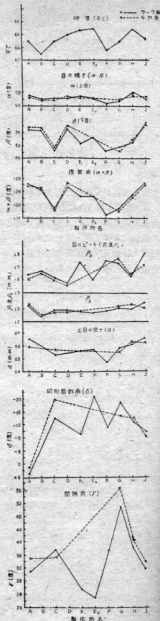
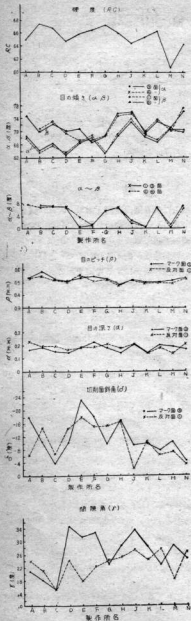
尚参考の爲第二圖に一本の鏡で地底のある所が不規則になつて居る例を示す。第一報第六表の兩双六時鏡及び鉄工用十二時鏡についての各測定値を第三圖に圖示した。

III 結 言

以上に依り國內產鏡（兩双六時及び鉄工十二時平荒目）の目の状態を明かにしたのであるが外國復希鏡を未入手の爲比較が出来なかつた。最近鏡試験機が納入されたので、之等について切削性能を明かにする豫定である。



第三圖 供試鉗の硬度及刃形の比較圖
鉄用再六時摺込鍼



Report on
dimension

At present, the file-makers have not yet mass-produced. We Roll and the others are in the calibration stage. Under such production, it is arranged at Hiroshima Man-

I

本縣の鍛造部は、特産品として著名な製品、品質或はその然たるものがあつてなく、将来研究改善も困難と思はれる題目として鍛取於ても鍛専門委員会にて研究に力をして居る所である。鍛造工程に「鍛造ロール機」計画を完了した。從つて依り1個完成するが、之は非能率的で、しきは失れたるもの

鍼に関する研究

Industrial Research of Files

第3報

(3rd report)

Report on the design for the Forging Roll of files necessary for their uniformed dimension and mass production.

豊永信夫

N. Toyonaga

脇一雄

K. Waki

At present, for the forging of files, the belt-driven hammers are being used by the file-makers in Nigata-cho, Hiroshima prefectur.

These files dimensions are not uniformed and its production are not efficiently mass yet. We designed a Roll to remove these defects. This Roll is a kind of Gap-Roll and the forging will be completed by passing material for 5 times or more in the calibres on the roll.

Under such process of forging, the products are uniformly-dimensioned and have 5 or 6 times of the quantity produced.

It is arranged that one of this Roll will be completed on March 1951 at the Hiroshima Machinery Factory, West Japan Heavy Industrial Co.

I 緒言

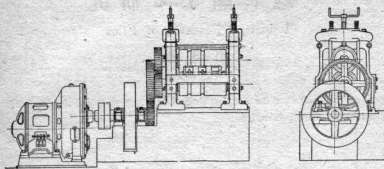
本報の鍼生産額は全國の約60%を占め 本縣特產品として著名であるが、その實情を見るに製品、品質或はその製造技術については舊態依然たるものがあつて、その進歩の見るべきものなく將來研究改善を怠ると即實績を維持する事も困難と思はれる。之に處する爲當場では研究題目として鍼を取上げ又本縣専門技術委員會に於ても鍼専門委員會を設けて爾來研究に努力して居る所であるが、その最初の研究結果として鍼製造工程に貢献する所大なるものとして「鍼造ロール機」を取上げ之を研究してその設計を完了した。從來鍼の製造は「ベルトハンマー」に依り1個宛内にて粗打して製作して居るが、之は非能率的且寸法が不均一となり甚しきは捻れたるものもある。次の研磨工程、

鍼削工程に多大な困難を來して居る。吾々の設計せし鍼造ロール機は、回轉せる上下ロールに取付けられた孔型中を鍼が通過する事に依つて迅速に均一製品を得るものである。

II 「ロール」の構造及び作動の大要

本機は1種の間歇壓延機でその構造は第一圖に示す如きものである。「ギヤードモーター」に依り「フライホイール」軸を回轉せしめ、軸端に嵌合せる齒車に依り尚減速して上下ロールを回轉する。ロールの回轉數は毎分30回である。下ロールは「スタンド」に嵌合せる軸受に依つて支持せられ左右調節を可能とする。上ロールは發條付の上軸受に保持せられ、上下及び左右調節が可能である。上下ロールの欠刻部に夫々孔型を有する金物を螺着する。此孔型は鍛造せんとする鍼の形狀を有する。ロールは孔型以外

第1圖 鋼用鑄造ロール機



の周間に上下ロール間に間隙があり從つてロール表面の一部即ち孔型のみが鋳造に使用される。ロールは作業者の面にて互に外向に回転する。ロール間に間隙のある場合、加熱された鍛を火篭にて第一孔型に挿入すると、鍛は上下ロールの孔型内にて壓延せられ、間隙が来た場合に取り出される。次に第二、第三の孔型

を通過せしめて鋳造を終了する。

以上が構造及び作動の大要であるが、孔型を種々取替へる事に依り各種の鍛の鋳造が可能である。次に機械の諸元を示すと

床面積	1.310 m ²
長さ	1.680 m
高さ	1.576 m
巾	0.849 m

使 用
ベルト
鋳造
赤鋳造ロード
は次の如くで
品
電
ロード
孔型
電気
電粉炭 (ス)

品 名	数量	材 質	重 量 (kg)	記 事
電 動 機	1			10馬力三相交流 ギヤード モーター
ロールスタンダ及び キヤップ	各 2	錫 鋼	390,000	
ロ ー ル	2	錫 鋼	440,000	
孔 型	3 枚	炭素工具鋼	15,000	鐵工用 12 台平鍛の場合
驅動輪受	2	錫 鋼	50,000	
フライホイール	1	錫 鋼	220,000	
齒 車	4-	錫 鋼	140,000	
ロ ー ル 輸受	4	合成樹脂		
そ の 他			140,000	土合金物
計			1465,000	

III 能力及び特長

1. 製品の均一化

本鋳造ロール機に依る製品は、従来の「ベルトハンマー」に依つて得られぬ寸法の精度を得

られる。

2. 量産

本ロール機の鋳造能力は鐵工用 12 台平鍛の場合毎分 5 個である。新舊方法に依る比較を示

すと次次の如くである。その他の形状の鍔についても現在の4~5倍の能力を有す。

使 用 機 械	每分鍛造能力 (個)	一日生産高 個	倍率	仕上り 寸 法	記 事
ベルトハシマー	1.5	840	1	不 齊	一日間の實労働時間は7時間とする
鍛造ロール機	5	2100	3.3	均 一	全 上

III 所要経費

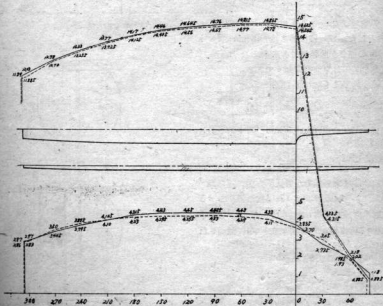
本鍛造ロール機一基設備に要する経費の概算は次の如くである。

V 孔型の設計

鍔の種類形状は、先に「鍔の研究」第一報にて述べた如く非常に多くあるが、本ロール

品 名	數量	單 價	金 額	据付費	備 考
電動機	1	100,000	100,000	1,000	10馬力ギヤードモーター
ローラー機	1	320,000	320,000	5,000	
孔型金物	1組	80,000	80,000		鉄工用12時平鍛用
電気工事	1式		10,000		
電粉炭燃焼鉈(ストーカー付)	1式		50,000		
計			560,000	6,000	

第2圖 鉄工用12^φ 平鍛並び厚み曲線



機設計に當つては便宜上鐵工用 12吋平鍼を取上げた。孔型設計の爲廣島縣吳市仁方地區の鍼寸法を計測して見だが相當に寸法差がある様である。その一例を第二圖に示す。即ち巾、厚み

及び曲線部の長さは總に依つて皆まちまちである。尚鍼の形狀寸法は J. E. S. (第三圖)に於ても一應規定して居るが、之等を参照して第四圖に示す如く吾々は鍼の製作寸法を決定した。即

第3圖 JESに依る鐵工用 12吋 平鍼寸法



第4圖 鐵工用 12吋 平鍼基準寸法



ち鍼先端部の曲線部分の長さは、鍼の長さの $2/5$ とした。12吋鍼に於ては、 $300\text{mm} \times 2/5 = 120\text{mm}$ の部分が曲線部である。又此の曲線は圓弧とし其の計算は次の如くである。

巾曲線に於ては〔第五圖 (A)〕

$$X=120 \text{ のとき}$$

$$Y=\sqrt{X^2-120^2}$$

先端部の縮代は 30 mm を 26 mm に落すのであるから

$$X - \frac{30-26}{2} = \sqrt{X^2-120^2} \therefore X=3601$$

故に巾曲線は次の如くなる。

$$Y=\sqrt{3601^2-X^2}=3586$$

次に厚み曲線は〔第五圖 (B)〕

$X=120$ の時厚みが 8.5 mm から 5 mm に壓延されるのであるから

$$Z=\sqrt{X^2-120^2}$$

$$X - \frac{8.5-5}{2} = \sqrt{X^2-120^2}$$

$$\therefore X=4115.161$$

故に厚み曲線は

$$Z=\sqrt{4115^2-X^2}-4110.75 \text{ となる。}$$

孔型金物は厚み孔型金物、巾粗孔型金物、巾

仕上孔型金物
度は次の如く

第一コ

第二工

第三工

第四工

第五工

第六工

荷ロールラ

型側邊の傾斜

高炭素工具鋼

VI

第六圖に於く

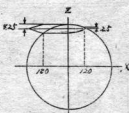
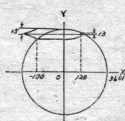
G=鋼

P.

e=ロード

F=P.Q

第5圖



ちまちである
面)に於て
して第四圖
定した。即

仕上孔型金物の三種からなる。その壓延工程順
序は次の如くである。

- 第一工程 厚み孔型金物
- 第二工程 巾粗孔型金物
- 第三工程 厚み孔型金物
- 第四工程 巾粗孔型金物
- 第五工程 厚み孔型金物
- 第六工程 巾仕上孔型金物

尚ロールライジングは1耗にとつてある。孔
型側邊の傾斜は幅粗孔型で4%とつた。粗材は
高炭素工具鋼を使用した。

II 馬力計算

第六圖に於て

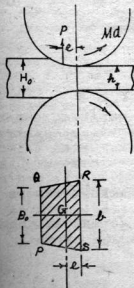
G=鋼材とロール接觸面ABの投影

P.Q.R.S.の重心

e=ロール中心線よりGまでの距離(m)

F=P.Q.R.S.の平面積(mm^2)

第6圖



0.75となる。
巾粗孔型金物、巾

K=鋼材の壓縮強さ(kg/mm^2)とすると
P=FK M_d=Pe

電動機のトルクをMnとする

$$Mn = \frac{2Md}{2} = \frac{2Pe}{2}$$

機械効率ηは88~90%で電動機の馬力数をN

1分間の回転数をnとする

$$N = \frac{2\pi Mn}{4500} = \frac{Mn}{716}$$

或は $N = \frac{2FKen}{716\eta}$ となる

$\frac{2}{\eta}$ に2.2を採用する事が通常であるから

$$N = \frac{2.2FKen}{716} \text{ となる。}$$

16吋平鍛を壓延する場合鋼材とロールの接觸面
は第七圖に示す如く

$$b \cdot B_o = 0.35 (H_o - h)$$

$$b = 30 = 0.35 (11 - 8)$$

$$b = 31.05 \text{ となるから}$$

$$F = 657.45 \text{ mm}^2 \quad e = 0.00895 \text{ m}$$

又壓延温度1200°Cの場合壓縮強さ

$$K = 10 \text{ kg/mm}^2 \text{ とすると}$$

$$\text{所要馬力 } N = \frac{2.2FKen}{716} = 5.43 \text{ HP \ となる。}$$

但し n=30, r.p.m.

第7圖



加熱した壓延材の冷
却その他を考へて本
ロール機用電動機と
しては10馬力を採用
した。

VII フライホイ ールの設計

使用電動機の馬力数を前述の通り10馬力とす
ると小型壓延機に於てはフライホイールの全エ
ネルギー

$$Ef/1HP = 6 \sim 7 \text{ であるから}$$

$$Ef/10 = 7 \text{ とすると } Ef = 70$$

$$Ef = \frac{1}{2} \frac{GD^2}{48} \left(\frac{2\pi \times 90}{60} \right)^2$$

こゝにGはフライホイールの輪周重量、Dfは
フライホイールの輪周中心径

$$70 = \frac{1}{2} \frac{GD^2}{4 \times 0.8} \left(\frac{2\pi \times 90}{60} \right)^2$$

但し駆動軸の回轉数 $N=90$ である。

$$\therefore GD^2 = \frac{70 \times 8 \times 9.8 \times 60^2}{4 \pi^2 \times 90^2} = 52$$

この條件を満足する爲に次の三つの場合を考
える

$$\textcircled{1} Df=600\text{mm} \text{ とすると } G=172\text{kg}$$

$$\textcircled{2} Df=700\text{mm} \text{ とすると } G=127\text{kg}$$

$$\textcircled{3} Df=750\text{mm} \text{ とすると } G=110\text{kg}$$

機械全体の約合その他から①の場合をとつて
リムの断面積を 120×100 、フライホイールの外
径を 700mm と決定した。

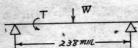
VII 駆動軸の設計

駆動軸の負荷状態を第八図の如く両端を自由
に支へられ中央に W なる荷重と T なるトルクを
受けるものと考へた時

$$P=FK=697.45 \times 10=6974.5\text{kg}$$

$$T=Pe=6974.5 \times 0.895=6200\text{kgm}$$

第8図



W による曲モーメント

$$M = \frac{P}{2} \times \frac{238}{2} = \frac{238}{4} P = 5.95P$$

$W=220\text{kg}$ (フライホイールの重量) とすると

$$M=5.95 \times 220=1320(\text{kg cm})$$

$$f_{dm,ax} = \frac{\sqrt{M^2 + T^2}}{\pi / 16 \cdot d^3} \quad f_{dm,ax}=900\text{kg/cm}^2$$

とする

$$d_1 = 16 \sqrt{M^2 + T^2} / f_{dm,ax} = 34.2$$

$$d=3.24\text{cm}$$

使用材料を SF44 $d=7.5\text{cm}$ とする。

$$S = \frac{4400 \times 7.5^3}{600 \times 3.24} = 26$$

K 駆動歯車の強度計算

本ロール機に於て駆動歯車に依つて駆動軸の
回轉数 90 を 30 に落して居る。又歯車の巾を 80
 mm 、大きさはモジュール 14 にとつた。力の最

大となる歯数 14 の歯車に於て半径は

$$a = \frac{168}{2} = 84\text{mm}$$

$$\therefore F = \frac{Pe}{a} = 700\text{kg} \text{ であるから}$$

力は第九圖に示す如く歯の先端に於て歯幅全体
に分布するものと考へた場合

$$f_b = \frac{6Fb}{Bt_0^2}$$

モジュール 14 の時

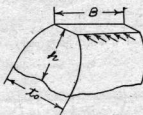
$$h=3.01991\text{cm}$$

$$B=8\text{cm}$$

$$t_0=2.1991\text{cm} \text{ であるから}$$

$$f_b = \frac{6 \times 700 \times 3.01991}{8 \times 2.1991^2} = 326\text{kg/cm}^2$$

第9圖



材料を SC41 とすると

$$S = \frac{4100}{326} = 12.5$$

X 結 言

本ロール機は鹿児島県奄美市仁方地区鍛造業者
に對する助成金に依り西日本重工業株式會
社、鹿児島精機製作所に於て製造することになつて
居る。吾々としては本機の完成の一日も速かなら
ん事を希望するものである。尚本機の設計に
當つては勝昌委員長を始め委員長の配慮に依り
田川博士より篤意なる御指導を賜つた事を厚く
感謝する。又日下場長及び東部製鋼の川田氏よ
り貴重なる助言を賜つた事を感謝する。

The author
marized as
At the raw
smaller aus
nching pro

鏡の製造工
した部門と云
の僅か4工程
難易更には製
のである。

然るに最近
た爲、焼鉄性、
製品の良品化
特に素材が便
(シャリングマ
で既に非常に作
る。

記 號
1
2
3
4
5
6

鏃の熱處理に関する研究

Research on the Heat-Treatment of a File.

第 1 報

(1st Report)

佐久間 安正

Y. Sakuma

久村 正子

M. Kumura

The authors studied on the raw materials of a file. The results obtained are summarized as follows:—

At the raw material contains a few ferrite strengthener (Cu, Ni, etc.) and have the smaller austenite grain grade, the annealing operation there for is easily, the quenching property therefore being better.

I 緒 言

鏃の製造工程は約17あり、此の内材料に關係した部門と云へば、精造、焼純、カクウチ、焼入の僅か4工程にすぎないが、之の良否は作業の難易更には製品の品質に重大の影響を及ぼすものである。

然るに最近、素材の品質が著しく低下して来た爲、焼純性、焼入性共に次第に不良となり、製品の良品化されるものが多くなつて來たが、特に素材が硬くなつた爲、先づ第一工程の切斷(シャーリングマシンで一定寸法に切斷する工程)で既に非常に作業に困難を感じてゐる現状である。

本報告は、現用數種の素材について、此素材の良否が熱處理に及ぼす影響を追求した結果である。

II 供試材料と實驗方法

供試材は炉會社から提供を受けたもので、第1表に示す様なものである。

1, 2, 3. は何れも堅硬で、製品の齒では切斷に困難を感じ、殊に3は切斷工具では切斷不可能で、砥石を用ひて切斷した。之等試料は直徑10mm、長さ10mmの圓筒状(6だけは直徑5mm)に仕上げた。

成分は上記の様で、C量も多少異つてはいるが、著しい特徴は不純物としての Cu, Ni, Cu を

第一表

記 號	形 狀	寸 法	化 學 成 分 %				
			C	Mn	Cr	Ni	Gu
1	丸	Ø 18%	1.10	0.47	0.32	0.33	0.65
2	×	Ø 15%	1.30	0.47	0.54	0.32	0.67
3	角	18.5 × 180%	1.29	0.47	0.55	0.45	0.79
4	×	13 × 13%	1.20	0.33	0.25	0.26	0.26
5	丸	Ø 20%	1.39	0.47	0.28	0.39	0.40
6	×	Ø 8%	1.28	0.30	0.41	0.20	0.46

何れも可なり多量に、無照出来ない程度に含有している事で特に Cu の含有量は著しく多量である。

次にオーステナイト粒度の検出方法は、最初學振制定の滲炭法でやつて見たが、鍛材の様な高炭素鋼には不向きで、改めて最も簡単な Acm 線以上の高温に加熱して後徐冷する所謂徐冷法を採用し、粒度の検出は學振法に準據し、擴大率 $\times 100$ の場合の 625 mm^2 中に於ける粒数を測定し、4箇所の平均を以て粒度番号とした。

焼純は試料を鉄管に入れ、グライ粉で試料を埋めてマッフル炉で加熱炉冷し、焼入は電気加熱の鉛浴中で 1 分間加熱し、常温の水道水中に焼入した。硬度の測定は、ロックウェル硬度計 (C 及 B) 及ミクロビッカース硬度計 (荷重 100g 及 1kg) の二種を併用した。

III 実験結果並に其の考察

1. 製造の歴

化學成分は第 1 表に示す通りで、試料 4 を除いては何れも Cr Ni Cu の含有量が非常に多く不純物の域を越えており、何れも單純な炭素鋼とは言ひ切れない成分のものである。

此横断面の顯微鏡組織は普通の高炭素鋼の夫であるが、試料 4 及 5 は粒界だけでなく、粒内にも結晶面に沿つてセメンタイトが射出状に析出している。

次に此素材の硬度と参考の爲に粒度を併せ測定した結果は第 2 表に示す通りである。即ち此素材の硬度と云うものが、炭素量とも粒度とも平行せず、むしろ炭素量の少い 1 及 4、或は粒の大きい 3 が比較的硬いと云う結果になつてゐる。

換言すれば此場合素材の硬度がバーライト部の硬度 (ミクロビッカースに依り測定) と平行する点から見ても、バーライトの一部を爲すフェライトの硬化が、素材硬化の大きな原因の一つになつてゐる様に考へられる。唯此内唯一の例外は試料 4 が硬度が高くなつてゐるが、之は此材料が最も加工硬化度が大きかつた点から見て之が原因であろう。要するに加工條件が略同

第 2 表

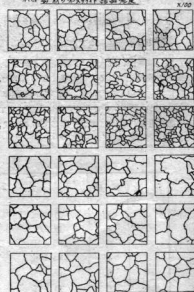
記號	ロックウェル C 硬度	ビッカース 硬度	硬度番號	Cu + Ni %
6	29.1	330	—	0.66
5	35.0	357	37.0	0.79
2	35.1	377	83.3	0.97
1	35.5	368	55.8	0.98
4	36.8	398	59.5	0.52
3	39.1	408	43.3	1.24

機であれば、フェライト硬化剤としての Cu 及 Ni 等を多く含有するもの程素材硬度は高い。

2. オーステナイト粒度

前記の様に徐冷法を採用、電気炉中で 1000°C に 1 時間加熱後炉中で徐冷したものについて、擴大率 100 倍で 625 mm^2 中に於ける粒数を數へ 4 箇所の平均値を以て オーステナイト粒度とした。此擴大圖は第 1 圖に示す通りで、顯微鏡組織を寫真 1~6 に示す。

写真 1 試料 4 オーステナイト組織写真



Cu + Ni %
0.66
0.79
0.97
0.98
0.52
1.24

Ca 及
無い。

1000°C
45T,
を數へ
度とし
鋼組織



写真 1 試料 1



写真 2 試料 2

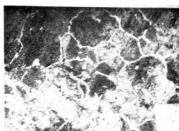


写真 3 試料 3



写真 4 試料 4

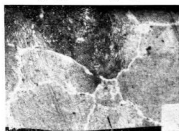
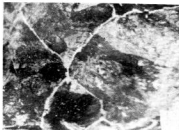


写真 5 試料 5

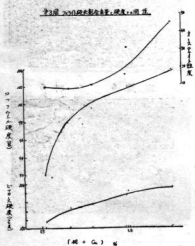
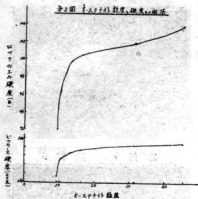


写真 6 試料 6



第 5 表

記 號	オーステナイト粒度	ロクタウエル B 硬度	ピッカース 硬度
1	16.3	100.2	287
2	31.4	101.9	292
3	45.4	103.8	295
4	9.4	92.0	257
5	10.3	99.5	277
6	8.5	99.6	273



尚粒度と硬度の関係及不純物 ($Cu + Ni$) 含有量と硬度との關係は第5表及第2~3圖に示す

以上の様に 1000°C で標準した結果について言へば、オーステナイト粒度は試料4, 5, 6が夫々約10倍後で最も小さく、試料2及3は比較的大きく、就中3は最も細粒である。

此オーステナイト粒度と硬度との關係は第二圖に示す通りで、粒が大きいもの程軟かく、粒

度10倍から硬度は急激に上昇し、粒度20をすぎると硬度には余り差はなくなる。又ツェライト硬化剤含有量の硬度に及ぼす影響は、第3圖に示す通りで、ロフタウェルとピッカースでは多少曲線の傾きは異なるが、要するに何れも之等元素の含有量の少いものが硬度は低く、前記粒度一硬度曲線と良く似た傾向を示している。

元來オーステナイト粒度を支配する因子には熔解炉の種類、熔解原料、熔解方法、脱酸剤の使用、不純物の多寡等色々あるが、上記の結果から想像される事は本試料の場合、粒度に及ぼす不純物の含有量の影響が相當大きい様に思はれる^{①)}。

従つて之から述べる諸性質に及ぼす影響と云うものが、その原因がオーステナイト粒度の差異に在るものか、或は又不純物の含有量の多寡にあるものか、本試験の範囲では之を詳にし得ないが、本試験の場合一應粒度の小さいものが又不純物の含有量も少ないと云う結果になつてゐるので、此兩者の総合効果が其結果に現はれるものとして以下述べてゆきたい。

3. 焼 鍋

焼鍋の難易を見る爲、 730 760 800 850 の各温度に夫々2時間及4時間加熱焼鍋したものについて実験したが、2時間も4時間も硬度には大差が無かつた爲、本報告に於ては2時間焼鍋の場合について述べる。但し試料6は素材寸法が小さく、直徑5mmの試料しか取れず、他の試料(直徑10mm)と大きさが異なる爲、次の焼入の場合をも含めて、其結果は一應の参考とするに止める。顯微鏡組織の一例として 760°C 2時間加熱のものを寫真第7~12に示し、試験結果を第4~5圖に示す。

顯微鏡組織は4を除いては何れも大同小異で即ちオーステナイト粒界の初折セメンタイトは温度が上昇し時間が長くなると共に、次第に丸味を帯びて切れ切れになり、球状化の過程にある事を示し、粒内のペーライトは粗かくソリビテックバーライトとも云はれる組織で、一部球状化はしているが全体として所謂球状セメント

写真 7 試料 1



写真 8 試料 2

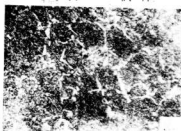


写真 9 試料 3

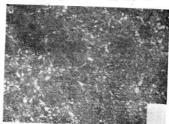


写真 10 試料 4

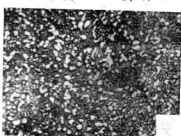


写真 11 試料 5

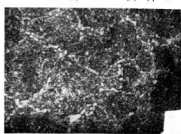
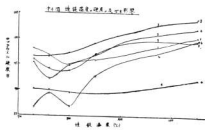
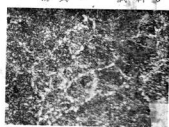
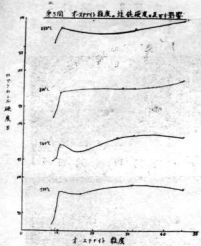


写真 12 試料 6





りからは②) 又硬くなつてゆく傾向がある。

オーステナイト粒度との関係は第5圖に示す様に、焼純材の場合と同様に粒度の小さいものが硬度は低く、粒度10倍で硬度は急に増加し、10をすぎると徐々に増加してゆく。

本結果に依れば、粒度の小さいものが焼純硬度も又低く、従来の説²⁾と逆な傾向にあるが、之も最初に述べた通り不純物の影響が可なり強いから、粒度の影響と云うより不純物含有量の焼純硬度に及ぼす影響と言つた方が妥當かもしれない。

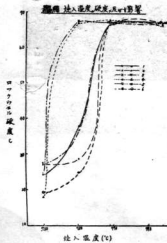
4 焼 入

730 750 760 798°C の各温度に、鉛浴中で1分間加熱後水冷したものについて試験した。768°C の顕微鏡組織を寫真13~18に示す。

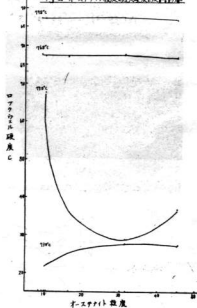
焼結の場合と同様に、4以外のものの組織は各温度共何れも同様で、オーステナイト粒界の

イオ組織にはなつていない。此中では5及6が比較的球状化が容易な様に見える。4は最も球状化が容易で、760°C で既に初折セラニタイトが稍多角形をしている他は略球状化している。硬度は第4圖に示す様に、750~800°C の範囲が最も軟かく、球状化温度の上限に近い850°C 透

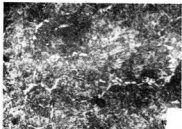
第6圖



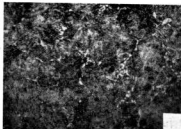
第7圖 オーステナイト粒度と焼入温度との関係



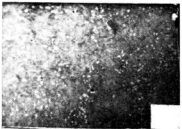
寫眞 13 試料 1



寫眞 14 試料 2



寫眞 15 試料 3



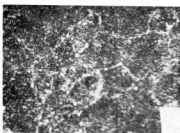
寫眞 16 試料 4



寫眞 17 試料 5



寫眞 18 試料 6



初折セメンタイトは、オーステナイト中への溶解不十分の爲め切れ切れになつた像で残留している。4は球状セメンタイト組織に類似しており、基地の組織は低倍率の顯微鏡ではつきりしないが焼入硬度はロックウェルCで67位となつており焼きは十分入つてある。

硬度の測定結果は第6～7圖に示す通りで、試料4及5は750°Cで既に焼きが入つているが其の他のものは、768°Cにならねば焼きが入らない。

即ち焼成性は4及5が最も大きく、最高硬度は何れもロックウェルCで67前後である。

III 結 言

以上本實驗は限られた試料について行つたもので、之だけで結論を下すと云う事は稍早計のそしりは免れない様であるが、大体の結果を取締めて見ると凡そ次の様である。

1 素材硬度は熱間加工終了温度が同一であれ

ば、フェライト硬化剤(Ca, Ni等)を多く含有するものは程硬く、Crも亦炭化物をつくるので、硬化の一要素となる。

2 不純物(Ni, Ca, Cr)が多いものは、オーステナイト粒度が大である。

3 オーステナイト粒度が小さく、又不純物の少いものは程軟い。

4 焼成後の硬度は粒度の小さいもの程低く、粒度10を超えると急に硬くなる。即ち焼成はオーステナイト粒度の小さいもの(或は不純物の少いもの)が容易であり、且到達硬度も低い。

5 焼成温度は、750～800°Cが通常である。

6 焼入性も焼成と同様の傾向で、4, 5は750°C 1分間の加熱で十分焼きが入る。

7 本試験の範囲では、4が最も優秀であり5は略に匹敵するが、3は最も劣る。

文 献

- 1) 岡本正三: 日本国金属學會誌, 14(1950)23
- 2) 村上武次郎: 日本国金属學會誌, 14(1950)
- 3) 村上武次郎: 日本国金属學會誌, 6(1942)101

101 1951
Sewing

縫針の研究

Research on Sewing Needle

第1報

(1st report)

佐久間 安正

Y. Sakuma

久村 正子

M. Kumura

Sewing needles of home-made is markedly inferior to that made in England in regard to accuracy of dimensions, quality of material, and plating.

According to this results, a future investigating problems are summarized as follows: —

1. Shape of head
2. Accuracy of dimensions
3. Uniform cementation
4. Methods of quenching and tempering
5. Reconsideration of roll polishing
6. Prevention of oxidizing loss at annealing
7. Improvement of plating

I 緒言

本邦の縫針製造工業は其の生産量に於て、全國の80%以上を輸出に依存しているもので、現在その直面する最大の問題は、輸出の確保振興と云う問題である。

所で海外に於て優秀なる諸外国製品と競争する前に解決されねばならぬ第一の問題は、品質の向上である。即ち現在の機械装置或は製造方法の何れも、一應の限界点に達してはいるが、尚未だ企圖原理の面に於ては幾多の解決すべき点が残され、今後の創意的な飛躍を望む爲には之をも併せて勇敢に断る限界点の突破を敢行しなければならない。

當試験場に於ては、製針工場に於ける現在の製造方法を改良すると共に、更に品質の面から

も之を諸外國製品に劣らぬ重要輸出品の一とする爲の研究に着手した。

先づ第一に現況の調査を行つた結果を、本報告に於て述べる事とする。

II 製造工程

縫針の製造工程は、會社に依つて若干の差はあるが、一例を挙げると大体第1表に示す様なものである。

第1表に挙げた工程を算計して見ると、次の第2表に示す様に各種研磨及成型が全工程の約半を占め、ロール研磨に最も長時間を要する。

第 1 表

順序	名 称	内 容	順序	名 称	内 容
1	切 断	素線を切断機に依つて 2 本分の長さに切断	13	専 研 廉	9 と同様にして油を除去す
2	地 燃	坩埚中で無煙炭に依り焼純(爐直を兼ねる)	14	(清 淨)	
3	尖 頭	尖頭機で両端をざつと尖らせる	15	(ゆすり)	
4	(仕上尖頭)	尖頭の仕上をする	16	分 類	後先をそろへる
5	中間研磨	線の中間に研磨して酸化被膜を除去する	17	研磨先付	先端研磨の仕上をする
6	高 速 度	高速度三連機に依つて針の格構をつける	18	長 短	長短を適り分けて長さを揃へる
7	上指研磨	針の耳部を研磨して返りを除去する	19	バッキン	バフ研磨
8	金 掛	木炭に依る滲炎、油焼入(焼炭)	20	鍍 金	ニッケル鍍金
9	専 研 廉	タンブラー中に鋸屑を入れ、回轉して油を除く	21	(長 短)	
10.	清 淨		22	(バ フ)	仕上のバフ研磨
11	ゆ す り		23	計 数	数を揃へる
12	ロール研磨	針を束にして研磨剤及油を加へ、ロールの間で研磨	24	包 装	

註 1 ()は一部工場で實施しているもの

2 鍍金は輸出用の一部にだけ實施して其他は行はず

第 2 表

成型	研磨	熱處理	補助工程	検査	包裝	合計
6	6	2	5	3	2	24

此内熱處理は、之を更に細分すると 4 工程となり、検査は所謂検査とは著しく趣が異り、單に針の選別にすぎない。

III 縫針用材料

素材工場は大体紗戸製鋼を中心としたものであるが、製線工場になると極めて其の數が多く從つて使用する素線も亦千差万別で、形状、寸法の一一定したものが得られないであろう事は想像に難くない。之も亦製品の品質不良、不均一の一原因となつてゐる。

素線の化學的組成の一例は第 3 表の通りで、之を焼純軟化して成型加工し、最後に滲炎させて炭素量を、0.5%前後のものとするのである。

第 3 表

C	Si	Mn	P	S	Cu
0.12	0.16	0.54	0.020	0.020	0.27

II 試験結果

1. 化學成分及顯微鏡組織

製品の炭素量の分析結果は、第 4 表に示す様に、國內製品は 0.4~0.7% の間で、可なり相違しているが、大体英國の 0.58% と類似したものである。唯今一つの英國製品は 0.23% で意想外に少い。

顯微鏡組織は、國內製品は何れもマルテンサイト組織であるか、英國製品は何れも粒性のある焼戻ソルバイト組織である。

即ち外國製のものは、何れも十分焼戻が効いているが、國內のものは焼戻をしないもの、或は焼戻をしても操作が悪く焼戻効果が現はれな

第 4 表

會社名	A	B	C	D	E	F	G	英國	英國
炭素量%	0.57	0.55	0.52	0.73	0.65	0.45	0.55	0.58	0.23

いものの二種となつてゐる。

2. 形 狀

直徑及長さの測定結果は第5表の通りで、佛國製のものは國內製と大差はないが、英國製は極めて優秀である。尚國內製品の直徑に可なり

の差があり、且素線の直徑より著しく細くなつてゐる。大きな原因の一つとして、焼鍛の際の酸化による直徑の減少が考へられる。尚此結果は製品一隻から任意に抽出した五本の針について調べたものである。

第 5 表

記 號	A	B	C	D	E	F	G	英	佛
素線の直徑%	0.86	0.86	0.86	0.86	0.86	0.86	0.86	—	—
直 徑 %	最大	0.827	0.830	0.816	0.832	0.828	0.807	0.831	0.607
	最小	0.797	0.826	0.807	0.821	0.818	0.790	0.820	0.607
長 さ %	最大	44.2	48.6	46.1	48.7	47.9	48.3	47.7	34.4
	最小	43.7	48.3	45.7	48.4	27.1	47.5	47.0	34.4
	差	0.5	0.3	0.4	0.3	0.8	0.8	0.7	42.1

針孔の形状は國內製も外國製も大差はないが、寸度的には英國製が稍優れている様である。
次に針孔の中心線に対する偏心率(偏心量 × 100)
を求めてみると、第6表に示す様に國內製も外

國製も大差はない。

次に第1～第3圖の先端及針孔部の拡大圖に示す様に、形状で最も注意すべき点は其の先端である。即ち國內製品の先端は極めてシャープ

第 6 表

記 號	A	B	C	D	E	F	G	英	佛
偏 心 率	3.33	0.99	1.12	2.08	1.30	2.64	1.69	0.74	1.25

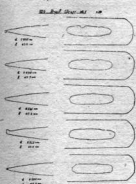
な鋭角をして居る爲、簡単な機械的ショックに依つても、先端が鉗型に曲つたり、潰れたりするものが非常に多い。然るに外國製殊に英國製品は何れも美しい鈍角をしている爲、先端が機械的に變化する恐れは非常に少い様に思う。實際に複数製品を並べた場合を擴大して見れば良く判る事であるが、針は経糸と横糸が織りなすゴパン目の中间を通つてゐる。即ち針先が鈍角であれば、若し針先が織縫に衝きあたつても之を並べてゴパン目の中间に滑つて入るが、反

對に鋭角を爲していると、針先が織縫に當つてもすべりが悪く織縫を切斷してしまう。殊に外國人の手縫の方法から考へても、此點は可なり重要な問題を提供するもので、今後輸出針の製造に當つては此點について再検討する必要がある。

以上の結果から、個々に注意すべき点をあけると

直徑……素線吟味及燒鍛の際の酸化の防止
長さ……切斷機の調整及尖端の際の削りす

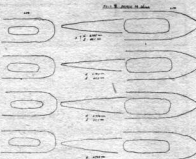
第1圖



第2圖



第3圖



きを注意する事

針孔の形状寸法……錐の材質改良と形状

針孔の傷心……高速三連機の調整

先端の形状……尖頭及先付の改良

3. 機械的性質

一端支持の片持架装置（先端部を固定し、他

端の針孔に水槽を吊し徐々に水を加へて行く）を使用し、切斷の際の荷重から最大曲げ應力を算出し、其の時の撓みの測定と併せて、機械的性質判定の資料とした。結果は第7表に示す通りで國內製品は英佛製品に比べて一般に彈力性が少く、破面はかなり粗いもののが多かつた。

第7表

記 號	B	D	E	F	G	英	佛	英
最大曲げ應力 kg/mm ²	35.46	33.40	30.75	37.36	37.10	44.69	32.05	26.33
撓 み mm	13.9	11.9	10.7	13.8	12.9	15.9	13.8	9.7

4. 腐蝕試験

Royal Sharp 細の針を水道水及3%食塩中で1~4週間浸漬腐蝕試験を行つた結果は、第8~第9表に示す如く、各社共著しい差はないが、

唯何れも素線より耐蝕性が劣つてゐる。此原因としては色々あらうが、其の原因の一つとして、素線の表面部に冷間加工に基づいて生じたペイルビーアー層と云ふ様なものが大きな影響を及ぼして居るのであるまいかと思はれる。

第8表 水 道 水

記 號	二 週 間	三 週 間	四 週 間
B	6.81	10.48	13.45
D	6.12	11.22	13.63
E	7.32	10.75	13.22
F	7.16	10.60	13.22
G	7.10	11.62	14.54
素 線	5.55	9.06	11.74

第9表 3% 食 塩 水

記 號	一 週 間	二 週 間	三 週 間
B	3.16	6.85	10.38
D	2.95	6.60	9.99
E	2.97	6.82	10.40
F	2.97	6.76	9.19
G	3.02	6.96	9.23
素 線	2.39	5.12	7.75

5. 鎌金試験

鎌金の良否を検査する爲フェロキシル試験を行つたが、英國製品に比べて國內製品は結果が極めて不良で、全面にフェロシアン化鐵の青色斑點を生じ、全然此數を數へる事は出來ない程度であつた。

V 結 言

以上試験結果を要約すれば、國內製品は色々の點で外國製品に劣り、英國製のものは特に良

好であつた。

本結果に基づき、今後研究すべき點を列挙すると次の通りである。

- 1 先端の形状
- 2 寸法の正確さ
- 3 漆喰の均一
- 4 焼入焼戻を誤らぬ事
- 5 ロール研磨の再検討
- 6 焼純の際の酸化防止
- 7 鎌金の改良

縫針の研究

Research on Sewing Needle

第2報

(2nd report)

佐久間 安正

Y. Sakuma

久村 正子

M. Kumura

The authors studied on cementation at the time of sewing needle manufacture. The results obtained are summarized as follows: —

- At cementation, charcoal of a coarser grain size is preferable within range of this experiment.
- 10~20% Na₂CO₃ or NaHCO₃ should be preferably used as cementation accelerator as long as present method will be continued.
- Depth of cementated layer and volume of cementation increases as cementating temperature becomes high with lapse of time.
- Necessary temperatures and times for specific structure are as next table.

accelerat ^a adding vol. %	structure	temperature a time		C %
Na ₂ CO ₃ 10%	C+P	900°C	120min	1.08
	P+F, P	900°C	60min	0.77
	F, P+F, P	850°C	60min or 900°C 20min	~0.50
Na ₂ CO ₃ 40%	C+P	900°C	120min	—
	P	900°C	60min	—
	P+F, P	900°C	30min	—
Na ₂ CO ₃ 10%	P+F	850°C	10min	—

I 緒言

第一報に於て述べた様に、現在の縫針製造工場に於ては、鉄線を所要の形状に加工した後、之に塗炭焼入を施して所定の強度を與へている。

斯様に塗炭焼入の工程と云うものは、質の面から考へると、實に縫針の死命を制する程の重要性を有するにも拘らず、此面の研究は比較的おろそかにされ舊態依然たる方法と從業員の勘とに頼つてゐる状況である。

塗炭に関する研究は可なり多く塗炭理論も亦或程度体系づけられてはいるが、縫針の様な直徑 1mm 前後の細い線に就いての研究は余り無い様であり、又從來の研究結果を其のまま之に適用し難い點もある様に思はれるので、第一報の現況調査に引き續き本研究を始めた。尚塗炭剤としては大別して固体、液体、氣体の三種類があるが、先づ現用の而も最も普通に使用されている固体塗炭剤を採上げて之に就いて研究

した。

II 供試材並に実験方法

1. 供試材

供試材としてはC0.12%、直徑0.84mm(粒度の影響及促進剤の影響)及1.0mm(温度及時間の影響)長さ50mmの普通の鐵線を使用した。

2. 実験方法

木炭は黒炭で一回の使用量は20grに之に夫々適當な促進剤を加へて内径28mm長さ100mmの鉄管中に詰め兩端を水硝子でとかした粘土で密封した。

因に鐵線は一回につき、20本完使用した。

之を電気マッフル爐中で所定の温度及時間加熱した後、炉中冷却して実験に供した。

實験には重量増加率、繰返屈曲回数、ミクロピッカースによる断面硬度の測定並に化學分析及顯微鏡検査を併用した。

III 實験結果と其考察

1. 木炭粒度の影響

先づ最初に木炭粒度が滲炭効果に及ぼす影響を見る爲、市取の黒炭からタイラー篩振器に依つて6, 10, 20, 28, 48メッシュの5種類の粒度のものをつくり、此20grをとつて、此中に供試材料を埋めた後、900°Cに2時間加熱後炉中冷却した。

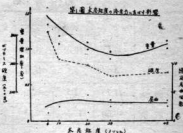
最初木炭單獨で之に滲炭促進剤を加へない場合は殆んど滲炭せず、組織もフェライトの地に僅かのペーライトが存在する程度で、希望する木炭粒度の影響を明かにする事が出来なかつた。

從つて次に加瀬博士の創製になるTK滲炭剤(BaCO₃ 10% Na₂CO₃ 5%)を使用して同様の實験を行つた結果は第1圖に示す通りで、本實験の範囲では木炭粒度の粗いものの方が滲炭力は大きく、6メッシュのものが最も良好であつた。

尙此組織は何れも超共析組成の、初析セメントタイト及ペーライトからなるものであつた。

本結果に従ひ次の實験から木炭粒度は6メッシュに一定した。

第1圖



シユに一定した。

2. 促進剤の影響

促進剤としては、從來の研究に依れば炭酸塩(例へば BaCO₃ Na₂CO₃ 等)が最も有効の様で之等を色々組合せたものが發表され、中でも加瀬博士のTK滲炭剤、石澤博士の方法(I)(BaCO₃ 20~30 Na₂CO₃ <10 木炭60~70)が著名で近くは輕便且安價に作業の出来る鋸屑を利用する方法等非常に種類も多いが、BaCO₃は比較的高價で、現在製針工場に於ては主としてNa₂CO₃及NaHCO₃が使用されている。

本實験に於ては、之等代表的な方法と同等にNa₂CO₃及NaHCO₃を10~50%の間で10%置きに量を變へたものについても比較試験をした。尚断面の硬度分布の測定は計の断面について表面から0.1mmあきに測定した結果である。實験結果は第1表及第2~第5圖に示す。

A 木炭のみで促進剤を添加しないものは顯微鏡組織に依ると、極少量のペーライトが見えるが、分析結果が示す通り殆んど滲炭しないものと思はれる。

B 速成法或は鋸屑法の様に鋸屑を使用したものは何れも鋸屑は焼け盛り、食塩或は炭酸ソーダが試料の表面に焼附着している。

速成法はC0.13%で中心部にはペーライトを見る事も出来るが、重量が減少してゐる点より見て、表面が酸化剤脱したものではないかと思う。

C 製針業者の殆どが採用している、木炭

第 1 表

名 称	重 量 増 加 率 %	繰 回 曲 回 數	炭 素 量 %	表面硬度 (ビッカース 100gr)	組 織	備 考
木炭のみ	0.31	19.0	0.12	132	フェライト ペーライト	—
T K 法	0.85	2.5	0.71	305	ペーライト フェライト	$BaCO_3$ 10 Na_2CO_3 5
石 漬 法	1.20	1.5	0.90	254	ペーライト	$BaCO_3$ 25 Na_2CO_3 5
速 成 法	-0.60	14.5	0.13	186	フェライト ペーライト	木炭 $\frac{1}{2}$ 食塩 $\frac{1}{2}$ 鐵屑 $\frac{1}{2}$
鐵 屑 法	5.76	10.5	0.90	288	ペーライト	鐵 屑 90 Na_2CO_3 10
炭酸ソーダ	0.74	3.5	0.69	188	ペーライト フェライト	Na_2CO_3 10
〃	1.65	0.85	0.94	252	ペーライト セメンタイト	〃 20
〃	1.76	1.15	0.95	265	〃	〃 30
〃	1.45	0.4	1.16	301	〃	〃 40
〃	1.47	2.1	1.00	334	〃	〃 50
重 曹	0.72	3.0	0.69	185	フェライト ペーライト	$NaHCO_3$ 5
〃	0.98	2.8	0.76	194	ペーライト	〃 10
〃	1.80	0.3	1.13	256	ペーライト セメンタイト	〃 20
〃	0.90	0.1	1.07	264	〃	〃 30
〃	2.00	0.4	0.84	293	ペーライト	〃 40
〃	1.87	0.5	0.99	303	ペーライト セメンタイト	〃 50

I 升重曹 5%と云う方法は、大体第1表の重曹 5%の場合に近く、C 0.6%で現在の針製品の最高炭素含有量と略等しく、組織はペーライトに少量のフェライトが混つたものである。

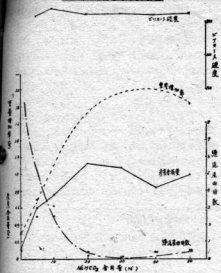
D 石漬法では C 0.9%で共折組成になつてゐるが T K 法は直共折組成で塗炭量が意外に少いが、之等 $BaCO_3$ を使用する特徴は別に塗炭能力の持続性即ち繰返し使用しても、塗炭能力の減退が少ないと云う点にある。然し現工程の際に針を塗炭剤と共に油中に投入し、從つてその使用回数が一回に止る場合は別に持続性を問題にする必要はなく、此點からすると高価な $BaCO_3$ の使用は避ける方が有利である。

E 重曹及炭酸ソーダを使用したものの結果

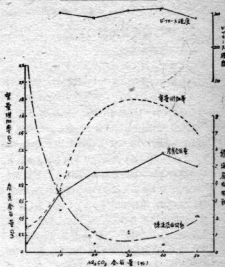
は第2圖及第3圖に示す通りで、両者の性能には大差がない。何れにしても、超共折又は共折附近の組成にするには、此試験温度及時間の範囲では、20~40%添加が適當で直共折組成を求めるならば10%前後の添加で十分である。然し Na_2CO_3 の融點は $852^{\circ}C$ で、之より高溫に加熱する場合は試料に融着固化し其の後の處理を困難にするがら、 $900\sim950^{\circ}C$ で塗炭するなら此もの使用は出来るだけ少い方が望ましい。

F 以上の結果から、現在の様に針を塗炭剤諸共焼入油に投入し塗炭剤の再使用を考慮しなくても良い場合は、塗炭能力及價格の點から高価な $BaCO_3$ の使用は避けて、 Na_2CO_3 又は $NaHCO_3$ を 10~20%使用すれば十分である。但

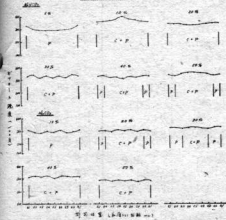
第2圖 NH_4CO_3 含量與水頭



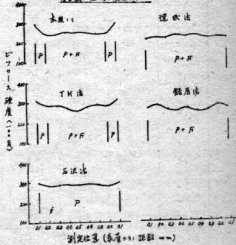
第3圖 NH_4CO_3 含量與水頭



第4圖 水頭-沉積物



第5圖 水頭-沉積物



し今後若し作業方法が變つて、滲炭剤の繰返使用を考へねばならなくなつたら、其時改めて $BaCO_3$ の使用の問題を再考慮すべきである。

3. 滲炭温度及時間の影響

滲炭の温度及時間が増せば滲炭量が多くなる、と云う事は、良く知られた事である。

然し從來の研究の多くは、比較的大きな試料に就て行はれたもので、例へば 0.5mm 滲炭させる爲に、850°C 8時間、900°C 4時間、950°C 2時間夫々加熱すれば十分であると云う結果もあるが、鍛針の様な直徑 1mm に満たぬ細い線について、此結果が其適用されるかどうかと云う点には些か疑問もある。即ちもつと容易に中心滲炭するのではないかと思はれる。本實驗に於ては、鍛針用鋼線の滲炭に最も適した温度と時間を探求する目的で、前項の結果に従ひ促進剤としては 10% Na_2CO_3 を使用し、850, 900, 950 の各温度に夫々 10, 30, 60, 120, 180 分加熱滲炭して同様の實驗を行つた。其結果は第 2 表及第 6 圖に示す通りである。

第 2 表 (Na_2CO_3 10%)

温度 °C	時間 分	重量増加率 %	繰返曲回数	ピカース硬度 (表面より 0.1%)	組 織
850	10	0.13	8.5	252	F, F+P P
〃	30	0.34	5.0	237	〃
〃	60	0.48	2.7	280	〃
〃	120	0.67	2.3	283	〃
〃	180	1.01	1.4	304	F+P P
900	10	0.29	6.3	261	F, F+P P
〃	30	0.57	2.6	266	〃
〃	60	0.74	2.1	288	F+P P
〃	120	1.17	1.3	296	C+P
〃	180	1.47	1.2	312	〃
950	10	0.36	4.7	283	F F+P P
〃	30	0.62	2.5	287	〃
〃	60	0.87	1.4	329	F+P P
〃	120	1.27	1.0	370	C+P
〃	180	1.47	0.8	370	C+P

F: フェライト P: パーライト C: セメンタイト

1 850°C の場合

2 時間迄は中心部はフェライトの儘であるが 3 時間でやつと中心部は滲炭して来る。即ち時間と共に、パーライト及パーライトとフェライトの層が廣くなり、フェライト層は反対に狭くなつて来る。唯何れの場合も時間と共に結晶粒は大きくなつて来るが、此傾向も 900°C の場合程著しくはない。

2 900°C の場合

30 分をすぎるとフェライト層はなくなり、1 時間迄はパーライト及パーライトとフェライトの層が次第に廣くなり、之が 2 時間以上になると中心部超共折組成の(初折セメントイト及パーライト)組織となる。唯何れの場合もフェライト及オーステナイト粒の大きさは時間と共に大きくなる。

3 950°C の場合

900°C の場合と略同様の傾向であるが、パーライト層は 900°C の場合より廣く、フェライト及パーライトとフェライトは 900°C より狭い。

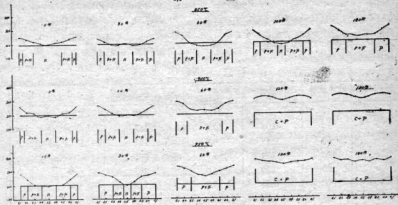
4 温度及時間は何れも滲炭に影響を及ぼす

因子ではあるが、その作用は同様ではなく、湿度は擴散速度に影響し、時間は滲炭層の深さに影響し、此綜合効果が結果として現はれて来るのである。

例へば同一の組織にするのに、温度が進へば所要時間も次の様に可なり變つて来る。

5 第 6 圖に示す様に、時間が長くなると共に温度の影響は少くなり、温度が高くなると共に時間の影響が

第 6 圖



組織	850°C	900°C	950°C
P P+F	180分	80分	60分
P P+F F	60分	30分	10分

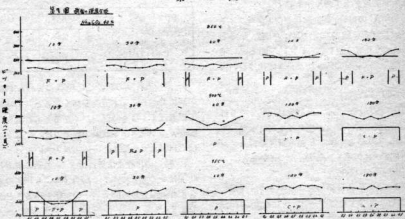
少くなる。要するに温度が高く時間が長くなると共に硬くなる。即ち滲炭層の深さは増し、滲炭量も増して来る。本実験に於ける様な温度と時間の範囲では、温度の影響よりも時間の影響

の方が大きい様である。

6 特定の組織にするに要する 最適の温度と時間は次の表の通りである。

組織	温度及時間	炭素量 %
G+P	900°C 120分	1.08
P+F P	900°C 60分	0.77
F P+F P	850°C 60分又は 900°C 20分	~0.50

第 7 圖



7 促進剤の影響の項で述べた様に、現行塗炭法に依ると、塗炭後の組織は (P, P+F) となつてゐるが之を更に軽性のあるものにする爲には中心にフェライトを残した組織にするか、又は共析組成 (C+P) にして、焼戻して軽性を

與へるかの二方法があるが操作の面略と云う点からは前者も面白いのではないか。

次に Na_2CO_3 10% の場合と比較の爲、 Na_2CO_3 40% の場合に就て同様の実験を行つた結果は第 3 表及第 7 図に示す通りである。

第 3 表 (Na_2CO_3 40%)

温度 °C	時間 分	重量増加率 %	繰返曲回数	ピッカーリ硬度 (表面のみ 0.1%)	組織
850	10	-0.05	21.9	141	F+P
〃	30	-0.05	19.6	157	〃
〃	60	0.15	6.6	161	P P+F
〃	120	0.29	5.7	221	〃
〃	180	0.29	4.4	243	〃
900	10	0.24	17.3	153	〃
〃	30	0.76	5.4	245	〃
〃	60	1.44	3.1	286	P
〃	120	1.56	2.3	302	C+P
〃	180	1.51	1.9	297	〃
950	10	0.53	9.8	274	P P+F
〃	30	0.99	2.8	286	P
〃	60	1.31	2.4	293	〃
〃	120	1.60	1.8	277	C+P
〃	180	1.96	1.2	275	〃

1 Na_2CO_3 10% の場合と異り、850°C 10分で既に中心迄塗炭する。即ち促進剤 Na_2CO_3 の増加は焼戻速度を増す効果がある。

2 850°C の場合、30分迄は全部 (フェライト及びペーライト) 組織であるが、60分になると表面にペーライト層を生じ、之は時間と共に増してゆく。結晶粒の大きさには余り變化はない様である。

3 900°C の場合

10分で既にペーライト層を生じ、60分で全部が共析組織に近くなりペーライトだけとなつてゐるが、120分をすぎると超共析 (物極セメントイト及びペーライト) 組織となつてゐる。

4 950°C の場合

10分で900°C 30分の場合よりペーライト層は廣くなり、30分で全部ペーライトになり、120分になると超共析組織になる。

5 同一組織にするに要する時間は、温度に依つて次の様に變る。

組織	850°C	900°C	950°C
P, P+F (Pの方が多い場合)	180分	30分	< 10分
P, P+F (Pの方が多い場合)	60分	10分	< 10分

6 溫度及時間の影響は、10% の場合と同様の傾向である。即ち温度が高くなると共に時間の影響は少くなり時間が長くなると共に温度の影響が少くなる。本試験の範囲では、やはり温度の影響より時間の影響の方が大きい。

7 特定の組織にするに要する最適の温度と時間は次の通りである。即ち Na_2CO_3 10% の場合より低溫且短時間で同一の組織を得ることができる。

組 織	C+P	P	P P+F	P+F
温度及時間	900°C 120分	900°C 60分	900°C 30分	850°C 10分

III 結 言

鍶針の滲炭作業に及ぼす木炭粒度、滲炭促進剤の種類、滲炭温度及時間の影響等について実験した。結果を要約すると次の通りである。

1 木炭粒度は本実験の範囲では、粗いものの方が結果は良好で、6 メッシュのものが最も滲炭力が大であった。

2 滲炭促進剤としては、滲炭能力及價格の

両方から見て、現行作業法を權衡する限り、 Na_2CO_3 又は NaHCO_3 10~20% の使用が適當である。

3 滲炭温度が高く且時間が長くなると共に滲炭層の深さは増し、且滲炭量も増して来るが本実験の範囲では温度の影響より時間の影響の方が大であった。

4 特定の組織にする要する温度と時間の關係は次の表の通りである。

促進剤及添加量 %	組 織	溫 度 及 時 間	炭 素 量 %
Na_2CO_3 10%	C+P	900°C 120分	1.08
〃	P+F, P	900°C 60分	0.77
〃	F, P+F, P	850°C 60分又は 900°C 20分	~0.50
Na_2CO_3 40%	C+P	900°C 120分	—
〃	P	900°C 60分	—
〃	P+F, P	900°C 30分	—
〃	P+F	850°C 10分	—

文 献

- 1) 石澤博士：鉄 と 鋼 14 (昭3) 296
- 2) 上田治作：金 屬 學 會 誌 A14卷, 2號 (1950) 13, 14
- 3) 桥本久雄：金 屬 20卷, 7, 8號 (1950) 74

ミシン針の研究

Industrial Research on Sewing Needle

小川逸司

I. Ogawa

中村哲吉

T. Nakamura

Report on the investigation as to the present condition of sewing needle manufacturing process, its materials and products by use of which good quality of the item and mass production can be secured.

第1報

1st Report

ミシン針の現況

The present state of sewing needle manufacturing process

We made a research on the present state of needle manufacturing process in Hiroshima Prefecture and resultantly as follows:—

1. Low-carbon steel, not in conformity to gauge and low-priced, is used as materials.
2. Treatment of tools is bad.
3. Products are not uniformly made and not conformity to the gauge.

The followings be recommended for improvement of the qualities of the manufacture.

1. High-carbon steel (0.8C) as annealed to 200 V. H. be used materials.
2. For swaging machine, ricipro-type is better than rotary type.
3. For milling, the under cutting system be preferable.

I 緒言

ミシン針は鍛針と共に廣島地方特産品として相當多量に製造されてゐたが、原子爆弾にてその工場施設は破壊されて戦後の産業復興にいち早く順應し以前に勝る活況を呈して來たものの、その殆んど大部分は品質の低下と工作法の不完全と相俟つて品質は良好と稱し難い。一方東京ではミシン工業會に於ても特にミシン針技術部會を設けて、これが品質の向上を計る

可く家庭用ミシン針用鋼線規格、家庭用ミシン針規格の決定を見た。又昭和25年1月にはミシン針の審査會が行われ第3回ミシン針技術部會（昭和25.3.14）に於ては工業標準化法に基き國內の製造の目やすとなす國内規格の制定、昭和26年早々には通産省主催のミシン針審査會等積極的な討議研究が行われ、處々の試験場、研究所も又これが機本的研究に着手して居り、各業者も自身に於て夫々研究工夫はしてあるものの依然たる獨り良かりの家内工業の域を脱しな

い状態である。

ミシン針の研究は合理的な寸法形状と適切な材料調査、精巧な工作との三つに歸結するが、當試験場に於ては取り取れず品質を戰前のままで復歸せしめ次に現在の非能率的な製造法を改めて新工作法による量産化を計り、製品の検査と相俟つて最も有望な輸出品たらしめ、以て郷土産業の復興を招來すべく研究の必要を痛感し先づその現況調査から着手した。本報告に於ては現況と當試験場に於ける二三の調査結果を述べ若干の改良意見を述べる事とした。

II 廣島地方に於けるミシン針

廣島地方に於けるミシン針の製造は針針の機械による製造とは別に昭和2年頃より初まり、昭和8年頃には米國シンガーカー社の針と競争し廣島陸軍被服廠を始め相當大量に現在の東亜ミシン針（横山藤氏）が國內需要に應じ更に日本ミシン針、興亜ミシン針等今次大戦では盛んに活躍して來た。特に後者の二社は戰時中工場を開設して居た爲に原子爆弾の影響も受けず、戰後の立ち直りも早く現に廣島地方に於ては最もも大きな工場として活動して居る。その他現在廣島地方には20社に余る工場があり生産能力も月産300万本の多きに達して居り、中小企業としての本業は益々盛んとなり各社が種々な商標のもとに多量の製品を产出してゐるもの、工作法は最近に至り熟練に電気炉又は高周波爐を使用する様に改良されたに過ぎず、工員も熟練工が散在した結果技術が拙悪となり、機械類の調査思ひしくなく製品として推奨するに値するものは甚だ少い様である。而して各業者共に根本的解決策は講ぜず姑息的な手段のみ選び技術は工員任せの家内工業の一角にとちこもつてゐるに致し戰時中東亜ミシン針より技術移管を受けた日本国内の他社の復興は甚だ怠にして、且つ大企業化されつつある。從つてこのまま推進すれば海外輸出はもとより業者の中には其何れするやも計り知れぬ状態のものもある。

III ミシン針の種類

ミシン針はミシンが異なる毎に型があり、サイズも又織物の變化によつて變るのであるが、大きく分類して布用と革用とに分けられる。前者は丸針と稱して尖端の形狀が圓であるが、後者は平針とか菱針とか稱して尖端の形狀が扁平又は菱形である。両者の相違は丸針が点状に突いて孔を作るので比て菱針は線状に切つて之を擴げる。丸針で布地を縫つた所を見るに糸が四方に押しひけられてゐるが、菱針で縫つたものは糸が切断されてしまうので布地のためによくない。然し革の場合は之と全く逆である。菱針の場合は革が切れてるので針が戻つて孔が閉じる時に逸れないが丸針によつて生じた孔は周囲が引きちぎられてるので孔が美しく閉じない。又一般に革の抗張力や伸びは頭尾方向と之に直角な方向の抗張力が $200\text{kg}/\text{cm}^2$ 伸4.4%が $140\text{kg}/\text{cm}^2$ 87%の相異を示し、この方向性のために丸針で突きあけた孔は通常丸くならず鋸歯形となる。即ち頭尾方向と直角に裂目を生ずる。從つて縫う方向によつて糸がこの裂目に入つて縫目不揃の原因となる。菱針であると革の方向性に關係なく切つて孔を作るので常に一定方向に切目が出来て縫目が揃う。之等の關係から市には丸針、革には菱針が選ばれる。この他刺繡や特殊縫に應じて夫々異つた型の針が用いられる。而して布用の丸針にも使用する機械の型式により家庭用と、動力機械用とに更に大別される。本調査研究の對照としては主として家庭用ミシン針をとることにした。

III ミシン針用材料

1. 化學成分

一般に型打、溝切、孔明、研磨等小製品に對し高精度の加工を必要とする故に堅い材料が適當であるが、完成品は強度大で使用中の摩擦に耐へ針先の磨耗にも耐へることが要求される。即ち工作性、強靱性、耐摩耗性が必要である。昔時のシングル社のものは高強度で強度大、且つ焼戻り難く耐摩耗性及び韌性大なる低タン

グステン鋼を用いてゐる。

C	W	V
1.15	1.5~1.6	0.6

獨逸半印ミシン針は次のものを用いてゐる。

C	Ni	Cr
0.9	0.2	0.1

廣島地方のミシン針は住友電線又は神戸製鋼その他で出来た原線を阪神及び廣島地方の製線工場にて鍛引したものを使用してゐるが、その代表的なものは次の化學成分を持つてゐる。

試料	化學成分					
	C	Si	Mn	P	S	Cu
1	0.15	0.45	0.04	0.02	0.07	0.27
2	0.40	0.53	0.27	0.39	0.05	0.06
3	0.43	0.27	0.60	0.02	0.02	—

2. 顯微鏡組織

現に廣島地方に於て使用されてゐる原線は表面が相當(0.2耗程度)に脱炭し内部はパーファイト組織となつてゐるものを使ふてゐる。

3. 硬度試験

素線はヴィッカース硬度200前後であるが中には250位の相當高い値を示したものもありこれ等を型打ちせる結果60~90程度上昇する事を知つた。

V 工作法

現在世界で用いられてゐる針の工作法には米國式と獨米混合式との二つが主で二者共に夫々特性を持つてゐるが、廣島地方に於ては殆んどが米國式を採用してゐる。

試料	素線硬度	型打後硬度
1	209	266
2	203	260
3	246	337

米國式……長短の溝を同時に切削しその後孔明を行ふ方法

獨米混合式……孔明と短溝を同時にブレスで打出しその後長溝を切削する方法

ミシン針の製造工程は約30工程に分れ量産と低價格を確保するため全工程が次第に自動化され、現在に於ては殆んどが自動機によつてゐるもの的工作法は初期のそのままであり、今一段の定期的改良が加へられ多量生産と品質向上を計るべきである。

現製造工程を順を追つて簡単に述べれば次の通りである。

1. 材料切斷

直剪機により購入線材を端市の上二本取の寸法に切斷する。

2. 両端研磨

尖頭研磨機により切斷済の材料の両端を型打機の型に入れ易くするため片端づつ4~7回研磨する。

3. 中央切斷

切斷機にて中央より切斷する。

A 自動式……自動連續的に切斷する。

E 手動式……材料の保持と機械運轉を手で行う。

C 足動式……手にて材料を保持し機械は足で運轉する。

4. 直付け研磨

製品の寸法規準ともなるべき柄端面を研磨機にて通常1回直付け研磨を行う。

5. 型打ち

型打機にて冷間型打ちを行う。

A 大阪式(回轉式)

B 廣島式

何れも最近自動化されたものがある。

6. 寸法定め

直付け研削した面より規定寸法に切削する。

A 自動式

B 手動式

C 足動式

7. 燻 直

矯直機により曲りを完全に除去する。

8. 身 運 り

ゲージにて型打ちせる材料を軸部の寸法により區分し次の溝切作業の溝の深さを調節せしむ

9. 尖頭研磨

尖頭研磨機にて軸部尖頭を並研磨する。脱炭防止のため2~4回にて行うを普通とする。

10. 溝 切

溝切機にて4~10本完長短溝を全時に精削する。

11. ネーム打ち

柄部に製造所記號及針の番号を打刻する。

12. 孔 明 け

孔明け機にて針孔を一本完穿孔する。

A 手動式

B 足動式

13. 尖頭矯し

尖頭の曲りその他を矯正する。

14. 返り取り

ワイヤーブラシを回轉せしめ溝切の返りを除去する。

15. 矯 直

矯直機にて機械加工により生じた歪を完全に除去する。

16. 煙 入 (別記)

17. 煙 戻 (別記)

18. 油 抜き

苛性ソーダ液内に入れて油を除く。

19. 乾 燐

硝酸浴内に入れて水氣を吸収せしむ。

20. 矯 直

熱處理により生じた歪を小槌にて一本完叩き矯正する。

21. 尖頭研磨

尖頭研磨機にて尖頭の仕上研磨を行う。

22. 先 止 め

尖頭研磨機の砥石の代りに皮砥(エメリー粉をニカツにて塗装したもの)を用いて尖頭部を更に付上げる。普通2~3回行う。

23. 平 削

平面研磨機にて柄部を平削研磨する。

24. 磨 き (省略)

25. 錆 金 (省略)

26. 檢 査 (省略)

27. 包 裝 (省略)

工場によつては次の様な具つた工程を含めて行う。

イ 素 線 研 磨

直剪機にて切削後ガラ箱(小石、瓦)に入れて素線を磨く。

ロ 溝 研 磨

小形の砥石を用いて溝を研磨仕上げする。

II 热 處理

熱處理により製品に歪を生じこれが矯正のため多くの工數と廢品を出でるので各工場とも熱處理に關しては真剣に研究してゐるが、何れもまだ完全に歪を生じない熱處理法は完成されてゐない。現在行われてゐる熱處理法は次の通りである。

1. 煙 入

A 浸炭煙入

繩針と全様に炭の粉を浸炭剤(重曹5匁/炭粉1升)を針にまぶし素焼のルツボ(徑3寸)に立てて入れ炭火にて約3時間加熱し油中冷却を行う。

B 電 気 煙

上記の方法を電気加熱炉を使用して行う。又ルツボの代りに不鏽鋼板にて作つた皿を用いて加熱時間20分位の方法もある。

C 高周波煙

高周波煙を使用し3~4本完1.5~2秒シリカチューブ内で加熱保持し後油中冷却を行う。

D ソルドバースによる熱處理

大阪府工業奨勵館岡本技師が推奨してゐる

方法で鐵板上に針をのせ5~10分電氣爐にて
850°Cに加熱後取出し270°Cのソルトバス(ア
ソリドソーダ45%, 硝酸ソーダ55%)の中に
一度焼入し、次で薫灰中にて徐冷する方法で
同本技術の要表によれば殆んど歪は生じない。

2. 焼 灰

A 油 灰

200°C ~ 250°Cに熱した油の中に5~15分
浸した後取出し空中放冷する。

B 鐵 板 灰

鐵板上に乗せて200°C ~ 300°Cに加熱後油
中冷却すると空中放冷する二法がある。

VI 製 品 檢 査

第一表 製 品 尺 法 檢 査 成 績

A 廣島縣產製品 (# 14)

試片	測定位置 部位 番号		A	B	B'	C	C'	D	E	J	K	S
	2.02 ± 0.03	0.92 ± 0.03			1.37 ± 0.05			33.8 ± 0.2	38.5 ± 0.3	L0 ± 0.1	0.35 ± 0.05	0.36 ± 0.1
1	1.98	0.94	0.91	1.63	1.63	34.00	38.95	0.96	0.38	0.57		
2	2.01	0.84	0.83	1.46	1.47	33.63	38.60	0.95	0.35	0.57		
3	2.02	0.94	0.92	1.59	1.59	33.80	38.77	0.93	0.38	0.47		
4	2.02	0.89	0.93	1.60	1.59	33.62	38.85	1.08	0.37	0.77		
5	2.00	0.93	0.92	1.66	1.63	33.80	38.66	0.85	0.35	0.50		
6	1.99	0.93	0.91	1.65	1.61	34.97	38.70	0.97	0.31	0.48		
7	2.00	0.98	0.97	1.64	1.58	33.71	38.53	0.85	0.31	0.50		
8	2.03	0.97	0.97	1.55	1.54	34.18	38.91	0.85	0.24	0.81		
9	2.11	0.95	0.95	1.54	1.58	33.95	38.73	0.97	0.25	0.75		
10	2.04	0.94	0.90	1.65	1.64	34.00	38.75	1.00	0.34	0.45		

B 廣島縣產製品 (# 14)

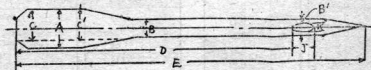
試片	測定位置 部位 番号		A	B	B'	C	C'	D	E	J	K	S
	2.02 ± 0.03	0.77 ± 0.03			1.50 + 0.05			33.8 ± 0.2	38.2 ± 0.3	0.9 ± 0.1	0.3 ± 0.05	0.49 ± 0.1
1	1.97	0.74	0.74	1.56	1.57	33.86	38.58	0.92	0.29	0.47		
2	2.00	0.82	0.80	1.35	1.33	33.73	38.70	0.93	0.33	0.50		
3	1.99	0.78	0.78	1.38	1.44	33.75	38.42	0.78	0.26	0.59		
4	2.01	0.77	0.81	1.53	1.58	33.76	38.38	0.88	0.30	0.81		
5	1.99	0.79	0.82	1.63	1.59	34.76	38.36	0.79	0.27	0.51		
6	2.03	0.80	0.81	1.60	1.61	34.73	39.14	0.88	0.28	0.44		
7	2.03	0.83	0.85	1.58	1.56	33.86	37.94	0.87	0.25	0.44		
8	2.00	0.76	0.77	1.49	1.55	32.98	38.52	0.95	0.39	0.69		
9	1.99	0.72	0.83	1.54	1.53	33.57	38.14	0.90	0.29	0.77		

C. Singer 社 製品 (#11)

測定位置 試片番号	A	B	B'	C	C'	D	E	J	K	S
	2.02 ± 0.03	0.77 ± 0.03		1.50 ± 0.05		33.8 ± 0.2	38.2 ± 0.3	0.9 ± 0.1	0.3 ± 0.05	0.49 ± 0.1
1	2.04	0.78	0.78	1.49	1.50	34.04	38.12	0.74	0.24	0.55
2	2.04	0.77	0.78	1.49	1.50	34.12	38.12	0.75	0.24	0.61
3	2.04	0.77	0.77	1.49	1.49	34.03	37.90	0.77	0.28	0.50
4	2.04	0.77	0.77	1.51	1.49	34.07	38.01	0.79	0.24	0.50
5	2.04	0.76	0.76	1.49	1.51	34.08	38.11	0.78	0.28	0.42
6	2.04	0.77	0.77	1.47	1.48	34.28	38.12	0.82	0.28	0.54
7	2.04	0.77	0.77	1.48	1.50	34.01	38.07	0.76	0.22	0.63
8	2.04	0.76	0.76	1.50	1.49	34.07	38.12	0.80	0.30	0.51
9	2.04	0.77	0.77	1.49	1.50	34.03	38.04	0.76	0.25	0.62
10	2.04	0.77	0.77	1.48	1.49	34.22	38.09	0.77	0.23	0.54

D. Metwar 社 製品 (#14)

測定位置 試片番号	A	B	B'	C	C'	D	E	J	K	S
	2.02 ± 0.03	0.92 ± 0.03		1.57 ± 0.05		33.8 ± 0.2	38.5 ± 0.3	1.0 ± 0.1	0.35 ± 0.05	0.56 ± 0.1
1	2.01	0.92	0.91	1.66	1.66	34.01	38.86	1.00	0.35	0.66
2	2.01	0.91	0.90	1.63	1.65	34.07	38.68	1.01	0.36	0.63
3	2.01	0.91	0.90	1.65	1.65	34.23	38.87	0.99	0.34	0.67
4	2.01	0.92	0.90	1.65	1.64	34.09	38.73	0.98	0.35	0.69
5	2.00	0.91	0.91	1.66	1.67	34.04	38.69	0.99	0.37	0.62
6	2.00	0.91	0.91	1.65	1.66	34.09	38.85	1.00	0.36	0.59
7	2.01	0.90	0.91	1.65	1.64	34.08	38.84	1.00	0.35	0.64
8	2.00	0.91	0.91	1.64	1.65	34.04	38.86	1.00	0.36	0.71
9	2.00	0.91	0.91	1.63	1.67	34.07	38.82	0.99	0.35	0.69
10	2.01	0.91	0.91	1.64	1.64	34.06	38.85	0.98	0.37	0.71



この結果を見るに製品の寸度に關しては規格に適合するものは甚だ少い。特に平削部に於ては殆ど規格に合はず平削部の加工困難を如實に示してゐる。孔部は許容量が他部に比し相當大なるため割合に規格に適合してゐるもののが

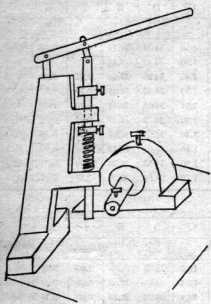
部の徑、孔までの長さが適合してゐるのは工作の粗雑としか考へられない。

2. 曲げ試験

第1圖の如き簡単な曲げ試験装置を作り、柄部を固定し孔の中心を力点としてこの部を5耗

曲げ30秒経過後力を除き尖端の変位を測定し第2表の結果を得た。

第1圖 曲げ試験装置



第2表 製品曲げ試験成績表

A. 廣島縣產製品
(#14)

試片	変位(耗)
1	0.67
2	0.19
3	0.75
4	0.45
5	0.25
6	0.10
7	4.20
8	0.58
9	0.64
10	0.24
規格	0.17

B. 廣島縣產製品
(#11)

試片	変位(耗)
1	0.35
2	0.16
3	0.59
4	0.75
5	0.43
6	4.20
7	0.27
8	0.59
9	0.31
規格	0.15

C. Singer 社製品
(#11)

試片	変位(耗)
1	0.18
2	0.18
3	0.10
4	0.17
5	0.38

D. Metwar 社製品
(#14)

試片	変位(耗)
1	0.11
2	0.26
3	0.06
4	0.07
5	0.18

第3表 製品反覆屈曲試験成績表

A. 廣島縣產製品
(#14)

試片	反覆屈曲回数
1	218
2	53
3	80
4	8
5	202
6	11
7	100
8	112
9	27

B. 廣島縣產製品
(#11)

試片	反覆屈曲回数
1	625
2	62
3	900
4	10
5	33
6	715
7	4
8	537
9	53

C. Sieggr 社製品
(#11)

試片	反覆屈曲回数
1	1482
2	380
3	65
4	618
5	2500<

D. Metwar 社製品
(#14)

試片	反覆屈曲回数
1	1500
2	249
3	17
4	1
5	145

3. 反覆屈曲試験

短講方向を上にし短講方向に3耗、長講方向に5耗、孔の部位に於て上下に反覆屈曲せしめ折損までの反覆回数を調査したるに第3表の結果を得た。これは材質及び熱処理の影響によるものと一應考へられるも、現在に於ては形状特に溝部の深さに起因する事がはるかに大と考へられる。

4. 製品硬度試験

製品柄部平剖面をヴィックカース硬度試験（荷重30kg）にて硬度試験したるに第4表の結果を得た。これによると熱処理効果の殆んど無い製品のあることを知る。尚 Singer社及び Metwar 社製品については、軸孔部附近をもミクロヴィックカース（荷重1kg）試験機にて試験した。

第4表 製品硬度試験成績表

A 廣島縣産製品 B. 廣島縣産製品
(#14) (#11)

試片		硬度數		試片		硬度數	
1	574	575		1	540	532	
2	500	503		2	804	786	
3	450	451		3	523	530	
4	746	752		4	690	636	
5	637	602		5	421	478	
9	557	554		6	193	200	
7	216	236		7	571	624	
8	618	690		8	600	523	
9	269	228		9	268	358	
10	648	608					

C. Singer 社製品 D. Metwar 社製品
(#11) (#14)

試片		硬度數		試片		硬度數	
	柄 部	軸 部		柄 部	軸 部		柄 部
1	564	557	825	1	614	602	713
2	695	710	825	2	579	579	713
3	598	602	860	3	368	361	715
4	537	530	840	4	652	648	742

尚縣内或る社の一包の製品に就て試験したるに第5表の通りの結果を得た。即ち柄部に於てヴィックカース硬度にて最高573、最低321、その差244の相當廣いばらつきのある事を知りその熱處理に不均一のある事を知る。

第5表 製品硬度成績表

試 片	硬 度 数
1	490
2	470
3	362
4	321
5	418
6	492
7	570
8	557
9	523
10	575
平 均	469
最大最小差	254

VII 工作改善案

以上で廣島地方に於て生産されてゐるミシン針の現状の大体を知る事を得た。そしてこれ等から種々な工作改善案が考へられる譯であるが熱處理及び研磨に對する電解研磨に関する事項等は別として材料及び機械工作に就て次の様な事が考へられる。

1. 材料に對する改善案

原線は現在 0.4C ~ 0.6C の銅線を使用してゐるが最近住友電氣工業株式會社よりメリヤス針及びミシン針用軟質ビアノ線として炭素量の多い下記成分のものが出来てゐるのを使用したら如何であらうか。

尚出來得れば塑性折曲による硬化を考慮し機械加工を容易にするため原線を一様な粒状セメントタイト組織にし、然かも表面の脱炭が殆んどない光輝鍛鍊を完全に行い、硬度もヴィックカース硬度 200 以下のものが望ましい。

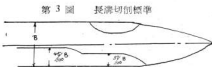
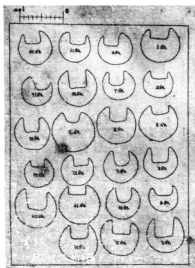
C	Si	Mn	P	S	Ca
0.75~0.85	0.15~0.35	0.30~0.60	0.030以下	0.030以下	0.200以下

2. 機械作業の改善案

A 型打作業

回転式機械は型打回数多く製品の自轉と共に理論的には良好な結果を予想されるが、ロールその他の部品製作に次々高度の精密度を必要とし、又商品修理の際一部取換へ等は不可能である。廣島式の型打機械は型のみ精密加工してあれば良く、製品の自轉を加へれば一層に良好と思われる。型も標準熱處理鋼の高強度工具鋼又はCr鋼を現在の高炭素鋼に代へる事も考へられるが、工具鋼の場合は高溫の熱處理を要するため型の精度が期し難い。尚型の大きさも1時位の差は最小限必要にして溝も $4/100 \sim 5/100$ の傾斜をつける案がある。

第2圖 溝切の状態
(廣島縣産製品)



B 溝切作業

手運り後袖部寸法別に回転せるカッターを上下せしめ溝の深さを調節しつつも10本を同時に上下に延長溝を切り、カッター回転速度400R.P.M.針の送りは自動又は手動によつてゐるが、カッターの取付け並に針の保持台の不安全のため第2圖に示す通り中心部に溝切りされたものが殆んどなく、又深さも一定でない。(深さの規定なし) カッターの取付けは簡単にして而かも確實な事を要し純入グッシュの研磨仕上のものを使用する程の注意が望ましい。尚孔明けの都合上第3圖の通り長溝を削削するのを普通とする。

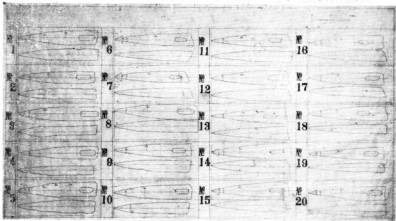
溝切後返り取りのため研削砥石にて再加工する方法があるが溝切作業を下向き切削にし、作業を入念に行へばその必要は殆んどなく(機械の改造を要す) カッターは日本工具、不二越等により炭素工具鋼にて作られたものを各業者が再研磨して使用するのであるが、カッターの研磨を度々行い、取換へも簡単にすべきである。

C 孔明作業

手動足動共に孔明錐により一本穴孔明けを行ひ孔の形状も種々あるが理想的な形状は小判型と思はれる。各社製品の孔及尖端の形状は第4圖の通りである。

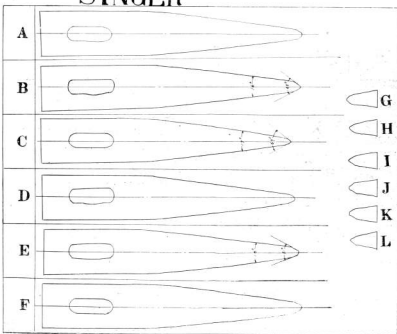
孔明錐は作業者各自が経験にて手研ぎにより研磨してゐるが一定のゲージなく形状も又一定でない。形状の規準型を定め研磨のための案内金物を作ることにより錐の型の一定化を計りたい。機械も手動式のものがあるが精神集中の見

第4図 針及尖端の形状圖 (1) 広島縣産製品

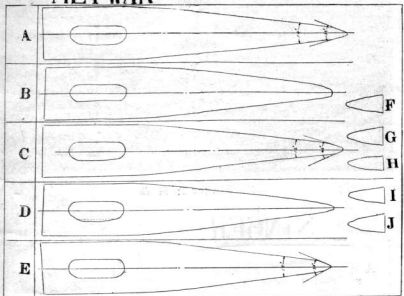


(2) Singer 社 製 品

SINGER



METWAR



地から足動式がよい。

D. 平削作業

各社の針先の形状は前掲第4圖の通りであり殆んど同じ形状をなし切先部を直線的に二段に研磨したものもある。針先の形状に就ては更に今後の研究に待つのであるが、研磨方法として普通皮砥にエメリーを塗布したのを用いてゐるが鋼鐵を用いるのも一方法であらう。

3. 製造工程又は加工様式を變へた

改善案

A. 溝切と同時に平削部の加工を行う法

溝切工程の時ミリングカッターにより平削部を併せて加工する方法で、熱處理前までの矯直のために材料を一本分だけ長くして置き矯直後

切断し残る一本は從来の方法にて工作するのであるが、熱處理後切断するとせば残り材料は焼鈍の上工作しなければならぬ不利な点がある。

B. グラインダーによる成形

塑打の代りに砥石にて研削成形する方法であるが精度の点で難点あり。

C. 施剤による成形

旋盤にて旋削成形する方法であるが曲り防止の必要がある。

D. ロールによる成形

理論的には一應冷間ロールが考へられるも变形量の計算より實際は困難と思われる。

E. 縫針三聯機の應用

連横2ヶ取(軸部切續)を作り小溝を型にて打ち出し孔明と切断と三聯式に行葉を行ふ法で

ある。

K フライス盤に於ける下向削り

1936年V. Jereczekの發表以来フライス盤に於ける下向削りに關する注意を喚起し、それについての講演又は出版物によつて獨逸國內よりむしろ外國により多く公布されフライス作業に一大轉換を來した。下向削りの長所としては次の諸點があげられてゐる。

1. 機械の静粛な運轉
2. 所要動力の減少
3. 切削容積の増加
4. フライス壽命の延長
5. 優秀な加工面
6. 精度の向上

下向削りはこれ等爭わざる長所があるに拘ららず從來適當なフライス加工法として一般的に實施されなかつた。それは不適當な機械による下向削りに對して同程度に危險を生ずるのを機械が抑制出来なかつたからである。普通のフライス盤による下向削りを可能ならしめる最後的一般に知られた方法は摺動緊締部をよく締めることである。又機械の能力に對して軽い加工を行いテーブルの案内は良好なる状態にあり且つ摺動部の嵌合はあまり固くない静合になる様に調節し、フライスには高い切削速度を與へる。かくしてフライスが加工物を手前に引張らうとする危険な傾向を減少せしめるのである。

下向削りは殊に薄い溝の加工に有利とされるが古い機械を使用するとテーブルの動きが所謂息をつく現象を起こすので全く危険ではないとは云われぬ。然し下向削りの運動に對する構造上の要求を満足すことにより下向削り本来の利点を充分に活かすことが出来る。

下向削り運動に對する構造上の要求は次の諸点があげられる。

A. 常りは摺動時と切削時との間に變化せず側面とも遊びのない狀態に保たれなくてはならぬ。即ち特にねじのフランクの當りと送り軸方向の當りは Fit-gauge に於ける如くであり、即ち完全に密着し面かも滑らなくてはならぬ。

B. 常りの壓力は移動する場合特に早送りの場合に磨耗を起こすほどあまり大きくてはならぬ。

C. 常り面は漸進的に増加する不平均の磨耗に對し耐久的でなければならぬ。

D. 常り面を取り換へたり又は頻繁に調整することは避けねばならぬ。

X 結 言

多數の工程に分れて加工され極めて小なる製品を作るミシン針工業はその寸度の点に於ても又高度の精度を要求されるので大變難しい作業であるが、一度各製作要領を呑み込んでしまへばさて困難な作業ではあるまい。廣島地方にて生産されるミシン針は外觀大變良く出來てゐるが詳細検討して見ると不備な点が極めて多く、ミシン針として用を足さないので無いかと思われる製品もある。ある程度の製品精度はその作業の丁寧さ丈けでも相當に保たれるが故に殆んどがスタートより再出發する要があるのであるまい。即ち一工程づゝ再検討し規格に適合する精度の製品を作る可く現設備で努力し、次で熱處理その他の量産化に對する研究を進める可きと思われる。新機械又は新しい工作法による創制的量産法は現在の所一寸發見されないが熱處理法の改善と相俟つて現行法で廢品防止に努めるなら少くとも現在の2割位は増産加能にして品質の向上による値上りと共に業界は一段と活況を呈して来るだらう。

鑄物砂に就いて

On the Moulding Sand

第 1 報

(1st report)

大宮 義則

Yosinori Ōmiya

田中 勇

Isamu Tanaka

Preface

It is presumed that the persons related to the subject activities can hardly discover the causes of inferiority in work performance of moulding, as there have been many factors for inferior moulding.

This report states the results of the experiment on the natures of moulding sand, which have been one block of the such factors as afore-stated.

Criticisms and cooperative action are cordially requested to be given from the authorities for our guidance and further study in this connection.

I 緒言

著名な鑄物砂の性質に関する研究は既に色々発表されており今更論ずるに及ばないが、廣島地方で相當使用されてゐる「津之郷砂」及び最近優秀性を認められつつある「松江黒田砂」等の性質に就ては餘り知られてゐないので之等について比較試験をした。

II 試験方法及び結果

多くは日本學術振興會制定の試験器並に方法により、試料は原産のまゝのもの即ち配合粉碎等を行はないものを用ひた。

1. 粘土分

鑄物砂を完全に乾燥した後デシケーターで常温に冷却し、試料 50gr を砂洗器用瓶（容量 100cc）に入れ水を 47cc 加へ、次に 1%苛性苛性水溶液 25cc を入れて密栓し、砂洗器に瓶を取り付け 60R.P.M で 1 時間迴轉し粘土・膠状質の分離を行つた後、瓶を取り外し容量 2000cc のビ-

カ（直徑 136mm 高さ 186mm）に全部移し、ビーカー底面より 150mm まで水を加へ充分攪拌して 10 分間静置後 U型硝子サイフォン（内徑 6mm, 1 端ゴム管付き）を以つて漏水を底面より 25mm まで静かに排除す。

更に水を 150mm の水位まで加へ攪拌し 5 分間静置、前同様に 25mm の高さまで排水す。爾後攪拌しては 5 分間静置し、ビーカーに漏りが生じない様になるまで繰返し粘土分を全部除去する。

ビーカー内に残留した砂粒を集め滤紙で水を滴下し、乾燥庫で乾燥し後デシケーターで常温に冷却してこの砂粒の重量を秤量し除去した粘土分の百分比を求める。

第 1 表は 3 種類の鑄物砂のこの結果を示したもので同产地のものでも試料採取の場所位置によつて多少異なる事がある。

粘土分の多少は鑄型の堅さ、粘着力、成形性及び通氣性に影響するが、それよりも粘土分の質の良否を第 1 に考へるべきである。

第1表 鑄物砂粘土分の比較

产地	重量 %
廣島津之郷	11.96
野間狸山	13.58
松江黒田	11.11

粘土分の性質としては接着効果よく、乾燥型として使用するとき一層接着力が大きくなると同時に、注湯の場合は高溫に曝されても粘土分が先に軟化し湯になめられたり、隅角が不結果にならすが反復使用に支障の無い耐火性を有す

る事が望ましい。

2. 粒度分布

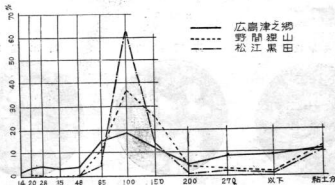
粒度の分布状態の如何は鉢型の強さ、通氣性並に耐火性に關聯し、選定に當つては製品の大小、種類、肉厚の程度によつてよく吟味せねばならぬ。

第2表は粘土分を除去し砂粒だけになつたものを分粒し、粘土分を含めた重量百分比である。第1圖は第2表を圖表にしたものであり、粒子の不揃、有害不必要的大砂粒及び微粉状粒子の存在を比較した。

第2表 鑄物砂粒度分布

产地	粒度 Mesh (%)											計
	14	20	28	35	48	65	100	150	200	270	以下	
廣島津之郷	2.39	3.41	4.85	3.68	3.95	15.11	19.39	12.65	4.98	8.40	9.22	88.04
野間狸山	—	1.02	0.12	0.28	0.85	11.75	38.65	23.69	4.58	3.25	2.23	86.42
松江黒田	—	0.03	0.27	0.30	0.55	5.39	63.51	13.61	1.65	2.32	1.26	89.89

第1圖 鑄物砂粒度分布圖



3. 形 狀

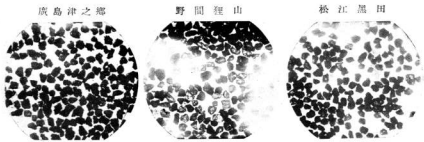
砂は大岩石の長年月の間に崩壊して出来たもので気候の變化即ち風雨等に曝されて岩から離れ自然現象により集積したもので、此の間砂の本来の性質と外部の影響で色々な形となつた認

であるが大体

- A 丸い粒
- B 半ば角立つた粒
- C 角立つた粒

等に大別出来る。鑄物砂として使用するときは

第2圖 砂粒の形狀
x 25



第3圖 砂粒面の粗密圖
x 38



丸い粒はたゞ一点で接して空隙が大きく、この粒度に對する最大の通氣性を示す。

角立つて居れば面で接觸して接觸面が廣くなり從つて空隙は小さくなり通氣性は低下すが強さは増大する譯である。第2圖はこの形狀を示したものである。

4. 粒面の粗密

天然の作用による風化腐蝕の結果砂粒の面は凹凸状を呈してゐるものと滑かなものがある。砂粒間の接着の度合は面が粗なる程強い。第3圖は表面の粗密を比較した圖である。

第3表 化 學 成 分 表

產 地	化 學 成 分 %							
	SiO ₂	Al ₂ O ₃	Fe ₂ O ₃	MgO	CaO	Na ₂ O	K ₂ O	灼熱減量
廣島津之郷	72.60	20.80	2.05	0.80	痕跡	0.19	0.54	3.20
野間狸山	80.47	9.41	5.13	0.27	0.80			2.88
松江黒田	87.51	6.81	1.72	0.33	微量			

て同溫度に4分間保ち、焙着を始むる溫度を測定し耐火溫度を調べた。第4表はそれである。

第4表 焙着を始むる溫度

產 地	焙着溫度 °C
廣島津之郷	1225
野間狸山	1225
松江黒田	1325～1300

7. 水分と強さ硬度及び通氣度の關係

鉱物の水分變化に伴ふ強さ、硬度、通氣度の變化の特性を熟知して居らねばならぬ。勿論產地、場所位置によつて其の悉くが異つた値をとり、又何種のものでも生型、乾燥型で特性が異つて来る。其の砂が水分幾多の時、最大の強さ及通氣度が得られるかを驗べおき、他の具備條件と併せて水分含有量を決定すべきである。第4圖、第5圖は生型及乾燥型の夫々の特性曲線である。

5. 化學成分

化學分析によつてその成分を知り、大体の耐火性を判断する事が出来る。何れの砂に於ても SiO₂が大部分を占めるけれども SiO₂の至部が石英として存在するとは限らないし、又他の成分によつても影響を受けるから、SiO₂の含有量のみを以つて耐火性を比較する事は出来ないが、大体の目安とする事は出来る。

第3表に其の化學分析の結果を示す。

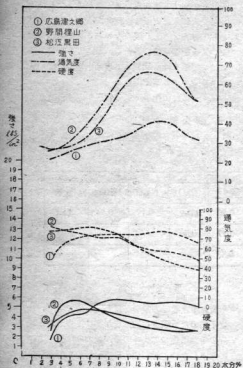
6. 耐火性

白金板(55×8×0.6mm)に電流を通じ加熱し

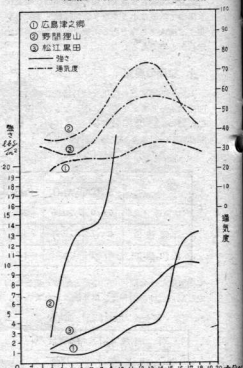
III 結 言

廣島津之郷砂の粒形が最も尖端角であり、粒度不揃のため強さ、通氣度が劣つて居るが、水分の增加に従つて夫々の値が他の砂に較べて急に低下しない。野間狸山砂は粒形や角立ち強度分が他よりも多く強さが大であるが、同時に通氣度が劣つてゐる特長を有し、松江黒田砂は粒形や角立つてゐるが野間狸山砂より少し丸味を帯び粒面は荒く双晶状を呈した部分多く、通氣度が生型に於て野間狸山砂に劣るけれども之に近く乾燥型にては廣島津之郷砂より良くなり近い値を示し、耐火性については廣島津之郷砂が案外良く、野間狸山砂と同程度で、松江黒田砂はこの内特に耐熱性が良い結果を得た。

第4圖 生型の水分と強さ、硬さ、通気度曲線



第5圖 乾燥型の水分と強さ、通気度曲線



人造真珠塗膜の赤外線乾燥について

Research on Drying by infra-red ray for imitation pearl essences.

戸 谷 哲 雄
Tetuo Todani

This is the report of a few experiments about the influences of infra-red ray to bake pearl essences upon the surface of glass balls.

I 緒 言

人造真珠塗膜の乾燥には現在蒸気による熱風乾燥が主として用いられて居るが、之は brushing の起る危険があり、一種な製品を作ることに困難である。又ペーストにより異なるも大体乾燥時間が15分～1時間もあり、更に4～6回の塗装工程と相俟つて時間の大なる浪費を來して居る。

そのため最近米国で用いられてゐる赤外線乾燥について試験して見た。

II 試験装置及び試験方法

赤外線源としては鉢戸工業株式会社製の赤外線電球 HL-250 (100V, 250W) I燈を用いた。電球の形状は第1圖に示す。赤外線の効率を増すため、アルミニウム板で囲い、Socketは電球の形状の關係で炉内にとりつけければ大きく突出し過熱を來すので炉外に取り付け。電球の有効部分、即ち内面鍍金を施していない部分だけが炉内に出る様にした。第2圖は炉の断面を示す。又硝子球の温度測定にはアルメル, 70クロメル線0.1φを用いた。

(大臣電氣試験所で種々温度測定を行つた結果0.1φの線を約3%被測定物にそわす時誤差が最小であつた。)

III 試験結果

人造真珠塗膜の乾燥温度を約60°Cとし、焼付

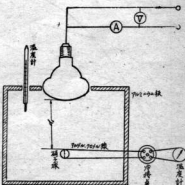
時間を約5分と見當を付けてd,(第2圖参照)を求めて見た。その結果、硝子球のみの温度上昇は第1表の通りである。



第1圖

次に Pearl essence を塗装した場合、何分位で乾燥するかを試みた。この場合下塗りは醋酸ブチル 9kg, 醋酸エチル 6kg, セルロイド 200kg, 和硝 150kg の配合率のペーストを2回、中塗りは醋酸ブチル 12kg, 醋酸エチル 3kg, セルロイド 200kg 和硝 80kg の配合液を1回、上塗りは醋

第2圖



第 1 表

時 間 距 離	0	1	2	3	4	5	概 要
$d_1=30\text{cm}$	30°C	42	43	47	48	48	開放
$b_1=25\text{cm}$	30°C	44	46	48	49	49.5	
$d_1=250\text{mm}$	30°C	50	55	58	60	61	密閉

酸アミル15kg、セルロイド200g、和紙30gの配合液を1回塗布した。(和紙は櫻市の済喜商店のものを用いた)その結果は第2表に示す

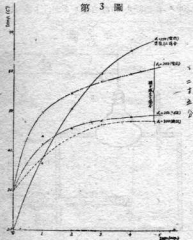
第 2 表

	No. 1	No. 2	No. 3	No. 4	No. 5
下塗り	5分乾燥 良	5分乾燥 良	5分 良	5分 良	3分 良
	5分 \times	\times \times	\times \times	3分 \times	\times \times
中塗り	5分 \times	\times \times	3分 \times	\times \times	\times \times
上塗り	5分 \times	3分 \times	\times \times	\times \times	\times \times

第 3 表

時 間 距 離	1 分	2 分	3 分	4 分	5 分	概 要
$d_1=250$	37°C	51	60	66	70	密閉

第 3 図



又塗装した球の温度上昇を測ると第3表の結果を得た。

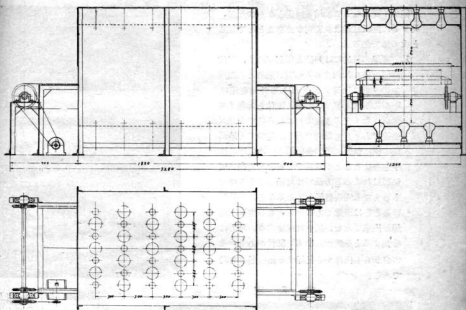
即ち硝子球及びその上に塗布した時の表面温度を図示すれば第3圖となる。この実験結果に示す如く、從来かなり長時間を要した乾燥が3分～5分間に短縮せられ、しかもbrushingの起る危険もなく出来上りの輝度も良好であった。

以上の結果より、人造真珠を大量且つ能率的に流れ作業システムで作る赤外線乾燥装置の考案が必要となつて來たのである。計設圖は第4圖に示す。即ち装置の周囲はなるべく熱の浪費を防ぐためアルミニウム板又は美装銅板にして反射面もとりつけ。出入口は枠の高さだけあけ、温度調節はオートトランスで行ふ。燃長は有効1880mm全長3280mmとしたが都合により長短は替へること

ことは可能で上下よりの照射で球のどの点も定温を保つことが出来る。コンベヤーの速度は毎分400mmで爐内に、例へば約1m×40cmの枠なら47ヶ入り1日8時間労働するとすれば450枠生産出来、1枠20連掛けとすれば9600連となり4回塗りの場合、製品として2400連可能である。しかしながらこの場合は焼付時間を5分と見たが、更に之を短縮すれば能率を向上させることは出来る。球(250W)の配位は片方の口より上段4ヶ、下段3ヶ、次は上段3ヶ、下段4ヶ、以下同様にした。モーターは1/2H.P.で充分で赤外線の所要電力は10.50kwhなり。以上の

設計は
位迄に
又虹
度を必
物炉長
mmとし
mm、使
電力は
を5分
は約50
彩真珠
110°C
た。第
構によ
機器な

第4圖 工業的赤外線乾燥炉

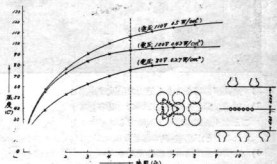


設計は普通真珠用としたので温度も20°C~80°C
位迄に調節出来る様にした。

又虹彩真珠の場合は、約20~130°C位迄の温
度を必要とするからこの時、有
効炉長2480mm、ピッチは200~
mmとし物体と球との距離は400
mm、使用電球250W74本、所要
電力は19kwhとなり乾燥時間
を5分とすればコンベヤー速度
は約500mmとなる。第5圖は虹
彩真珠に必要な60°C、90°C、
110°Cの温度を保つ電力を示し
た。第6圖、第7圖は以上の機
構により某社に入つた赤外線乾
燥機なり。

第5圖

入射光束供給量 温度-時間-電力 曲線

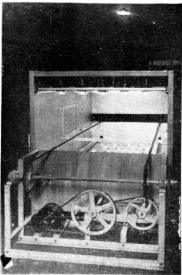


V 緒 言

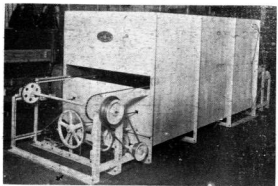
第 6 圖

極めて簡単なる試験結果に過ぎなかつたが、要するに熱風乾燥より有利な点をまとめて見ると次の様である。

1) 乾燥の目的には對流と輻射があり、對流は溫度差に比例するも輻射は熱源との溫度差の 4°C に比例する。¹⁾ 即ち赤外線乾燥は輻射の形式と見てよい故、媒体を加熱する無駆がなく光の速度で行はれるので加熱が急速であり且運動的である。従つて人造真珠の様に複雑工程の多い場合には生産の能率を高けることが容易である。又現在一般に行はれてゐる方法では乾燥してゐる様でも芯まで完全乾燥してゐるか否かを見別けることは困難であるから、もし完全に乾燥が出来てゐない場合は温度の多い地方に輸出すると空膜がはける可能性があり、その点からも内部から乾燥する輻射熱は有効である。



第 7 圖



- 2) 热風炉の場合よりも労力の節減が出来る
- 3) 予備電力を全然要しないので効率を落すことなく必要に応じて何時でもスイッチを入れることが出来、且つ無駆な損失がない。
- 4) 設備資金が僅小で維持費が安い。
- 5) 热風乾燥の場合に起る brushing を防ぐことが出来、光澤も良い。

6) 赤外線の吸収率は0.9以上とみて妥当ではないので赤外線の炉の全効率は
 $(\text{全効率}) = (\text{ランプパワーノルムの効率}) \times (\text{利用率}) \times (\text{吸収率}) = 0.7 \times 0.9 \times 0.9 = 57\%$

であるが、電熱の場合には通常40%位が最高で熱風は20%位が最高ではないかと思ふ。それ故非常に好能率である。²⁾

— 参考文献 —

- 1) 水田潔「赤外線乾燥について」マシナリー第14巻(1月號)
- 2) 佐々木正「赤外線乾燥とは」(第一編) 1950

廣島縣礦工業の展望

日 下 和 治

一目 次

1. 緒 言
2. 本縣の一般事情
3. 破業及び精錬業
4. 工業概論
5. 紙業工業
6. 化學工業
7. 鉄 鋼 業
8. 窯 業
9. 造船工業
10. 機 械 工 業
11. 酿造工業
12. 紙 及 ピルブ
13. 特 產 工 業 (縫針、ミシン針、鏡、ゴム草履、疊表)
14. 電 力
15. 安本算定の礦工業生産指數
16. 結 論

I 緒 言

本縣の礦工業の現況を述べると共に將來の發展を期する爲起る可能性のある事業も併せ述べる。

土地少く人口の多い日本は礦工業の發展が將來の唯一の希望であるが、廣島縣としても尤より例外でなく、特に耕地面積の少い本縣が工業從業員数に於て全國平均より少い事は注目に値する。

	有業者総数 (A)	製造工業從事者 (B)	B/A (%)
全 國	33,328,963	5,721,901	17.2
廣島縣	873,289	137,245	15.7

礦工業の展望をなす前に、本縣の大勢を知る

ため一般事情及び農畜林水産の大要を次に述べる。

II 本縣の一般事情

1. 土地、人口 5市、16郡よりなり面積8,439平方キロに及び人口 2,045,932人を有する。之を全國的に見れば調密度は中位であるが、廣島市、吳市、三原市、尾道市、福山市及び向島因島は1平方キロ當り 1,000人にも及んで居つて關東地方の密度に近い。

2. 財 政 (鶴鹿25年度豫算)
一般會計 6,055,401,999圓
特別會計 375,439,022圓
3. 農畜林水産の大要
昭和24年度の統計次の如し

品名	產	額	自給率
產米	1,382,510	石	85%
甘藷	38,269,000	貫	〃
蔬菜	30,000,000	〃	100
木材	1,468,193	石	移出す
	(林野面積 83.5%)		
木炭	3,403,701	俵	85
魚			20
牛	(牛、馬、山羊、豚は中國第1位)		移出す

此の外副業として薬草、除虫菊、大蔥、薄荷、蜜柑の產有り。

III. 破業及び精鍊業

1. 金属産業 本縣の金属産業は全く微々たるもので現在稼行中のものは滿鐵鋼及鐵錠のみである。

滿鐵鋼(比婆那) 23年度 400噸

鐵錠(比婆那) 25年度 500~800屯

此の外稼行せざるも精査の上将来稼行の希望有るものは比婆那、雙三郡の砂鐵、佐伯郡のタンゲスチン鋼、南生口島のタンゲスチン鋼及びモリブデン鋼などであらう。

2. 非金属産業 煉石、珪石、長石、螢石、石灰石など相當の產がある。昭和23年度の實績は次の如し。

品名	產	地	產額
鐵石	比婆那矢野勝光山等		8,957屯
珪石	山陽銀砂等		7,139〃
長石	芋掘賀山、中國長石等		2,657〃
螢石 (良質)	神武賀山、三原賀山等		48〃
石灰石	廣、蒲刈島等		145,897〃

螢石は全國第1の產にして石灰石は全國比2%に過ぎない。石灰石の用途は地元で吸納して販賣し主として酸性土壤の中和などに用ひるが全產額の38%は原價のまゝ大阪に供給する。

廣、蒲刈島の產額は現在餘り多くはないが其の貯存量は數百万吨に及び且つ品質良好(珪

酸1%位の良品もある)で然も採掘、搬出に便なるためセメント工場等誘致の可能性がある。

3. 精鍊業

A. 竹原精鍊所 竹原は中國地區唯一の電氣銅及電氣鉛の精鍊所であつて副産物として金、銀、リサーチ、及びセレニウムを得てゐる原料は日比(岡山縣)精鍊所より粗銅の供給を受け鉛は鉛鉄を使用して居る。

B. 帝國製鐵、竹森、加計工場 木炭の產出多きを利して山縣郡及び比婆那に發展したものである。昔時は此の地方の砂鐵利用したものであるが、今は僅に鐵岸5%程度を現地に得るのみにて他は千葉縣砂鐵、鹿児島縣砂鐵、及び南方諸島を移入して居る。

両工場共に20屯高炉1基づつを有し夫々年間6,000屯以上の木炭鉄を出し得る。生産量に於ても吾國第1位であるが、品質も特異な物として優秀である。

III 工業概論

工業從事員は総計にも述べた通り全國の平均より少いが中國地方では第1位である。即ち

	有業者總數 (A)	製造工業從事者 (B)	B/A (%)
全國	33,328,963	5,721,901	17.2
中國五縣	2,975,333	392,274	13.2
廣島縣	873,289	137,245	71.5

であつて工業の内容を見ると織紡、化學、鐵鋼、窯業、造船、機械、醸造、各種特種工業など極めて多方面に亘るもドッヂライン發達以来各業種共あまり振はなかつた。然し六月朝鮮事變以来好況に向つたものが多いが重工業資源の中心より遙い事と、安價、豊富な電力の供給少い本縣の不利は認めねばならぬ。

V 織維工業

人絹、スルなど全國的に見て著名なるもの2工場あり、現在活況を呈してゐるがバルブの供給事情に一株の不安がある。

1. 人絹 市人三原工場(從事員7,200名)を唯

出に便
ある。

唯一の
として
てある
供給を

の生産
るもの
もので
等の
及び南

年間
に於
既と

平均
も

7/A
(%)
17.2
13.2
11.5

、鉄
業な
以来
事
額の
始少

0.2
の供
唯

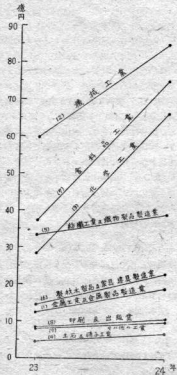
一のものとす。昭和25年下半期の生産希望額は6,579屯で全國の27,761屯に對し約24%に當る。

2. スフ 新光レーション大竹工場(従事員1,600名)がある。昭和25年下半期6,171屯にして全國の44,341屯に對し約13%を占むる筈である。

3. 織紡 向島紡績株式會社がある。本工業は岡山縣より大部低位にあつて昭和25年度1ヶ年分6,000屯の計畫であつたが原綿輸入の關係上多少見通し困難である。

4. 紙紗 東洋紙業三原工場がある。1ヶ年の生産見込み高は約1,500屯程度である。

廣島縣昭和23.24年度工場生産額



〔註〕 5人以下の工場を含む。但し家族のみの工場の場合は除く。

分類	工場數	後業員數	生産額
1. 全國工業及全國工業製品製造業	489	3,102	7,775
2. 機械工業 (電氣機械・精密機器を含む)	549	6,528	37,635
3. 化學工業 (ターナー・アルミニウムを含む)	412	9,136	15,785
4. 土石及ガラス工業	231	3,312	3,093
5. 織紡工業及織物製品製造業	861	515	22,842
6. 製材木製品及家具建具製造業	2,064	1,291	14,441
7. 食料品工業	1,332	1,205	10,395
8. 印刷及出版業	152	122	2,915
9. 其他の工業	412	229	4,942
合計	06,52	4,929	123,613
			113,009
			20,895,539
			33,931,570

註：5人以下の工場を含む。但し家族のみの工場の場合は除く。此の場合の生産額は昭和24年度4月6日0時0分0秒

II 化學工業

中國地方の化學工業は山口縣が中心である。然し廣島縣にも硫酸染料、二硫化炭素、硫酸等は盛大である。

1. 硫酸染料 關山市日本化類工場にして、昭和23年度の產額1,180屯にして全國比20%に當る。

2. 硫化曹達 三原市旭化學外2工場がある

年間5,000屯の生産にして全國比20%内外である。

3. 二硫化炭素 新光レーヨン大竹工場外2工場がある。月産4,000町の能力あり。全國比20%に當る。

此の外、岡山市のバリウム塩、廣島の船底塗料、廣島、呉、三原三市の酸素製造業、三原市の松根油、石炭酸樹脂、呉市金谷の人造バター、深川村の辨柄、新光レーヨンのメタアクリル酸合成樹脂工業等注目に値するものがある。

尚ほ澱粉工業、味の素再生油工業等もあるし呉市阿賀町の低炭製造も特異の存在である。

VI 鐵鋼業

1. 鋼鐵鋼成品 鋼鐵鋼成品を作るものには日本製鋼、尼鉄、日本重工（廣島造船、三原車輛）及び東洋工業が有るが何れも夫々船舶用機器、車輛及び一般機械などの部品を作るものである。

2. 鐵鋼二次成品 加熱鋸盤及び船釘は窮地區に集中して、冷間鋸盤は呉市で行はれてゐる。此の外仲絹工場は大浦崎、廣島及び安藝織材あり。関連して釘を作るが、其の量は多くない。

3. 伸鉄 屈鉄より小型ロールにて丸鋼材を作るものに呉尼鉄（年2,000噸）、窮地區仲絹業者（年10,000噸）及び仁方地區（年3,000噸）が存在する。之は屈鉄の不足する現在今後の發展が少くない。

4. 製銅 正式の製銅業者として僅に挙げられるものは尼鉄の電気製銅による銅塊年1万噸程度である。

然しあ既に日立製銅所の建設事務所が大坂及び呉に出来たが、本計畫は呉工廠平野4基の内2基を昭和26年8月までに動かし、年内約10万噸の銅塊を作ることである。

米國に往文したストリップミルが入荷するのを昭和26年末と考へると、昭和27年度には銅塊から概廣「チップレート」まで一貫作業が出来来る。更に將來は銅塊20万噸、成品15万噸の計畫

も出来るし、大坂工場の帶鐵工場などの移轉も考へられる。

此の外、帝國製鐵の木炭鉄は該業及び精錬の部に記入したから割愛するが、可部地方に再生鉄事業が盛大で一貫して鉛、釜の飼料を製作してゐる。

尚ほ目下話題に上つて居るものとしては次の如きものがある：

- A. 尼鉄の平炉作業と壓延
- B. 淀川製銅の呉進出と亞船鐵板の製造
- C. 仁方、廣地區の鍛、工具鋼生産

之等が實現すれば本縣の製銅業は欣びを極めりし、關聯機械工業も盛大となる事が想像される。

VII 窯業

1. セメント 三原に日本セメント工場がある。年間10万噸の生産で全國比2%に過ぎないが、良品を出して居る。本事業は廣島方面にも起る可能性がある。

2. 砂石 積内に8業者があり、設備能力は全國比20%で昭和24年度實績は全國比13%に當る。業者は呉、廣島、福山、川尻、西條に分布す。福山電氣は砕石から製品まで一貫して造つて居ることは注目に値する。

3. 其の他 廣島市廣島硝子會社の製瓶及び昭和金屬の玻璃器、吉名、安藝津方面の赤煉瓦、土管等は比較、宮島地方の陶器工業も漸次盛んに行はれる氣運に在る。

VIII 造船工業

鐵鋼船としては西日本重工廣島造船所、呉播磨造船、向島及び因島の日立造船、宇品造船が稼動してゐる。昭和24年度に於ては

廣島造船	9,400噸
向 島	2,900噸
因 島	7,800噸

の實績を擧げ、播磨造船も修理船に大きな役割を果した。

此の外、川南造船は舶用機械を作つたが全体的に觀て日本の造船業は92工場もあり、船合

222, ドック99, 船塗94も保有し能力年80万噸に對して昭和25年度16万噸程度の新造船計画故本縣造船業も影響を免れ難い。

其の他本縣海岸地方には中小木造船工場が多數有るが現在一般に不振である。

III 機械工業

1. 車輛 三原市に在る中日本重工三原製作所の機関車、貨車、エヤーブレーキの生産は著名である。

特に蒸氣機関車及電氣機関車の生産能力は夫々年間84台及60台であつて、全國比は尙ほも15%位に當る。6月までは不況であつたが現在極めて多忙である。來年度は朝鮮事變の如何により大きく左右される。

此の外両洋の東洋工業はオート三輪及び四輪車を作り年間1万台の能力があり全國比40%に當る。

2. 一般機械工業 東洋工業の整岩機、祇園町西日本重工の精機、福山電氣の電力計、津田のポンプ、又佐竹、中野両社の農機具等は著名である。

此の外尾道、福山、府中及災方面の内燃機或ひは織機機械、廿日市の丸二木工會社など注目に値するものである。其の他縣内一般に存在する中小鋳物工業乃至小鋼工所の存在も忘れられない。

IV 酿造工業

本縣の酒、味噌、醤油事業は何れも中國地方第1位又は1位の數字に近く昭和24年度に於ては次の如き實績を挙げた。

清酒	32,613石
合成酒	19,831石
焼酎	62,713石
麥酒	25,898石
醤油	70石
味噌	1,477貫

此の外味淋及び果實酒の多少の生産もある。

V 紙及びバルブ

本縣西端の大竹地方には手漉和紙の中小工場

が多數ある。其の他郡部にも存在す。大竹附近のものは昭和24年度25,200貫にして鳥取及津山市に次ぐものである。

現在桑木纖維等を使用してゐるが、三恒等を使用し高級和紙を造るのが手漉式の妙味のある所で然らずば中小合同して機械化可きである。

次に吳市廣町に東洋バルブ會社が創立されクラフトバルブ第1期1万台を作る計畫である。

昭和24年度全國生産3万噸に對し相當のウェイトの生産となる旨である。

VI 特産工業

中小工業であり乍ら全國比50%以上の生産を挙げ、本縣のため万丈の氣を吐くものを特産工業とすると昭和24年度の實積は次の様である。

全國比 (%)

鎌	8236(千本)	55
縫針	3300(百万本)	80
ミシン針	2400(万本)	55
鋼ベンチ	6000(百グロス)	50
ゴム草履	2050(千足)	70
疊表	4500(千枚)	50

此の外注目されるものに万年筆、毛筆、ドリル、チャック、チエン、漁網、レース、花瓶、木彫、硝子珠工藝品、蜜柑酒及び水產加工業などがある。

1. 鎌 鎌は吳市仁方地區で古い歴史を有し昭和24年度月平均實積は686,332本である。主要なる工場としては

壹万、壹三、三和、合同、山陽、楠本、仁方長島、越智、協同組合等である。

原料は日立安來、兵庫縣山陽製鋼、土佐電氣製鋼等入荷區々である。而も最近は粗胚品が多く且つ高價な爲業者の悩みは大きい。

2. 縫針 縫針は東鳴市を中心とし古い歴史を持ち、日本生産の80%を占めて居る。

南宋、印堂、中共方面にまで輸出しつゝあるも、英國品等と競争する覺悟を要する故素材を鋼線に換へる事などの研究が必要である。

昭和24年度の月産實績は195,377,000本であり、縣下主要工場としては次の各社がある。

三宅製針、中田商店、万國製針、横山製針
佐川製針、廣島製針、吉村製針、岡本製針
青木商店、田村製針、昭和製針等

3. ミシン針 鋼線を加工、23工程を経てミシン針を作る。本工業も内需の外工出が出来るので有望であるが、國內技術は必ずしも優秀ではなく今後研究の余地がある。

縣下主要メーカーとしては興産、光明、中村
頭山、日本、横山各ミシン針會社があり、その他尚14工場がある。月產能力合計は約270万本である。

4. 鋼ベン先 薄い磨き板より17工程を経て製作される。輸出可能な特産工業で月產約3万グロス生産の能力がある。

呉市、廣島市に多く、山田ベン先(株)山根ベン先工業所、加藤金屬(株)、壽ベン先工業所、樅東金屬(株)、岡田ベン先製作所、古川ベン先製作所等がある。

5. ゴム草履 地下足袋の生産は岡山が多いが、ゴム草履は廣島が主生産地である。即ち昭和24年度生産高は次の如く

岡山 110(千枚)

廣島 2,050 × の差異がある。

又本縣のゴム草履は日本全生産高の70%を占めてゐる。履ゴム再生利用であつて、廣島が中心であるが、呉、福山両市にも若干の工場がある。

6. 穫表 之は廣島及び岡山両縣の特產品である。昭和24年度の實績は

廣島県 4500(千枚)

岡山県 4429(千枚)である。

兩縣共に古い歴史を有し、家内工業として發展したものであるが、日本各地に送られ業となることは周知の事柄である。

XIV 電力

日本の發電は石炭事情及び包水量より考へて當然水力を主とすべきである事は万人の認める

處であつた。全國の包水量は2,000万キロワットの水力發電を可能とするが既存のものは400万キロワットに過ぎない。

中國地方は之の5%既ち30万キロワットの既存設備を存するに過ぎぬ故、當然本縣の電力事情は窮屈であり從つて大企業の設立に不利である。

近時新光レーヨン、帝人などの本縣工業の一部が岐阜、愛知縣方面に擴張工事を求めてゐるもの之等の爲ではないかと考へる。

廣島縣、島根縣合同による江川12万キロワット發電の事業などは本縣10年計画として當然考へねばならぬと思ふ。

XV 安本算定の礦工業生産指數

礦工業生産指數實績並に見透表

昭和7-10年—100

項目	24年度 實積	25年度 見透	26年度 見透
生産活動	96.2	114.7	124.9
公益事業	173.1	182.7	188.0
礦工業生産	80.0	100.5	111.8
礦業	103.3	115.2	122.8
工業	77.4	99.0	110.5
金属	96.7	131.5	151.5
機械	111.7	124.2	133.6
窯業	94.8	113.2	120.5
林産	102.4	105.0	105.0
織維	25.5	42.1	51.6
化學	87.7	122.5	146.3
食品	75.3	82.4	92.0
印刷	69.7	83.0	88.0

註：昭和25、26年度の電力は昭和24年度(過去8ヶ年の最高)程度の豊水が體積するものと想定した。

XVI 結論

昭和26年度、安本の見透しは礦工業生産平均昭和25年度100に對し、110と言ふ数字を出してゐる。又品種別に主なるものを列記すると次の如き数字で多少指數に差がある。

	昭和25年	昭和26年
木 材	2,500 千石	3,000 千石
銅 鋼	29 千噸	60 千噸
綿 糸	6,000 千ポンド	25,000 千ポンド
ト ラ ツ ク	7,059 台	10,000 台
汽 車	89 台	305 台

然し之等は朝鮮事變如何で今後も大いに變る

し、本縣としては、人造絲維、鐵鋼、車輛、特產工業など大いに注意せねばならぬ諸問題を残して居る。

附記 本稿は廣島縣統計課及び中國地方總合調所の統計に基く点が相當にある、記して感謝する次第である。

以上 (昭和25年12月20日)

Nodular Graphite Cast Iron に就いて(輯錄)

佐久間 安正

上緒言

元來鋼鐵と言ふものは、安價で而も比較的強度の高い鋼物と言ふ意味で、創成以來各種の用途に使はれたものであるが、眞鍛鉄は黒鉛が大きく片状に發達してゐる爲め、鋼に比べて遙に脆く、從つて古來此の鍛鉄の特徴を生かし、而も鋼に近い性質を持つものを創り出す爲に色々の研究が行はれた。即ち特殊元素を加へた特殊鍛鉄、高級鍛鉄、或は更に白洗を焼純して黒鉛を球状のテンパーーカーボンにした可鍛鍛鉄等色々有るが、要するに算込んだ後で鋼に近い性質を持つと言ふ要求には、未だ程遠いものであつた。

所が今次大戦後歐米に於て、鉄鋼にセリウム又はマグネシウムを少量加へる事によつて、黒鉛は球状化し、鍛込んだ値で强度非性共に鋼に近いものが得られると言ふ、實に劃期的な研究結果が發表された。

本研究は、鉄鋼業界多年の宿望を達成するものとして、依然断界の注目を浴び、爾來世界各国に於て、此の完成に向つて超大な努力が捧げられてゐる状況である。

即ち Nodular Graphite Cast Iron, Spheroidal Cast Iron, Ductile Cast Iron, Mechanite Cast Iron 等々と呼ばれてゐるもののが多である。

本報告に於ては昭和25年9月迄に發表された諸文獻を元として、此のノデュラーニ鉄の歴史及び現状を調査した結果に就いて述べる。

II ノデュラー鑄鐵の歴史

今次大戦前既に獨逸に於て、無鉄に銹放^のの儀で球狀化した黒鉛が現はれると言ふ研究が發表されて居り^{1) 2) 3)} 微量のMgを含む銹鐵に關する特許（獨逸特許 649475 及 658197）もあるが

球状黒鉛鑄鐵を工業的に創成する事に初めて成功したのは、今次大戦後、英國の British Cast Iron Research Association の H. Morrogh で 1947 年 Journal of the Iron and Steel Institute⁴⁾ に Ni-C, Co-C, Ni-Fe-C 合金に球状黒鉛組織が得られたと發表した。⁵⁾

其後 Morrogh と其の協同者は引續いて、錫鉄に Ce を添加する事によつて、錫放しで球状黑鉛が得られ、而も機械的性質が著しく改良されると言ふ事を發表した。⁷⁻¹²⁾

1948年5月5日ロンドンでMorrogh及Williamsの報告に対する討議が行はれた席上、米國に於けるMg處理の成功が發表された。¹³⁾

米國に於ける Mg 處理による黒鉛球状化の研究は International Nickel Co. 及 Mond Nickel Co¹で行はれたもので、1938年5月7日フライデルフィヤに於ける米國鉛協會の席上で、主として Ni-Mg 合金の添加による黒鉛の球状化について發表された。同社は米國特許 No. 2485761 及 No. 2485761 の二件を保有してゐる。

其の後 Mg 處理に関する研究が急速に進み幾多の論文が發表されるに至つた。¹⁴⁻²⁷⁾

然るに Mechanite Metal Corp. の O. Smalley は Morrogh の発表に對し、書簡を送つて、球状黒鉛發現の功を爭つてゐる。²⁹⁾

即ち同氏によれば、同社では既に戰前から、
 Mg, Ce, Se, Te, Sb 等を鉄鋼に使用する研究を行ひ、黒鉛化用のカルシウム珪化物と共に炭化物安定剤として Te を使用すると青い米國特許 No. 2364922 を保有してゐると言つてゐるが、元祖争ひはさておき、何れにしても工業化と言ふ点から見れば Ce も Te も共に Mg の敵ではない。

其の後今年に至る迄、街引被いて色々報告が発表されてゐるが、吾が國に於ても 1949 年以

各研究所、工場で熱心な研究が積み重ねられ、昭和24年の學會以来各種學會、パンフレット或は雑誌金属等に理論、製造の両面から検討されてゐる。

此の様に本合金に関する斯界の關心は必然的に今後の發展を期待させるものがある。

III セリウム處理

Morrogh の發表¹¹⁾¹²⁾によれば、セリウム處理を行ふには原料鉄の成分に對し次の様な可成り嚴しい制限がある。

1. 鉄はセリウム處理をしない場合、京鐵となるものでなければならぬ。

2. 鉄の炭素量は過共晶で 4.3—% (Si(%)+P(%))以上であること。

3. Si 含有量に制限はないが、2.3—7%の範囲内にあることが望ましい。

4. S は出来るだけ少く、Ce 處理後 0.02%以下

であること。

5. P は 0.6%以下でなくとも 0.1%以下の事。

6. Mn, Cu, Ni, Cr, Mo は問題でない。

7. Ce は處理後 0.02%以上である事。

此の中で第1は絶対に満足されねばならず、其の他では C, S の量が重要である。

Ce は先づ鉄中の S と化合して硬化セリウムを造つて表面に浮び上り、S が 0.02%以下になるとこれは鋼鉄と合金は造らない。之以上の量の Ce は鉄と合金を造り炭化物を安定する作用が強い之が凝固し始るとセメントタイトを含んだ白鉄となり之が分解して球状黒鉄となる。

同氏はヘマタイト鉄鉄 (C 3.95%, Si 3.19% Mn 0.78%, P 0.040%, S 0.028%) を坩埚炉で熔かし、鋳込前に Ce 0.12%を加えて第1表に示す様な二種の合金を作り各種試験を行つた。結果の一例は第2表の通りである。

第 1 表

	C	Si	Mn	P	S	Ce
再 烷 解 鋼 鉄	3.77	3.05	0.73	0.039	0.023	—
Ce 處理したも	3.72	3.13	0.74	0.038	0.007	0.040

第 2 表

試片の 直徑吋	横破断力 磅/吋 ²		挽み時		抗張力 磅/吋 ²		ブリネル硬度		衝撃値 吋/秒	
	處理 せす	處理 せす	處理 せす	處理 せす	處理 せす	處理 せす	處理 せす	處理 せす	處理 せす	處理 せす
1.6	23.0	44.2	0.20	0.32	11.2	24.2	154	185	—	—
1.2	28.8	45.3	0.28	0.38	14.3	24.6	160	198	—	—
0.875	30.7	47.1	0.18	0.23	16.6	26.6	162	199	12	43
0.6	30.8	57.4	0.11	0.22	18.6	29.5	198	239	—	—

然し本法では、鋼鉄の成分の僅の變化に依つても白鉄化する危険があり、色々研究した結果 Ce 添加と同時又は直後に黒鉄核発生を促進させる二重處理法が發見された。即ち本黒鉄核発生促進剤としては、80%珪素鉄、SMZ (63%Si

6%Mn, 6%Zr, 20%Fe) 及珪化カルシウムがあり、特に前二者がすぐれている。Ce を添加するには之が元來高價な金属であるから、むしろ Misch Metall (45~55%Ce, 硅酸カルシウム) として添加する方が安價且作業が容易である。此

二重處理に依つて料張力 $\sim 60 \text{ kg/mm}^2$, プリネル硬度 250 \sim 300 衝撃値は普通鑄鉄の数倍以上になる。應力一垂曲線は鉄鉄と鋼の中間のものである。

此様に Ce 處理をする事に依つて可なり良好な性質を得る事が出来るが、前記の様に使用原料に對する制限が厳しく、且 Ce が高價な爲、

球状鑄鉄の問題は次第に成分の制限が少なく且安價な Mg 處理に局限されて來た。

III マグネシウム處理

1. 化學成分の條件

從來の研究結果を総合すれば、大体第3表の通りである。

第3表 化學成分

研究者	C	Si	Mn	P	S	Ni	Mg	備考
—	3.2	2.6	0.6	0.1	0.006	2.05	—	文獻 23
C. R. Austin	3.5 \sim 3.6	2.2 \sim 2.5	0.8 \sim 1.0	< 0.1	< 0.02	—	—	✓ 25
T. E. Eagan	3.25 \sim 3.53	2.04 \sim 2.33	0.42 \sim 0.8	0.06 \sim 0.13	< 0.01	1.58 \sim 1.95	0.07 \sim 0.105	✓ 26
A. Campion	3.2 \sim 3.6	1.8 \sim 2.5	0.10	< 0.04	—	3.6	—	✓ 27
C. K. Donoho	3.2 \sim 3.8	2.7	0.65	0.10	0.02	—	0.045 \sim 0.060	✓ 19
M. Kuniansky	3.4 \sim 4.2	1.6 \sim 2.0	< 0.4	< 0.20	0.03 \sim 0.05	—	—	Foundry, 76 (1950) No 1 62
Lynchburg	3.6 \sim 4.2	2.0	0.3	0.10	0.04	—	—	文獻 29
谷村教授	3.0 \sim 3.7	> 3.0	~ 0.5	< 0.05	低	—	—	
岡本	3.2 \sim 3.8	2.5 \sim 3.0	< 0.25	< 0.04	< 0.1	—	—	
草川隆次	3.2 \sim 3.6	1.8 \sim 2.5	0.3 \sim 0.4	< 0.05	< 0.03	—	—	文獻 32
堀川一男	> 3.2	> 1.6	< 0.7	< 0.1	< 0.07	—	0.02 \sim 0.1	✓ 33
平木俊章	> 3.0	2.5 \sim 3.5	< 0.5	< 0.05	< 0.09	—	—	✓ 30

註： 本表は Mg 處理前及處理後の分析結果双方を含んでいる爲、 Si が多目、 S が少目に出たものあり。

研究者に依つて成分範囲が多少異なる様であるが、之は使用地金熔解炉及合金の種類或は熔解技術の巧拙等が影響した結果である。

Mg 處理が Ce 處理に勝る点は、成分の制限が少い点であつて、各元素個々の影響について大体次の通りであるが、此各元素相互間の綜合作用に關しては尙検討を要する問題が多い。

C …… 過共晶豆共晶何れでも良いが、成るべく高い方が好ましい。

Si …… C との綜合作用を考へねばならぬが、少ないとフェライトが出来難く、又 3% 以上になると脆くなる。

Mn …… 多いと黒鉛の析出が困難になる。

P …… 伸に可なり影響し多くなると磷化鐵結晶を析出し脆くなる。

S …… 低いにこした事はないが多少多くても Mg に依つて脱硫される。

第3表を基にして本鑄鉄用地金としては、大体次の様な C Si が多くて Mn P S の少い低鑄鉄が最適の様である。

C 3.2 \sim 3.8, Si 2.5, Mn < 0.5, P < 0.05,

S < 0.08

所で肝腎の球状化元素たる Mg は、何%あれば良いのかと云う問題に關しては、未だ余り好

この資料がない。

Donoho氏が高炭素鉄について Cu-Mg 母合金を使用して行つた試験結果、並に炭素の影響

を調べる爲、組成を略一定に保ち鋼屑を徐々に加へて C 量を増めて試験した結果を表第 4 表及第 5 表に示す。

第 4 表 高炭素鉄に及ぼすマグネシウムの影響

取 銅 番 號	T. C	Si	Mg 合金	Mg %			抗張力 kg/mm ²	B. H. N.
				添加量	分析量	歩留%		
1	4.18	1.58	航空機資材(90% Mg)	0	—	—	14.1	126
2	4.16	1.78	〃	0.60	—	約 6	35.8	174
3	4.14	2.02	〃	0.75	—	約 6	73.3	229
1	4.05	2.33	50—50 Cu—Mg	0.25	0.025	10	8.8	111
2	4.18	2.21	〃	0.38	0.028	8	13.9	103
3	4.13	2.61	〃	0.50	0.029	6	19.7	90
4	4.06	2.39	〃	0.63	0.045	7	56.9	223
1	3.57	2.20	50—50 Cu—Mg	0.60	0.503	9	79.5	235
1	3.62	2.61	70—30 Cu—Mg	0.26	0.029	11	29.7	192
2	3.62	2.61	〃	0.40	0.068	17	82.8	285
1	3.71	1.87	80—20 Cu—Mg	0.20	0.024	12	16.0	103
2	3.71	1.87	〃	0.30	0.035	12	83.7	255
3	—	—	〃	0.40	0.065	16	73.6	293
1	3.44	2.19	82—18 Cu—Mg	0.22	0.058	26	87.3	285
2	3.44	2.19	〃	0.30	0.085	28	81.6	277
3	3.44	2.19	〃	0.42	0.094	22	74.5	385

註 (1) Mn 0.50~0.80 P の最高量 0.16 S の最高量 0.05

(2) Mg 處理後取銅に 75% 硅素鉄を Si として 0.40% 添加す

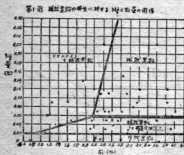
(3) Mg は分光分析による。

第 5 表 低炭素鉄の場合

取 銅 番 號	化 學 成 分 %					Mg %			抗張力 kg/mm ²	B.H.N.
	T. C.	Si	Mn	P	S	添加量	分析量	歩留%		
1	3.83	2.70	0.65	0.10	0.02	0.75	0.048	6.5	64.7	212
2	3.72	〃	〃	〃	〃	〃	0.045	6	63.5	217
3	3.48	〃	〃	〃	〃	〃	0.060	8	60.1	223
4	3.15	〃	〃	〃	〃	〃	0.049	6.5	69.4	229

何れの場合も残留Mg 0.045%以上で略目的を達している。然るに Myskowski Dunphy 両氏が Fe—Si—Mg 母合金 (Si 30% Mg 8%) を使用して試験した結果²²⁾に依ると、Si が 2.2%以上ならば残留 Mg 0.06% で完全に球状化しているが (添加量 0.08~0.1% Mg), Si が少ないと Mg がもつと少くとも球状化すると述べて第 1 図を提供している。

第 1 図



此様に僅か二人の結果でも、かなり Mg 量に開きがあるのは、Si S 等の他の元素の影響も大きく、又此種少量の Mg の分離は普通の化學分析では難別困難で、どうしても分光分析に頼らなくてはならないが之も亦可なり高度の技術を要し、之等が残留 Mg 量の黒鉛球状化に及ぼす影響を明瞭にし得ない理由である。但し Mg が多すぎると白鉛化の危険があり、大体上記の結果より Mg の必要量は 0.05~0.1% の間に在ると思はれるが、何れにしても此黒鉛化に必要な Mg の量の決定は今後急いで解決されねばならぬ問題の一つであると云へよう。

2. 母合金の種類及び製造方法

純 Mg (或は航空機材でも良い) は沸点が 1086°C であるから之を熔融した鐵に加へると大部分揮散してしまい非常に歩留が悪い為、米國では Mg を Cu, Ni と合せたものを母合金として使用する事が考案された。然しそも余り歩留は良くなく、又 Ni, Cu が鋼鐵中に残留して返り材処理に對する難点があり、次第に

Fe—Si—Mg 三元系合金が使用される様になつて來た。之は Mg 量が少い為歩留が良く、又 Fe Si 共に鋼鐵中に殘留しても別に問題はないので非常に有効の様に思はれるが、唯製造が些か困難の様である。

吾國に於ける研究には主として Cu—Mg 合金が使用されているが、最近岡本教授の考案になるものがノデュライトと云う名前で賣り出されて居るが、之は Ni—Cu—Si—Al—Mg—Fe と云う多元系の合金で、融点の低い事を狙つたものである。之等母合金の代表的なものを第 6 表に示す。

次に之等母合金の製造方法について述べる。

A. Cu—Mg, Ni—Mg

鉄か黒鉛の坩堝にフランクス (普通の Mg 用フランクス、例へば $MgCl_2$ 60 $NaCl$ 40) 被覆の下に、Mg を熔かしておき、Cu 又は Ni を添加して行く。或は先づ Cu を熔かして置き之にガラス片を添加して表面にガラスの膜をつくり空氣との接觸を断つて Mg を鐵の棒にしづりつけて熔湯中に押し込む。或は又 Cu を熔かして之が熔け落ちたフランクス ($MgCl_2$ 50 $NaCl$ 45 NaF 5) を加へて被覆し (全量の約 1%) 直ちに Mg を押し込む。以上何れの場合も Ni, Cu が坩堝の底に偏析する傾向があるから良くな攪拌する事が必要である。

B. Fe—Si—Mg

最初 Si の多い Fe—Si を熔かしておき、之に Mg を加へてゆく方法であるが製造は困難な様である。

其他 Ni—Si—Fe—Mg (ペルギー) Ca—Si—Fe Mg (フォード) Ca—Si—Mg の様な多元系合金を使用する方法も行われている。此の内 Ni—Mg は Cu—Mg より作用が激しい様である。

3. 接種剤

球状黒鉛をつくる場合、極めて高炭素鐵以外¹⁹⁾單に熔湯に Mg 處理をしただけでは完全な球状黒鉛は得られない。夫には Mg、處理後直ちに取鍋中に黒鉛化促進剤を加へてやる事が必要である。促進剤としては 75% Si—Fe, 50% Si—Fe

第6表 母合金の種類と歩留

考案者	合金属	化學成分 %						歩留 %	備考
		Mg	Cu	Ni	Si	Al	Fe		
Union Carbide & Carbon Corp.	Mg—Si—Fe	7	—	—	45	—	鐵	35~65	文獻 2)
"	Mg—Si—Zr	—	—	—	—	—	—	7~20	" "
Naval Research Laboratory.	Mg—Si—Ee	8	—	—	50	—	鐵	60~73	" 22
C. K. Donoho	Ni—Mg	50	—	50	—	—	—	6~10	" 19
"	Cu—Mg	50	50	—	—	—	—	9	"
"	Cu—Mg	30	70	—	—	—	—	11~17	"
"	Cu—Mg	20	80	—	—	—	—	12~16	"
"	Cu—Mg	18	82	—	—	—	—	22~28	"
岡本正三	Ni—Cu—Si —Al—Mg Fe	15	10	40	25	5	鐵	—	ノデュラ イト

SMZ(前出)等が用いられているが、最も普通には75%珪素鐵が使用されている。但し母合金としてFe—Si—Mgを使用した場合は促進剤をかける必要はないと言はれる。

此の促進剤は接種剤(Inoculant)と呼ばれて

添加量はDonoho 其他米國ではSiとして0.4% 添加すれば十分であると述べているが、平木氏の試験結果(30)に依れば第7表に示す様に、0.5%以上添加するのが安全であると述べられている。

第7表 接種剤の影響

Mg 合金 添加量 (20%Mg + Cu)%	Ee-Si (75%) %	處理後の成分		抗張力 kg/cm ²	伸 %	ブリキル 硬度	粗 粒 鐵
		C %	Si %				
1.2	1.5	3.65	2.53	45.6	2	197	黑鉛は球狀、地はバーライト、一部フェライト
"	1.0	3.66	2.20	44.6	1	207	黒鉛は球狀に近く、地はバーライト
"	0.6	3.68	2.20	42.7	1	207	黒鉛は球狀に近く、一部片狀黒鉛折出
"	0.36	3.65	1.93	45.5	—	217	黒鉛は球狀に近く、地はバーライト

一般に接種剤を添加すると熔融の温度が下るから添加温度はかなり高い事が必要で、Donoho氏に依れば 1370~1400°C と云はれている。又添加の時期は Mg 處理後出来るだけ速い方が良く、此時間が長くなると Mg の損失多く Mg 處理の効果が失はれる恐れがある。

Donoho氏(2)に依れば、第8表に示す様に Mg 處理後鉛込芯に35分経過したものは既に25%の

球狀黒鉛になり、10.5分過ぎると全部再び元の片狀黒鉛になると云う。即ち接種剤添加の時期は Mg 處理後 1~2 分の間でなければならぬ。

4. ノデュラー鑄鐵製造方法

熔解炉としては電気炉(エルー式、高周波)、坩埚爐、モユボラ何れでも製造可能であるが、モユボラの場合は餘程 S の少い材料を選ばないとコーケスから加熱する傾向があり、又高溫

第8表 Mg処理後の保持時間の影響 (1500°C)

熔解番號	化學成分%						添加量%		粗織	ブリネル質
	T.C.	Si	Mn	P	S	Mg	Mg	Si		
							添加量	添加量	時間	時間
1	3.24	2.39	0.83	0.08	0.043	0.052	0.35	0.6	0.4	0.5
2	3.24	2.39	0.83	0.08	0.043	0.029	0.33	0.6	0.4	3.5
3	3.24	2.39	0.83	0.08	0.043	0.017	0.35	0.6	0.4	6
4	3.24	2.39	0.83	0.08	0.043	0.010	0.36	0.6	0.4	10.5
										全球狀黑鉛
										269
										25%球狀黑鉛
										223
										15%球狀黑鉛
										179
										全片狀黑鉛
										179

註 Mg-Ni-Mg合金として添加

の熔湯が得難い為、なるべく電気爐増堀爐を使用した方が良い。

之に關して Donoho 氏の實驗結果もあるが使用した Mg 量が一定でない為、其の僅熔解の影響を云々する事はむつかしく、平木氏³⁰が種

々爐を變へて球狀黑鉛が析出するに要する Mg の所要量を定めた結果は第9表に示す通りで、キユボラが最も多量の Mg を製しアーケ爐は S 量の多い増堀爐より多くの Mg を要したという結果になつてゐる。

第9表

試験番號	熔解爐	化學成分%					添加 Mg 合金%	添加 Fe-Si (75%)%
		C	Si	Mn	P	S		
1	増堀爐	3.72	1.99	0.87	0.26	0.051	Cu-Mg (25%)	0.52
2	アーケ爐	3.64	2.05	1.07	0.39	0.033	アーケ	0.71
3	キユボラ	3.32	1.96	0.86	0.21	0.041	Cu-Mg (30%)	2.36
4	アーケ爐	3.10	2.33	0.74	0.38	0.032	アーケ	2.5
5	アーケ爐	3.80	1.78	0.49	—	0.0027	アーケ	1.0
6	アーケ	3.84	1.67	0.53	0.08	0.0021	アーケ	1.2
7	アーケ	3.30	3.20	0.53	0.0531	0.001	アーケ	1.25
								0.6

作業方法の概略を述べると、先づ熔湯を取鍋に取り之に Mg 合金を添加するのであるが、之には Mg を取鍋の底に置き上から熔湯を注ぎ込む方法と取鍋の熔湯の中に Mg をオスフオライザー様のもので押し込む方法があるが、前者は Mg の損失が多く又反応も激しく後者の方が通常の様に思はれる。併し總ら Mg の少い母合金でも白光を發して燃える爲別に危険はない

が、オスフオライザーを工夫して之に蓋を取り付け熔湯に Mg を押し込むと同時に此蓋で取鍋を覆ふ様にすれば安心である。

Mg 処理が済むと引抜き直ちに、接種剤としての珪素鐵を投入し、良く攪拌して直ちに鍋込む様にしないと添加剤を加へた爲湯温が低下しているから思はぬ失敗を招く恐がある。

尚 Mg 処理温度について Union Carbide &

Cardon Corp²⁴⁾ の研究に依れば第10表に示す

様に、處理温度が 1435°C 以下でなければ全焼
状黒鉛とならず、又處理温度が高くなると共に
抗張力が低下する有様は第II表に示す通りであ
る。

第10表 Mg處理温度と歩留並に球狀化の關係

Mg 處理溫度 °C	Mg の歩留 %B	挽 み mm	粗 穢
1740	6.6	8.6	球狀黑鉛
1630	10.0	6.9	十刃析セメン タイト
1540	18.0	6.4	
1435	16.0	15.2	球狀黑鉛
1330	19.0	14.5	

第 11 表

Mg 處理溫度 °C	抗張力 kg/mm ²
1450	45.5
1400	58.2
1350	61.0

5. 雜誌性

此の錫鐵の流動性は原鉛液と餘り變りはない(13)30湯は赤味を帶びているが靜に流入する。但し Mg 及 Fe-Si 處理に依つて熔湯の溫度が低下するから豫め熔解溫度は高くしておく必要がある。然し收縮は可なり大きく、鑄造方案は鋸細と周密面にしなければならない。

肉厚の差に依る影響も第12表及第13表に示す様に餘りに大きくはなく、片状黒鉛鑄鐵より小さい。

第12表 肉厚の強度に及ぼす影響¹⁰⁾

直徑 mm	抗 張 力 kg/mm ²	ブリネル 硬 度
15.2	68.5	234
22.2	64.7	238
30.5	56.4	229
50.8	54.5	201
76.2	53.8	201

第13表 肉厚の堅度に及ぼす影響³⁰⁾

直径 mm	ブリネル 硬 度	組 織
13 。	315	黒鉛は蝶状 地はセメントタイト
22	293	黒鉛は擬球状の小さな 片状
30	315	地はペーライト
42	277	黒鉛は大きな球状
52	279	地はペーライト

肉薄のものは球状化はするが白続化の傾向あり、42mm以上のものは大きな球状になり此中間のものは片状塊鉢が混ざつたものである。

6. 機械的性質

球状黒鉛鑄鐵が片状黒鉛鑄鐵よりすぐれてい
る性質の一つに軽性がある。其一例を第14表第
15表に示す。

第 14 表 (13)	第 15 表 (13)	第 15 表 (13)	第 15 表 (13)	第 15 表 (13)	第 15 表 (13)	第 15 表 (13)	第 15 表 (13)	第 15 表 (13)
抗張強度 [kg/in ²]	降伏強度 [kg/in ²]	伸長率 [%]	屈服強度 [kg/in ²]	伸長率 [%]	屈服強度 [kg/in ²]	伸長率 [%]	屈服強度 [kg/in ²]	伸長率 [%]
20.3	—	—	23.0	—	26	—	23.0	—
3.5	—	—	45	—	45	—	60	—
45	33	3	105	3	105	3	275	3

此様に鍛放しのものでも、片状黒鉛鉄に比べて可なり軟性は大きいが、之を焼結してエラサイト地にしたものは更に著しく衝撃に弱くなる。又 Campion氏²⁷に依れば、鍛放しのもので28時間に 4×10^5 壓んでものが $450 \sim 500^{\circ}\text{C}$ に加熱して歪を除去したものは、20度で 2×10^5 壓むにすぎない。

切削性は同一硬度の黒鉛鉄と同等或は夫以上で、鋼の様に滑かに仕上ける事が出来、焼純したものでは連續した削屑を生む。

斯る組織のもの故耐摩耗性も恐らく良好である。

耐熱性も亦すぐれている。即ち成長に対する Ni-Cr 錫鐵に勝る。Gagnecin(氏¹⁸)によれば第16表の様に従来の耐熱錫鐵より遙に良好な結果を得ている。

第16表 870°Cに於ける成長結果

種類	黒鉛形状	化 學 成 分 %				成長率% (長さの變化)	酸化深度 時
		C	Si	Ni	Gr		
黒鉛鉄	片状	3.5	2.5	—	—	12.1	0.50
クローム錫鐵	片状	3.6	1.9	0.9	1.3	2.8	0.063
球状黒鉛錫鐵	球状	3.5	2.4	1.8	—	2.1	0.026

伸び率は 1700000 g/cm² で耐疲労性も大きい。電気抵抗は大体 60~80Ω/ミリメートル²/立方厘米で、黒鉛含有量の減少と共に減少する。

7. 熱處理

第17表 鑄放し及 725°C 4及8時間焼鈍材の諸性質¹³)

	抗張力 kg/mm ²	降伏点 kg/mm ²	伸 %	断面收縮率 %	アイソフット衝 撃値 kg-m 0.457	ブリネル 硬度
鑄放し	69	51	3.0	3.6	1.6	274
焼 鈍 4 時間	49	31	13.5	12.0	4.4	170
8 時間	48	31	15.0	14.8	7.2	162

第18表 Mg 處理錫鐵と焼鈍の影響¹⁹)

試験番號	錫造状態				900°C 1時間焼鈍後				
	抗張力 kg/mm ²	降伏点 kg/mm ²	伸 %	絞 %	ブリネル 硬度	抗張力 kg/mm ²	降伏点 kg/mm ²	伸 %	絞 %
1	64.7	42	9.4	7.5	180	49.4	32.4	21.5	19.6
	65.7	42	8.1	6.5	186	49.2	32.2	17.8	18.1
2	58.0	34.6	11.2	9.8	170	48.9	31.7	20.4	19.6
	55.2	38.7	3.6	1.5	170	44.7	36.3	11.5	4.0
3	55.4	—	3.8	3.5	187	45.1	38.9	8.9	7.0
	72.1	—	9.0	7.5	207	54.1	38.0	20.3	23.5
4	71.0	44.0	6.7	5.5	213	53.4	38.2	18.6	17.0
	73.3	47.0	4.3	3.4	241	54.3	38.1	16.5	14.0
5	74.0	—	4.8	4.0	229	53.4	38.1	14.9	12.7
	—	—	—	—	—	—	—	—	163

註 抗張試験片 横 12.8mm 標点距離 50.8mm 素近似値

第 19 表 (30)

試験番號	鍛造状態			焼純状態			條件
	抗張力 kg/mm ²	ブリネル 硬度	伸 %	抗張力 kg/mm ²	ブリネル 硬度	伸 %	
A	65.7	285	0	47.4	229	2.0	890°C 1 hr 炉 冷
B	64.3	277	1.0	41.6	197	4.0	900°C 1 hr //
C	61.4	255	4.0	46.1	212	12.0	890°C 1 hr 空 冷

以上の様に焼純温度は研究者に依つて異なるが大体 900°C 1 時間で十分であらう。

8. 用途

以上述べた様な色々の特徴を生かす様な用途即ち耐衝撃性、耐腐耗性、耐熱性等を要求する様なものには何れも最適と思はれる。

例へば米國のフォードでは、自動車のクラシックシャフトの様なものにまで使用していると云ふ話もある。

9. 特許に関する事項

現在ノデューラー鋼鉄の最も大きな問題の一つに特許の問題がある。即ち Ce 處理については英國鋼物調査協会が申請して、昭和24年11月15日米国特許第2488511～3号として公表され、又 Mg 處理については米國工業所有権公報に記載された特許番號は米國特許第2485760號及第2435761號の2件で、発明者は何れも K. D. Mills 及び 2 名、特許権者は The International Nickel Co. となつてゐる。之等は何れも1947年3月22日に出願されたもので、前者の請求範囲は17項目から成り、公報記載の第3項には“遊離炭素と、この遊離炭素を實質的に形成するに有効な、量で約0.4%以下の少量のマグネシウムを含む鋼鉄でその成分はマグネシウムを含まぬ場合には遊離炭素を片状で含有する鼠歯の成分を持つものである”又後者は8項から成り、公報にはその1項が載せてある。即ち“25～5%の炭素、1.5～4.5%の珪素、0.01～2.5%のマンガン、0.04～0.02%のマグネシウムを含む鋼鉄より成る鼠歯鉄で造られた鋼鐵で、その鼠歯鉄は黒鉛の少くとも75%を緻密な薄片状で含む顯微鏡組織を持つ特

長がある”此特許請求範囲の持つ特徴は、普通の成分範囲のみで権利範囲を限定するものと異り、全く異例とも云うべき顯微鏡組織を一條件として加へている事である。而して之はMg を含むノデューラー鋼鉄の殆んど總てを包含するものと云ふべきで、又上記各項目以外の諸項目中でどの様な範囲に請求されているかは不明である。

本特許は連合國人の特許権についての戦後措置として、昭和24年8月16日公布された政令中“戰時中自國で出願したが日本に出願出来なかつたもの”に該當し、“昭和24年9月1日から昭和25年8月31日の間に所定の手續をして出願されれば、昭和15年12月8日以後連合國に出願した特許はその出願日で日本に提出したものとして優先権が與へられる”と云う事になる。即ち今の場合本年8月31日迄に出願されたならば、最初の出願日1947年3月22日に日本に提出したものとの見做されるわけである。

現在既に8月31日は経過して居るが、未だ詳細に關しては不明な爲、本特許の取扱がどうなるか判らないが若し特許が取られたとしても一般鋼物工場何處でも使用し得る様な當局の賢明なる措置を期待したい。

V キュボラに依る製造

以上の様にノデューラー鋼鉄の製造或は實驗には主として電氣爐又は坩堝爐を使用して居るが本合金を廣く普及する爲にはどうしても現在の中小鋼物工場を對象とし、普通の材料を使用してキュボラで熔解して安全にノデューラー鋼鉄が出来る様にならなければならぬ。所が未だ之

に関する實驗結果は極めて少なく、一二の小規模の實驗結果だけで直ちに結論を云々する事は極めて危険ではあるが、多少注意してやればどうやらキュボラでも、デュワー鉄鉱は出来そう

である。

文献13に記された實驗結果は第20表の通りである。即ち略一致した結果が得られる。

澤井氏の結果³⁴⁾に依れば下記要領で實驗し

第20表 片状黒鉛鑄鐵の取扱い¹³⁾

處理番號	T. C.	Si	Mn	P	S	Ni	抗張力 kg/mm ²	ブリネル 硬度
11	3.15	2.67	0.60	0.09	0.006	2.11	74	286
12	3.25	2.64	0.60	0.09	0.006	2.04	64.5	290
13	3.20	2.61	0.60	0.09	0.006	2.01	69	283

完全な球狀黒鉛は得られなかつた様であるがそれでも抗張力 50kg/mm² 伸 2%、ブリネル硬度 225 程度のものが得られた様である。

1. 5号爐 2段羽口 羽口比 $\frac{1}{15}$ 1回装入量 150 Kg、コーカス 阿賀 1號 20kg/回 石灰石 6kg/回 5馬力ルーツブロワー 風壓 300~350mm

熔解温度 1400~1450°C Cu-Mg (50~50) Mg として 0.7~1% Fe-Si (75%) Si そして 0.5~1.0%

鍛造温度 ~ 1380°C

T.C.	Si	Mn	P	S
3.4±0.2	2.3±0.2	<0.5	<0.2	<0.1

平木氏の實驗³⁰⁾に依つても第9表に示す様に Mg を多く要し稍困難ではあるがキュボラでノデュワー鉄鉱を造る事は可能の様である。然し何れにしてもキュボラ熔解に關しては未だ研究すべき問題が多い。

II 黒鉛球狀化の機構

Ce 或は Mg で處理した 鉄鉱の黒鉛が何故球狀化するかと云う点に關する外國の文獻には未だ接しない。吾國に於ては昨年頃からノデュワー鉄鉱製造の研究と併行して此球狀黒鉛發生の機構に關しても各學校研究所で色々研究が進められて居り、何れ近く解決されるものと期待して居るが現在では未だ決定的な結論は出されて居ない。

VII 結 論

本球狀黒鉛鐵は鍛造しのまゝで鉄鉱成は可銅鉄に匹敵する強度を有し、之を燒純すると著しく輕性を増すと云う特徴を持つ爲、今後研究が進むれば廣範囲の應用が期待されるが、唯前記の様に現在迄は主として電氣爐又は培塗爐を使用して行つた試作の域を説せず、キュボラに依る工業的實驗を實施した人は甚だ稀の様である。然しけらどうしても一般鉄物工場何處にでもあるキュボラの熔解に成功しなければ、工業的に廣範囲の使用を期待する事は出來ない。即ち前記キュボラ熔解に伴う二三の難点が解決された暁こそ、本鉄鉱が鉄鉱物界に著しい進歩を遂げる時期であらうと思ふ。

然し要するに現在はまだ研究室に於ける試作の域を説せず、廣く之を工業化する爲には尚解決すべき問題が多い。例へば

1. 普通に入手し得る材料で、安且容易にキュボラ熔解が出来る事。
2. 使用地金中の各種成分元素の、ノデュワー鉄鉱製造に及ぼす綜合効果の究明。
3. マグネシウム添加の工業的に最良の方法の確立。現在の方法は非常に歩留悪く、又添加の際白光を發し燒發的に燃えると云う様な厄介な点があり、尚 Ni-Cu との母合金を使用すれば返り材處理の問題も出來る。此点からは Fe-Si-Mg を使用する方が有利と思はれるが、之の

容易な製造法或は確実に黒鉛が球状化する様な
添加方法の確立が必要である。

4) 本鋼鉄は非常に收縮が大きく、茲に普通
鋼鉄と異なる新たな鋳造方案の確立が必要となつて
来る。

5. 热處理の問題。

6. 耐腐蝕性部分への適用性の決定。

其の他用途と成分、熱處理との關係の究明。

此様に未だ大量工業化に對しては色々問題が
あるが、今後夫々解決を見ノデュラーブル鋼鉄が廣く
實用される日の一日も速からん事を望んで止
まない。

文 献

- 1) H. Hanemann and A. Schrader : Atlas Metallographicus, vol II, sheet 37 (1936)
- 2) H. Nipper : Giesserei, vol 22 (1936), 27
- 3) H. Grober and H. Hanemann : Archiv fur das Eiseniittenwes, vol II, (1937), 199
- 4) H. Morrogh and W. J. Williams: J. of the Iron and Steel Institute, 155 (1947), 321
- 5) H. Morrogh : " " , 2 (1946), 399
- 6) H. Morrogh and W. J. Williams: Proceedings Institute of British Foundrymen,
vol x L (1946~1947), No. 875
- 7) H. Morrogh and W. J. Williams: J. of the Iron and Steel Institute, March (1948), 306
- 8) H. Morrogh and W. J. Williams: Proceedings Institute of British Foundrymen,
vol x L (1947~1948), No. 898
- 9) H. Morrogh : Iron Age, May 20 (1948), 82
- 10) H. Morrogh : American Foundryman, April (1948), 91
- 11) H. Morrogh and J. W. Grant : Foundry, Nob. (1948)
- 12) H. Morrogh and J. W. Grant : Foundry, Dec. (1948), 86
- 13) : Foundry Trade J., Sept. 15 (1949)
- 14) E. Piwowarsky : Die Neue Giesserei, No. 1, July (1948), 2
- 15) C. Ader : " " , No. 3, Sept. (1948), 67
- 16) A. Desy : American Foundryman, Jan. (1949)
- 17) C. K. Donoho : " " , Feb. (1949), 30
- 18) A. P. Gagnebin, K. D. Millis and N. B. Pilling : Iron Age, Feb. 17 (1949), 77
- 19) C. K. Donoho : Iron Age, Feb. 24 (1949), 97
- 20) C. Burgess : Foundry, April (1949)
- 21) : Iron Age, April (1949), 28
- 22) E. T. Myskowski and R. P. Dunphy : Iron Age, Sept. 8 (1949)
- 23) : Foundry Trade J., June 2 (1949), 522
- 24) : Iron Age, Sept. 29 (1949), 65
- 25) C. R. Austin : Iron Age, Dec. 1 (1949), 79
- 26) T. E. Eagan and J. D. James : Iron Age, Dec. 8 (1949), 75
- 27) A. Campion : M. I. B. F.
- 28) : Iron Age, May 19 (1949), 100
- 29) : Foundry, Jan. (1950)
- 30) 平木俊草 : 金属, May (1950), 12
- 31) 岡本晴道 : 金属, May (1950), 22
- 32) 草川隆次 : 金属, April (1950), 20
- 33) 藤川一男 : 金属, April (1950), 29
- 34) 澤井寛一 : 金属, May (1950), 10

本焼
一火電
ター結
87V.
壓器と
れた溫
て自動
様にな

光輝燒鈍爐について

三宅暢之

I 緒言

鐵鋼を高温處理すると、酸化して表面に酸化鉄を形成し同時に脱炭する。此の現象はび鋼の状態から半鋼に變態すると著しく促進されるので、焼鈍の如く此較的長時間高温處理を行ふ場合には酸化或は脱炭は大とならざるを得ない。此の結果材料の損失を來しその表面は粗惡となり、脱炭による硬度不良等も起り爾後の處理を困難にするし、甚だしきは使用目的に副はぬ様な場合も起り得る。之に對處する一方法として所謂光輝燒鈍と言ふ無酸化焼鈍方法が實施され

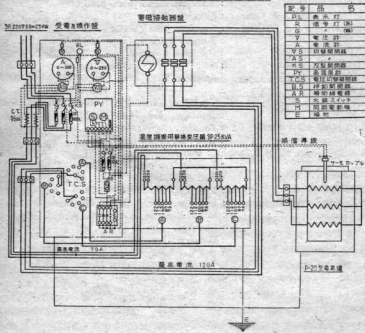
てゐる。當試驗場に於ても日下場長の方針により次に述べる様な光輝燒鈍炉を設置し、鐵材の燒鈍作業を行つて、比較的好成績を得たので此處に紹介し参考に供し度いと思ふ。

II 烧鈍炉の構造

電氣炉は清潔で有害ガスを發生しない。温度の調整が容易で、加熱及び冷却速度の調節も自由で自動温度調整も容易である。炉内温度も比較的に均一で材料も一様に熱處理される等の理由から燒鈍炉としては電氣炉が最も適してゐる様である。此處に述べる燒鈍炉も電氣炉である。

第一圖

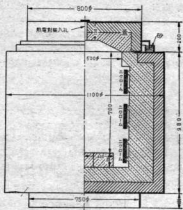
P-25型電氣炉結線圖



本焼鉄爐は第1圖に示す如く容量 25KW で
一次電壓 220V で 25KV A の單相變壓器をス
ター結線し、二次電壓は 122V, 112V, 100V
87V, 73V の 5 段階に切替えられる。爐体と變
壓器との間には電磁接觸器を備え、之に接続さ
れた溫度計の水銀開閉器により所要の溫度に於
て自動的に開閉し、溫度の調整を自動的に行ふ
様になつてある。

第 2 圖

電氣爐 爐體

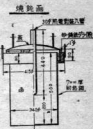


爐體は第2圖に示す如く圓筒形型で外徑11
00耗、内徑500耗、爐壁の厚み250耗、高さ1080耗
爐内深さ700耗であり、天井蓋は半圓形のもの
2個を合せて圓形になる裡にし、その上下動は
爐の後方にある油壓ポンプで、又左右の開閉は
手動により操作する。天井蓋と爐體が接する部分
には細砂或は鐵粉グライ粉を置いて爐の内外
の空氣の流通を防止する。ニクローム帶は、爐
内に上中下3段に設置しスター結線とす。熱電
對は天井蓋の中央から挿入する。

燒鉄函は第3圖に示す如く圓筒形蓋付の函で
7耗厚の13クローム耐熱鋼板を熔接して作つて
ある。併340耗、高さ500耗で熱電對を函の内
部中央に挿入するため蓋の中央から有底パイプ

が函の中央部に突
入してゐる。之も
函の内外の空氣の
流通を防止するた
め鐵粉グライ粉を
蓋と函と接する部
分に置く様になつ
てゐる。

第 3 圖



III 燒純例

某鍛製作株式會

社の委託燒純であるが鍛材料は6時の雨吸シリ
込罐で一回の裝入數量2000本である。函内保護
ガス生成用として試みに燒入油少量を添加した
。燒純溫度は750°Cとする。

燒溫上界用電力 122V, 60A, 4H

燒溫保持用電力 100V, 40A, 2H

燒純前 硬度 プリネル 380

燒純後 硬度 プリネル 209

にして肌の状態は燒純前後余り變化せず、熟化
脱炭は極く僅少であつた。

此の結果の全上會社よりの報告書によれば

1. 鍛削は少し粘い感じがする。
 2. 目立は歎いため目が深くたち タガネの壽
命が長い。
 3. 烧鉄が均一に行はれてゐるため、後處理が
樂であり、焼入むらがない。
 4. 酸洗は少量で済み且つ早く美しく仕上る。
- 一本當りの燃料費を比較して見ると木炭の場合
20銭に比し、電力料金22銭となり、後處理或
は製品の品質、歩留り等を考慮すると後者の方
かはるかに勝れてゐると言へる。

IV 結 言

上記の燒純結果は勿論満足すべきものではな
い。保護ガス發生用として鐵粉グライ粉、木炭
焦炭、黒鉛等或は之等に他の適當な潤滑剤を添加
したむしろ添炭能力の弱いものが研究され、使用
されて好結果を得てゐる様であるが、未だ研究
の餘地が多分にある様に思ふ。然し乍ら本燒
純方法は生産費は幾分高くなるとしても、製品
の品質、歩留り、或は燒純後の諸處理の好条件等
を考慮すると大いに勝れてゐるもので殊に高
炭素鋼など益々一般に利用される可きものと思
ひ此處に紹介した次第である。
以上

人造眞珠に就て

(調査報告)

戸 谷 哲 雄

内 容

1. 緒 言
2. Pearl Essence
3. Imitation Pearl の塗装法
4. 普 通 真 珠
5. 虹 彩 真 珠
6. 合 成 Pearl Essence
7. 赤 外 線 乾 燥
8. Pearl Essence 施 装 の 應 用
9. 結 言

1. 緒 言

Imitation Pearl は戰前より吾國輸出名中特殊な地位を占めて居たものであるが、特に戰後輸出振興の波のつて急激に其の輸出量を増加し遂に昭和24年度には約8億圓に達し、而も品質の改善向上に努めるならば今後も亦、吾國輸出品中重要な位置を占めるであらう事は疑を容れない。この様な状勢にあるにも拘らず、その製造方法は全く業者の長年にわたる経験と熟練とによつて製造せられているに過ぎない。然るに戰後来國製品の進出著しく、就中眞珠筆に於ては國産品に比し其の光澤に於て遙かにすぐれていることがわかつた。更に雑貨製品を般に新しい光澤を與へると云ふ意味からも、従来の方法に對してより科學的に検討をする必要に迫られた。

元來重工業資源たる石炭、水共に恵まれない本縣に於ては、精密工業或は輕工業に重点を置くべきで、この点からも本工業は本縣に最も適したものと考へられる。

本報告に於ては大阪府立工業獎勵館、大阪府泉北郡信太村地方に於ける最近の人造眞珠工業の状況を述べると共に併せて所見の一端を開陳しようと思ふ。

2. Pearl Essence

Pearl Essence とは魚類の鱗(例へば太刀魚 European Minnow Herring)或は浮袋(例へばキス)等から洗ひ落された銀色光澤豊かな物質で、吾國では魚鱗油と稱ばれてゐるが、このものをセルロイド、溶剤と混合して作つた種々のペーストを云ふ。然るに前言にも述べた如く米國では非常に廣範囲の需要が激増したため、從来よりも大量且安價に生産出来る Pearl Essence が要求せられ、其の結果として合成 Pearl Essence なるものが出現した。

それ故現在では Pearl Essence を大別して "Nature" と "Technical" の二つに分けられてゐる。

Nature Pearl Essence は魚鱗或は浮袋の天然物より採取精製せられたもので、繕れもgummin

結晶を主体とする銀色微粒子であり、Technical Pearl Essence は合成的に作られた主として無機物の微細な銀白結晶或は粗糸状結晶である。

こゝに大阪府立工業獎勵館の貴志純治氏の大刀魚魚鱗管の分析結果を参考としたい。

Guanin	27~29%
油 脂	15~20%
類脂体 A	1.8~1.9%
類脂体 B	0.7~0.9%
ブリン塩基を含む類脂体	約1%
不溶化物 (collagen)	45~50%
水溶性分	2~3%

Nature Pearl Essence の有する美麗な真珠様光澤は魚鱗粒子の基体たる guamin Collagen の特殊な反射組織によるものと考へられる。

Technical Pearl Essence としては貴志氏が発表された硝酸鉛と次亜磷酸カルシウムとより作る次亜磷酸鉛等があるが、現在の所 guamin 結晶に便するものはない。故に Nature Pearl Essence が最も喜ばれるのであるが、これも魚鱗の種類により異り、其の含有量の多いもの程優秀である。米國の Pearl Essence の guamin の含有量は90%以上に達するものがあるに比し、吾國では充分選別せられたものでさへ尚僅々50%内外に止るのである。故に其の製品の光澤の点に於ては到底米國製品に及び得ない状態である。

次に此等の Pearl Essence を塗装するには適當なペーストにされねばならぬ。通常 Nature Pearl Essence の場合は充分アンモニヤ水、又は過酸化水素等で精製された魚鱗管をば、20~30 sec のニトロセルローズ或はセルロイドを含む酛酸アミル、酢酸ブチル溶液に約11%懸濁せしめて粘稠なペーストを調節する。これが一般に Nature Pearl Essence と銘打つて販賣せられてゐるもので一名『ネリ芯』とも云つてゐる。實際の塗装に當つてはネリ芯を溶剤で徐々に稀釋し適當な粘度と適量の魚鱗管及びセルロイド又はニトロセルローズを含む液を作製し、これに浸漬するか、或は吹付けるかして塗装面を與へる。吾國ではこのペーストに對し専らセルロイ

ドのみしか用ひないが、米國では先づ使用するニトロセルローズの品質を一定にすると共に、更に他の合成樹脂（メタクリル樹脂、スチロール樹脂）等を用いて強靭且美しい塗装面を與えてゐる。尚高級品以外の塗装には合成 Pearl Essence と Nature Pearl Essence を併用することにより Nature Pearl Essence のみによる製品と殆んど變らぬものを安價に作ることが出来る。

又此等の Pearl Essence が巻市せられれば單なる一個の荀子球をば一舉にして數千枚に價する眞珠に變化せしめるのであり、且つ塗装品であるため、なるべく brusing 又はキズを附けない様注意せねばならぬ。そのためにはなるべく B.P. の高い溶剤を上塗りに用ひ流れを削減せねばならない。

3. 塗装法

塗装法には串塗りと連塗りの二方法がある。前者は串の先端に荀子球を附け、これ等を數百本一つの板上に立てて Pearl Essence Solution に浸漬巻市する方法であり、後者は數百個餘の荀子球を離して連ねた眞珠線を一つの木枠内に張り並べこれを浸漬する方法である。

塗装に當り出来上りの製品の品質を左右する Factor としては

- (1) 魚鱗溶液の粘度
- (2) 液波中の魚鱗量
- (3) 液波中のセルロイド量
- (4) 溶剤の揮発度、B.P.
- (5) 乾燥中の湿度、温度

等が挙げられる。

人造眞珠の場合には小さな球状のガラス球を一舉に大量塗装して而も其の各々の品質が一定で斑駁或は條痕等の餘りのむらが余りない様にするためには技術的にも非常に困難な点が存在する。

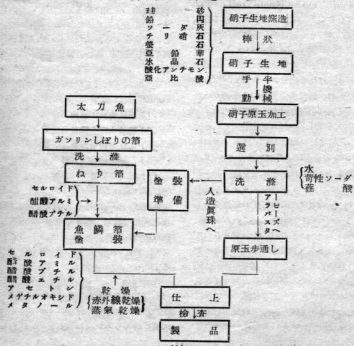
從來吾國では多年の経験と日本人獨特の手の器用さでかなり便れたものが出來てゐるが、米國では其の卓識した Pearl Essence と共に塗装技術に於ても大規模に而も合理的に行はれてゐ

る。こゝに西國と米國の人造眞珠の製造法を比較して見合せて人造眞珠の製造工程を参考に供しよう。

米国と日本との製造法の比較

	米 國	日 本
魚鱗を用ふる魚	European Minnow Herring	太刀魚
魚鱗粒子中のグアニンの含有量	約 60~90%	約 30%
精 製 法	不 明	主としてガソリン水洗法
原 球 生 地	ガラス、アクリル樹脂等の合成樹脂	硝子
塗 裝 液 ベースト	主としてニトロセルローズ(25~27sec)メタクリル、スチロール樹脂を併用する	主としてセルロイド板又はセルロイド屑
塗 裝 液 粘 度	1000~1200 c. p. (単) 200~300 c. p. (連)	150~700 c. p. 不 明
ベースト[媒] 剤	主として 酢酸アミル 酢酸ブチル	同 左
乾 燥 法	常温回転乾燥	常温静止乾燥
生 産 狀 態	機械的大量生産	家庭工業的小規模

人造眞珠の製造工程



4. 普通真珠

普通真珠とは、魚鱗箔を種々な Sinner に溶解したセルロイド溶液中に混入して作られた真珠箔ベースを真珠の上に塗布したものである。この配合方法には色々あつて各メーカーで秘密として居るのであるが、ペーストの性質としての基本となる点は(3) 塗装法で述べた5項目で、下塗りの場合の粘度は200~300 c.p. 上塗りの場合の粘度は1000~1200 c.p. なり。今小さな硝子原珠を浸漬塗装する場合粘度が大き過ぎれば一樣な塗装面を作ることが困難であり、然も一つの層の光澤を現出せしめるに要する魚鱗量が4%の場合、そのセル膜を形成せしめるに要するには最小限度セルロイド量5%を要するのである故にセルロイド量に比して粘度の低い溶液を作る必要がある。現在は専ら醋酸アミル、醋酸ブチル等を主溶剤とし、粘度低下剤として醋酸エチル、アセトン、ベンゾール等が適量混合されて居るが、この場合アセトン等の影響で光澤の低下を来す。故に沸点が比較的高く、然も其のセルロイド溶液の粘度の低いものを用ひなければならぬ。こゝに種々の配合例を示し、参考にしたい。即ち

- 1) 大阪府立工業奨勵館貴志純治氏によれば
メチルオキシド 38%
(又はテクロヘキサン) 28%
醋酸アミル 28%
醋酸ブチル 6%

- 2) 大阪府泉北郡信太村T社の配合率は
醋酸アミル 28%
醋酸ブチル 28%
醋酸エチル 14%
アセトン 24%
セルロイド 6%
硝子 3~4%

- 3) 大阪府泉北郡八坂町 U社の配合率は
醋酸エチル 54%

醋酸ブチル	40%
セルロイド	6%
硝子	2~3%

- 4) 大阪府泉北郡八坂町 U社の配合率は
下塗り

醋酸ブチル	9 kg
醋酸エチル	6 kg
セルロイド	200
硝子(和硝)	150~200

- 中塗り

醋酸ブチル	12 kg
醋酸エチル	3 kg
セルロイド	200
硝子(和硝又は外硝)	80

- 上塗り

醋酸アミル	15 kg
セルロイド	200
硝子(外硝)	30~40

- 5) 廣島地方のU社の配合率は

- 下塗り

醋酸ブチル	1.5 kg
セルロイド	80
アセトン	1 kg
硝子	60~70

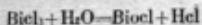
- 上塗り

醋酸ブチル	3 kg
アセトン	40~50
セルロイド	1 kg
硝子	50

5. 虹彩真珠

硝子球に一二層の薄い魚鱗架膜を掛け、其の上に5%のゼラチン溶液を俺布しそを Formalin で完全に硬化せしめておく。Luster Solution としては、Biel 1.5%, セルロイド3%の Butyl Acetate Solution を作り、これに先の珠を浸漬塗布したる後、赤外線 Lamp による乾燥の場合 250W1 灯で lamp より約 15~20cm 離して 4分20秒~4分30秒で乾燥する。この温度は約 100°C と思はれる。次に Steam の充満せる室で

2~5分間放置すればゼラチン膜上に鏡面を作る更にその上に Biocil を含む Luster Solution を塗布し、これに適當なる温度(60%)と湿度を與へると Biocil は



Biocl の形となり、恰度虹の如く光の干渉を起さしむるのであつて、この上に醋酸鈷錠約1.5%の乳酸エチル溶液又は醋酸ビニール1%，セルロイド1%の醋酸アミルアルコール溶液その他メタクリルの Benzol Solution 等を用ひる。この方法の次点としては短時間の間に黒變化し其の並列反射鏡面を長く保持することが出来ない。その理由は Biocl は光學的に不安定でありゼラチン中の硫黄と結合し黒變化するのではないか又は紫外線による影響と推測される。この黒變防止の方法は山崎金五郎氏により發見せられた。(特許第74769號)

特許第74769號の要領は下記の如し

【不變色模様真珠製造法】

發明の性質及目的の要領

本發明は魚鱗粉「フキツシユ、シリワード」ビスマス、オキシクロライドとを利用して真珠色澤を顯出せしめたる模造真珠の色澤膜組織中に紫外線の通過を阻止すべき遮光剤、例へば『フキルターゲルブ』『エースクリーン』又は『ウルトラジン』等を含有せしむるか、若くは是等の遮光剤を含有する皮膜を形成せしめ不變色の模造真珠を製造する方法に係り其の目的とする所は日光に曝露せられ漸次黒變其の他變化を起すことからしめ其の虹彩及色澤の削減を防止するにあり。

發明の詳細な説明

硝子其の他の様に魚鱗粉及び、『ビスマス、トリクロライド』を含有する『ゼラチン』又は、『セルローズ、エステル』溶液を塗布し皮膜を形成せしめ、『ビスマス、トリクロライド』を、『ビスマス、オキシクロライド』に變質し光學的干涉膜を説く時は天然真珠の有する如き虹彩と色澤を呈せしむるを得るも時日の經過するに従ひ漸次黒變又は汚黄色を帶び虹彩

及び色澤を消失する傾向あり。

本發明者は種々の研究の結果、この事實は畢竟日光中の紫外線の作用に因由するを發見し、『フキルターゲルブ』、『エースクリーン』、『ウルトラジン』の如き紫外線の通過を阻止する遮光剤の皮膜を設け、若くは之を色澤膜組織中に之を包含せしめこの憂を刈除したるものなり。今其の實施の一例を示せば下の如し。

魚鱗粉を『ゼラチン』又は『セルローズ、エステル』溶液に配合せしものを塗着せる在來の模造真珠の面に20~30%の『ゼラチン』溶液を塗布乾燥し後『ビスマス、トリクロライド』約5%内外を醋酸アミールに溶解せる溶液に浸漬し乾燥後研磨し、次に『ビスマストリクロライド』5%及び硝化纖維素2.5%を含有する醋酸アミールを塗布し『ビスマス』塗を『ビスマス オキシクロライド』に変化し光學的干涉膜を形成せしめ更に『エースクリーン』のアルコール溶液を『セルローズエステル』溶液に配合せしめたもの。若くは『ウルトラジン』の水溶液を Zelachin solution に配合せるものを塗布し、最後に醋酸セルローズ等の如き防水皮膜を説くものとす但し『エース、クリーン』又は『ウルトラジン』等は一平方メートルに對し0.7g内外を使用するを好適とす。本發明に於て『エースクリーン』『フキルターゲルブ』『ウルトラジン』の如き遮光剤は之を直接的に『ビスマストリクロライド』の含有液中に配合し之を塗布して遮光剤を含有する化學的干涉皮膜を形成するも、又は光學的干涉皮膜面を遮光剤の純なる溶液にて處理し之を附着乾燥しむるも前記の場合と略同一の効果を奏せしめるを得る。

6. 合成 Pearl Essence

從來、日本では太刀魚の皮膚より採取した銀色泥狀の魚鱗粉を使用し、又歐洲、米國では鱗にしん、はえ類等の魚鱗を使用せられて來た。しかしながら天然魚より採取せられた魚鱗粉は

收量頗る其の取扱いが困難なため勢い高價な原
料となり且つ量的にも制約を受けている。

又(2) Pearl Essence でも述べた如く Nature Pearl Essence と混合使用することにより安價なものを作ることが出来、Pearl Essence 塗料も作ることも出来る。それ故合成 Pearl Essence の研究をするのであつて、これらが銀色の眞珠光澤を現出するのは恐らく透明結晶の配位により起る光の干渉と反射の結果であると考へられるが、この見地よりすれば尚甚多の化合物の結晶がこの目的のために使用され得る可能性を有するのである。こゝに貴志氏の研究結果をお知せする。即ち

$Pb(NO_3)_2$ 87.6g を含む飽和水溶液を加熱し、それを $Ca(H_2PO_4)_2$ 45g を含む加熱飽和水溶液中に加えて充分振盪した後過濾し、冷却して $Pb(H_2PO_4)_2$ の結晶を得る。これをアルコールで再結晶せしめて魚鱗様の微細な結晶を作る。この場合結晶の大きさは大体巾 2~3 μ、長さ 5~14 μ の短冊状なればよい。例へば

1) C_4H_9OH	H_2O	$Pb(H_2PO_4)_2$	Crystal (Size order μ)
2000	198.5	1.5	2~4
2000	298.5	1.5	2~4
2) CH_3OH	H_2O	$Pb(H_2PO_4)_2$	Crystal (Size order μ)
2000	98.5	1.5	10
2000	198.5	1.5	20~30
2000	298.5	1.5	50~70

又 $Pb(H_2PO_4)_2$ の常温の水に対する溶解度は非常に小さく、約 0.8% で常温に於ける再結晶は困難である。然しながら 100°C 附近の水に対する $Pb(H_2PO_4)_2$ の溶解度は常温のそれに比して大きく約 4% に上昇する故高溫の溶液より結晶化せしめられは收率が大である。

例へば

CH_3OH	H_2O	95°C	80°C	60°C	40°C
2500	125	5	3.4	2.8	2.5
2500	150	6	4.1	3.4	3.0
2500	250	10	6.9	5.7	5.0

上述の如くして得られた魚鱗様結晶微粒子をセロイド、溶剤等と混和すれば合成 Pearl Essence が出来る。即ち其のセロイドベース

トの一例を示せば次の如し。

Nitro cellulose	20%
Amyl Acetate	78%
Lead Hypo Phosphate	2%

7. 赤外線乾燥

乾燥法としては現在電熱式は熱風乾燥が専ら用ひられて居るが、この方法では Brushing の起る危険を免れず又一様な製品を作ることが困難である。

所が最近米國で用いられてゐる赤外線乾燥を利用すれば、時間の短縮及び塗装せられた膜全体が赤外線の輻射熱のみで一様に熱せられ、溶剤を發散せしめる爲 brushing の危険はないが未だ試験の域を脱せす今後の研究を要するが、合成樹脂眞珠塗料を使用する場合にはこの方法が非常に有効であると思はれる。例へば赤外線ランプ 200W 1個をスライダックで調節して 40V に距離 300mm、時間 5 分で完全乾燥をすることが出来る。又虹彩眞珠の場合では 6~7 分で乾燥出来る。

その結果は從来の方法より約 $\frac{1}{3}$ の時間で出来上り輝度も良好であつた。今後人造眞珠を大量且つ能率的に、しかも流れ作業的に乾燥させ赤外線乾燥器を考案すべきである。

8. Pearl Essence 塗装の應用

Pearl Essence が Imitation Pearl に用いられる場合には其の製品が寶石の模造である爲、其の操作も慎重を期し塗装法も非常に制限せられるのであるが、他面 Pearl Essence 塗料は家具什器、雑貨品等に對して廣範囲の利用価値を有して居り、此等の場合には塗装法も種々の簡単な方法が用いられる。吹付けによつて Pearl Essence 仕上げを行ふ場合に留意すべきことは適當な溶剤を選択し使用するスプレー・ガンを充分清潔に保つと共に、塗装面を洗浄乾燥して置くことである。又 Pearl 塗料が吹付けられた際に其のが面上を流動し得る程度の低い粘度を持たせねばならぬ。更に吹付けの噴霧壓が高過ぎる時はノズルが生地膜中に壓入せられ、其の光

澤を減する故充分輝輝せられたワニスを成る可く低い空気壓で吹付けることが必要である。スプレーガンの位置は塗装面から約12インチの所に置き、その扇面運動によつて吹付けられるとよい。

一般の塗装に於ては吹付け法以外にタングリングによる場合もあるが、Pearl Essence 漆料に關しては不可能である。即ちこの場合には光澤の重要要素たる guanine 結晶が破壊せられて全く價値を失ふからである。

次に Pearl Essence 塗装に於ける一つの特徴は各種の色素又は良ワニスと併用することにより現し得る特殊な良彩効果であらう。この場合色素は真珠ワニス自身に加えられてもよいし、又色ワニスを真珠ワニスの上、或は下地に用いられてもよい。例へば青生地の上に黄色真珠ワニスを塗装すれば特異な綠色効果を與える。又ワニスの上に透明度の高い色ワニスを用うれば高度の光澤を有する深味ある塗装面を與へる。例へば最下層にチョコレート色の生地を用い其の上に薄い金色真珠ワニスを用うれば青銅と同様な色澤を得ることが出来る。

Pearl Essence はこの様な種々の色彩効果を相俟つて Pearl 仕上げの美麗な光澤を附與せしめ裝飾品、日用品等に塗装せられ始めてゐる。そこで次に米國で現在行はれてゐる實例を擧げると

- (1) 玩具、人形
- (2) 手箱、家具、什器
- (3) 運動用具、魚釣竿、ゴルフのグラフ
- (4) 鉛筆、造花
- (5) 特殊な廣告用自動車のスタヂオ用大道具類
- (6) 皮革類似の効果を持たせた婦人靴
- (7) 小像、灰皿、ランプ、本立、其の他の工藝品
- (8) 衣服裝飾品類
- (9) 布、紙、其の他織物類

9. 結 言

以上述べた事項は大阪府立工業獎勵館貴浩純治氏の文獻を集録したもので最後に深く感謝を捧げる次第である。

恭敬
應用は急
具製作所
に良い結果
金切鋸刃は
1. 切味
2. 反光
め揮
3. 小刃
等種々の良
構並びに燒
上にあるも
つ所大なる
而しその

色彩効果を
を附與せし
めている。
例を挙げる

のグラフ
チオ用 大道
婦人靴
・其の他の工

運動館貴志純
に深く感謝を

高周波焼入を施した金切鋸刃について

脇 一 雄
國 國 孝 之

I 緒 言

終戦後の数年間高周波焼入技術の金属面への應用は急速に發達した。吳市仁方町樹山機械工具製作所に於ては之を金切鋸刃に應用して非常に良い結果を得て居る。即ち高周波焼入による金切鋸刃は

1. 切味及び耐久力の点も非常に良い
2. 双刃及び背部の両端のみ焼入せられるため彈力性があり曲げに強い
3. 亦刃の表面は光澤があつて美しい

等種々の良い結果が認められるが、其の焼入機構並びに焼入條件については未だ研究改善の途上にあるものであるから、今後の試験研究に俟つ所大なるものと思ふ。

而しその優秀性は括目すべきものがあるので

本報告に於て之を紹介し亦當試験場にて行つた切削性能試験について述べて見たいと思ふ。

II 鋸刃の高周波焼入について

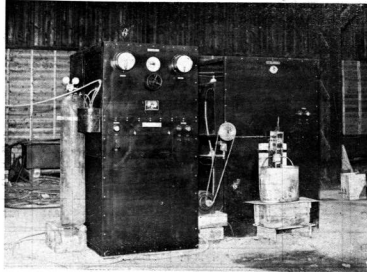
理想的な金切鋸刃としては切味が良く耐久力もあつて彈力性を有し、折れない事等が望まれるのであるが、この目的を満すためには先ず双刃のみ焼入して焼入しない部分を残さなくてはならない。

従来の電気炉に依る焼入、火焔焼入等ではこの要求は満されないので高周波焼入法に依つて製作した結果非常に良い成績を得た。

本報告の鋸刃は寫真1に示す如き高周波焼入装置を使用して焼入れしたものである。

此の焼入装置は瞬間火花放電間歇式の高周波

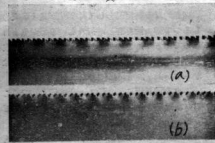
寫 真 1



誘導加熱炉で容量 35KVA、周波数 2000c/s、焼入品は特殊の誘導加熱線巻を通過して油中に入る。

試験に使用した鋸刃は入力 7.5KW~15KW、焼入品移動速度約 50mm/s、加熱時間 4~5s で焼入したものである。寫真 2 に於て a は高周波焼入を施した鋸刃、b は市販の普通焼入を施した鋸刃で、之に依つて明らかなる様に高周波焼入

写真 2



を施した鋸刃は中央部に焼け入らない部分があり、焼入深度は刃先に約 2.3mm、背部に約 1.5mm である。この為鋸刃を相當曲げても折れる心配がなく、刃一層曲げると焼入部分のみ割れ目が入り刃は曲るのみで折損はしない。故に實際手動で使用する場合刃を折る様なことはなく、

又次に述べる様に切味、耐久力共に非常に良好である。

尚製品の歩止りは非常に良くなり從来の焼入方に依るときは 80~85% であつたものが 98% 程度に上昇してゐる。亦作業時間の短縮、部分焼入のため普通焼入に比べて省が無いこと、未熟練工にも焼入作業可能、鋸刃取付孔部の焼戻し不要等利點は多い様である。しかし鋸刃の各種類に依る線形の構造の研究改善、最良の焼入條件の探求等未だ研究を必要とする問題は多い様である。

III 切削性能試験内容

1. 試験に用ひた機械

鋸刃の切削性能試験には野野製作所製の全切刃鋸盤を使用した。回転数は 60 回/分で大体手動で鋸刃を使用する場合に近い衝程数とし、衝程距離は 125mm とした。尚切削性能を比較するのみであるから切削荷重は一定とし別に測定しなかつた。10 手引手用鋸刃を鋸盤に取付けて使用した場合切削條件は一定で刃をこじる様なこともなく實際手動で使用した場合よりも切味はあるかに永く保つてゐる様である。

2. 試験に用ひた鋸刃

試験用鋸刃は A, B, C, D の四社の製品をえらび 24 山のものと 18 山のものと各 3 本宛抜

第 1 表

社名	焼入方法	稱呼寸法	ピツカース硬度	材質		
				C	Si+W	Cr
A	高周波焼入	10# × ½" × 24 山	840	0.84	2.19	0.83
		10# × ½" × 18 山	853			
B	普通焼入	10# × ½" × 24 山	904	1.04	2.92	0.48
		10# × ½" × 18 山	878			
C	〃	10# × ½" × 24 山	858	1.15	2.44	0.73
		10# × ½" × 18 山	856			
D	〃	10# × ½" × 24 山	865	1.05	2.60	0.89
		10# × ½" × 18 山	870			

取つて試験である。

3. 被切材

被切材材質は 19mm のものを使用した。なものが望み得ない。大休均一なもののは平均値 81.5, 度で 90.0~92.0

4. 試験

各試験結果を同一を切削するその切削面を決定した。即 C=

鋸刃の切削と之を切削するは非常に困難な條件が入り思ふが、味の比較のみ上この方法にした。

亦この方法材を 30 回切削をしらべ鋸刃を試験した。尚切削条件はするために使用

5. 試験

試験結果は横軸に示す如く横軸に切削回数と耐久力を比較する。即ち切削

非常に良好

從來の焼入
のが 98 %
短縮、部分
こと、未熟
部の焼戻し
鋸刃の各種
良の焼入條
題は多い様

製の金切刀
大体手動
とし、行程
を比較する
割に測定し
取付けて使
じる様なこ
りも切味は

社の製品を
各 3 本宛

Cr

0.83

0.48

0.73

0.89

取つて試験した。其の詳細は第 1 表の如きものである。

3. 被切削材

被切削材は普通鋼丸棒で 24 山の鋸刃には直径 19mm のもの、18 山の鋸刃には直径 24mm のものを使用した。被切削材は硬度及び組織の均一なものが望ましいのであるが、之は最もには望み得ないので、硬度のみ数箇所について測定し大体均一なものであることを認めた。即ち 19mm 径のものはロックウェル B 硬度で 80.4 ~ 82.5、平均値 81.5、24mm 径のものはロックウェル B 硬度で 90.0 ~ 92.0、平均値 91.0 であつた。

4. 試験要領

各試験鋸刃は前記弓鋸盤を使用し被切削材 1 回を切断するに要する時間 T (sec) を記録し、その切削面積 F (mm²) を比較して切削性能を決定した。即ち鋸刃の切味は

$$C = F/T \quad \text{である。}$$

鋸刃の切味を決定するのに被切削材の断面積と之を切断するに要する時間との比で表すのは非常に冒険で實際には色々

な條件が入らなければならぬと思ふが、こゝでは單に切味の比較のみであるから便宜上この方法に依つて切味を出した。

亦この方法に依つて被切削材を 30 回切断して切味の減少をしらべ鋸刃の耐久力の良否を試験した。

荷切削劑は試験時間を早めるために使用しなかつた。

5. 試験結果

試験結果は第 1 図～第 4 図に示す如く縦軸に鋸刃の切味横軸に切削回数を表し切味と耐久力を比較したものである。即ち切削回数の増加につ

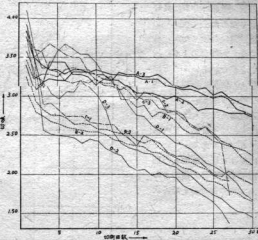
れて切味の減少の無い耐久力良く優秀な鋸刃といふことになる。

第 1 図は 24 山鋸刃の各 3 本宛の各切削回数毎の切味を示したものであり、第 2 図は同じく 3 本の鋸刃の平均切味を出して高周波焼入を施した鋸刃と普通焼入を施したものとの差異及び耐久力の比較を示したものである。第 3 図及び第 4 図は前と同様に 18 山鋸刃について試験したものである。

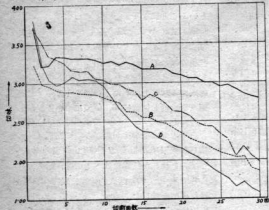
之等の間に依つて明らかに高周波焼入を施した鋸刃は 24 山鋸刃も 18 山鋸刃も共に普通焼入を施した鋸刃に比べて切味、耐久力共に良好であつた。特に耐久力の点に於て 18 山鋸刃は好成績を示した。

亦取り扱う 3 本の資料の切味のばらつきも、高周波焼入を施した鋸刃は概して差の様に思はれる。普通焼入を施した鋸刃は切削回数 25 ~ 26 回あたりで第 1 図 D-2, 第 3 図 C-2, D-3 の如く刃がこぼれ激しく切味が悪くなつて試験を中止したり、亦第 1 図 C-2, B-3, 第 3 図 B-2, D-2 の如く試験途中で切損したものもあるが、高周波焼入を施したものは殆んど刃こ

第 1 図 10# × 24 山鋸刃切味及耐久力比較圖



第2圖 10⁴×24山鋸刃平均切味及耐久力比較圖



ほれを見ず、前述の如く図の中
央部は焼が入つてゐないため曲
けに對しては強く中途で折れる
様なこともなかつた。

III 結 言

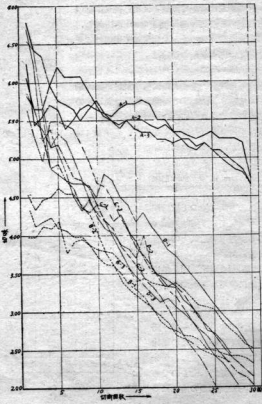
以上は高周波焼を施した鋸刃
についての概略を述べ、その切
味と耐久力との試験を行つた結果、
その切削性能は非常に良好
である事を認めた。

亦試験結果にも述べたが、普
通焼入を施した鋸刃のように折
損することがないといふことは
高周波焼入を鋸刃に應用した最
も顯著な特長である。

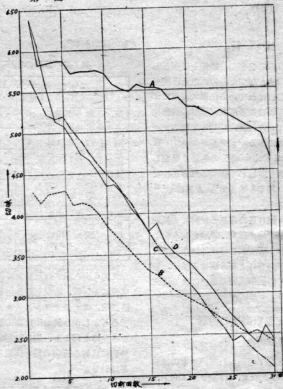
尚焼入機器及び焼入條件等に
ついては現在種々研究中で次報
にて述べる豫定である。

吾國に於ける高周波焼入の利
用は日尙浅く、今後に俟つもの
極めて大であり御鞭撻を希ふ次
第である。

第3圖
10⁴×18山鋸刃切味
及耐久力比較圖



第4圖 10#×18山鋸刃平均切味及耐久力比較圖



眞鍮の化學研磨

直正十郎

(S. Azuma)

宗重文去

(F. Muneshige)

一 論 言

諸金属並にそれらの合金の最終仕上研磨として戦後特に注目的となつたものに電解研磨があるが、從来より行はれている化學的處理による操作簡単にして迅速なる所謂“光輝浸漬抛出し”も研究されていた折柄、1948年米國のオハイオ洲コロンブスにあるバッテルメモリアル研究所が“Chemical Polishing”的名前を發表して以來、電解研磨と並行して研究される様になつた。最近吾國に於ても田島榮¹⁾、友野理平²⁾等の報告がある。

筆者等は特に一般日用家庭品の素材たる真鍮製品に對して化學研磨の研究、實驗を試みた。

本報には主として研磨液及び処理條件の検討、研磨時間及び処理温度による研磨量の變化、並に鍍金下地としての化學研磨の適否に就て研究の成果を發表する。

II 化學研磨液の検討

1. 化學研磨液

真鍮の研削液として用いられているものは第1表に示す如く i) 硫酸系, ii) 重クロム酸系, iii) 鎔酸系の三種類に大別出来る。而して真鍮に對しては硫酸系が概して霜降状の研削面を呈するに比して銻酸系の方が研削効果優秀なり。且重クロム酸系に比して研磨時間が頗る速い。

米國の Battelle Develop. Corp. で發表された眞鍍の化學研磨液としては正磷酸(比重1.72)、硝酸(1.4)、醋酸(1.05)の三液を混合したもの用いてゐるが、配合割合は明らかにされてい

第1章 管理の化學研究法

研磨液組成	處理條件		發業者
	濃度	時間	
硬 酸 くえん酸	9% 15%	60°C 2分	Iron Age
硬 酸 酒石酸	9% 1%	50°C 2分	全 上
重クロム酸ソーダ 硫酸ソーダ 重硫酸ソーダ		— —	Thompson a Moline
正 培 酸 硝 酸 醋 酸 塗化第二鐵	100容 10容 5容 少量	20°C 3~ 10分	友野 理平
正 培 酸 硝 酸 O ₂ ナフチルスルホ ン酸ソーダ	100容 10容 少量	全上 全上	全 上

又第1表に示されたる友野理平氏⁹⁾の液は主成分に正磷酸、硝酸を添加剤として醋酸、塩化第二鐵、 α ナフタリニスルホン酸ソーダを用いてゐる。しかし眞鍍に對して醋酸の添加は僅であるが光澤を得るも、塩化第二鐵の少量の添加は格別に良好な研磨効果を得るとは限らない様に思はれる。

2. 成人肥全割合による肥満状態の悪化

前述の如く研磨液の成分として正磷酸、正磷酸、硝酸、醋酸が考えられるが、之等の研磨液に及ぼす作用並に影響を考察し、以て配合割合を決定する目的の爲め次の實験を試みた。

即ち磷酸10部を一定にして硝酸、醋酸の添加割合の変化による真鍮板の溶解量並に研磨状況を測定し第2表、第1圖の如きの結果を得た。

第2表 配合割合変化による研磨状態

配合割合			溶解量 (mgr.)	研磨状態
磷酸	硝酸	水酢酸		
10	0	0	0.42	研磨不可なれど素地光輝を保つ。
10	0	0.5	0.30	研磨不能、光澤無し。
10	0	1.0	0.63	全上。
10	0.5	0	9.10	研磨可能、光澤稍良。
10	0.5	0.5	7.68	研磨可能、斑点多し。
10	0.5	1.0	6.52	研磨可能、光澤可。
10	0.5	1.5	6.32	研磨可能、光澤良。
10	1.0	0	11.90	全上全上
10	1.0	0.5	10.00	全上光澤優。
10	1.0	1.0	10.33	全上全上
10	1.0	1.5	10.03	全上光澤良。
10	1.5	0.5	11.20	全上光澤優。
10	1.5	1.0	11.85	全上光澤可、不可。
10	1.5	1.5	13.92	全上全上斑点。
10	2.0	2.0	17.00	全上光澤無、疊り。
備考		試料 30×20×0.5m-m. 温度 30°C, 時間 30秒		

第1圖に於て斜線部が研磨可能範囲で○印は特に優秀な研磨面を呈した。溶解量によつて明らかかな如く研磨作用のあるのは主として硝酸であつて、醋酸の添加は真輪溶解力殆んど無く反つて硝酸の研磨作用の抑制剤の動きをなしてゐるかの様に思はれる。磷酸の10%迄の添加は研磨光澤を著しく大にする。

磷酸も全様溶解作用余り無い故他の粘性ある

液によつて置換されうる事も考へらるが、筆者等は未だ磷酸に代るべきものを見出しえない。故に磷酸と醋酸は殆ど補充を考える必要なきも第1圖によつて明らかかな如く硝酸は5%以下になると研磨効果が劣るので補充が必要である。

磷酸80%以下になると研磨効果が落ちるもの、何かの添加剤で高價な磷酸の含有率を下げる事が考えられる。

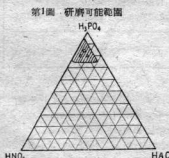
以上の實驗により筆者等は以下には次の組成液を用いた。

正磷酸	100容	C.P. 7液
硝酸	10容	
醋酸	10容	

III 操作及び處理條件

1. 前處理

酸化鉄及び少量の油脂、汚物が附着してゐても處理時間は長くすれば除去可能だが、電解研磨と全様互観的凸凹はなくならない。故に或る程



度000又はそれより細かいエメリーペーパーで研磨しておく必要がある。

真鍮面上への0000ペーパーの研磨跡はC.P.7液の30°Cで60~80秒處理でなくなつた。

研磨液の老化という観点からして成るべく短時間處理を欲する故簡単なる前處理は必要である。

脱脂液としては苛性ソーダと炭酸ソーダの混液がよい。

2. 後處理

化學研磨の後處理としては友野氏³⁾は次の如き處理を行つてゐる。

- i) 水洗
- ii) 5~10%塩酸浸漬(紫色酸化皮膜除去のため)
- iii) 水洗
- iv) 5~10%苛性ソーダ浸漬(中和)
- v) 水洗

第3表 溶解減量

時間	溶解減量 (mg)			溶解減厚 (μ)		
	25°C	35°C	45°C	25°C	35°C	45°C
10秒	5.14	5.91	7.63	4.92	5.65	7.30
20	7.76	9.00	11.04	7.42	8.61	10.56
30	9.26	11.58	13.91	8.86	11.05	13.31
45	10.33	12.73	17.86	9.88	12.18	17.09
60	12.64	15.14	22.40	12.11	14.48	21.42
90	15.43	19.42	30.22	14.76	18.58	28.90
120	18.94	23.42	36.99	18.13	22.40	35.49
180	24.32	30.42	54.71	23.25	29.10	52.30
備考	試料: 7.3真鍮板, 30×20×0.5mm, 2.5g. ※印は研究効果の現れ始める点を示す。					

何れも始めの10秒間に著しい減量を示すのは試料の表面の溶解され易い酸化物のためである。温度増すに従つて急激に溶解量増加するのは反応速度が温度上昇と共に益々著しくなる爲と考えられる。

図の○印は光輝の現れ出す最少限の時間を示

iv) 乾燥

筆者も上の如き諸工程を行つたが、中和には5~10%青酸ソーダ液を用いて良好な結果を收めた。

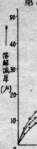
3. 處理條件

温度を上けると液の粘度が低下し、研磨溶解能力大になるも酸化が甚だしい故反つて不均一溶解を示す傾向があり、且つ発生するNitrogen oxide gas が多くなるので真鍮に對しては常温~40°C附近の間で處理するのが最適と思はれる。

處理時間は30~60秒程度を適當とする。長時間處理は溶解量甚だしきため被研磨材の變形を來す處が多分にあり、又老化も促進される。

III 溶解減量

C.P.7液を用いて真鍮の處理時間並に温度の変化による溶解減耗量及び厚さを測定し第3表第2圖の如き結果を得た。



し25°Cで45秒、35°Cで20~30秒、45°Cで10秒附近であり、夫々の溶解厚さは10 μ 前後である事から、真鍮製品の化學研磨には少くとも10 μ の溶解が必要であると思はれる。

温度の高い場合に時間にかけすぎると所謂さらついた光輝を呈し反つて表面が荒されてくる

電解研磨
が化學研磨
電氣によ
によるもの
大なり。
價な磷酸の
に明らか
り考える必
になると
なる。此の
復歸した
び長時間の
低下させ
よつて相應
前述の如
磨の應用程
と置換法
鍛金下地との
のとの鍛金
驗の結果、
も他の點に
事を見出
試料とし
C.P.7液を
1. 附

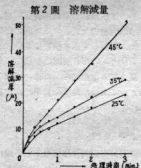
が、中和には
好な結果を收
れ、研磨液溶
てつて不均一
る Nitrogen
としては常温
適と思はれ
る。長時
間の變形を
される。

並に湿度の
定し第3表

°C
7.30
3.56
3.31
7.09
4.42
4.90
4.49
4.30

45°Cで10
分前後であ
りくとも10

と所謂ぎ
れてくる



又水洗しても酸化皮膜が残り研磨効果は劣しくない。
常温で最少限30秒の研磨時間が必要である。

V 研磨液の老化及び救済

電解研磨に於てみられた液の老化という現象が化學研磨液に於てもみられ、且つ電解研磨の電氣による溶解に比して化學研磨は化學的處理によるので、液の老化傾向は前者に比して甚だ大なり。この老化液の再生、又はこの中より高價な硝酸の回収に就ては目下研究中なるも、IIに明らかなる如く磷酸、醋酸の消耗、補充は餘り考へる必要ないと思はれる。硝酸は5%以下になると研磨効果著しく低下し帶灰色無光澤となる。此の液に硝酸を5%添加すれば或る程度復活した。又研磨反応の副産物としての水、及び長時間中に外部より入つた水分は液の粘度を低下させ研磨面を疊らせるが、この液は蒸溜によつて硝酸、水、磷酸と磷酸に分離出来得た。

VI 錫金下地としての化學研磨

前述の如く簡単且つ迅速に處理し得る化學研磨の應用として錫金下地としての羽布研磨の工程と置換される事が考えられる。筆者はニッケル錫金下地としての羽布研磨と化學研磨によるものとの錫金附着量、有孔度、密着力に就ての試験の結果、化學研磨が光輝の點に於て稍々劣るも他の點に於ては優るとも劣らぬ性能を有する事を見出した。

試料としては7-3真鍮板を用い研磨液としてC.P.7液を用いた。

1. 附着試験

錫金液としては硫酸ニッケル310g/l、塩酸ニッケル60g/l、硝酸40g/lの迅速光輝錫金液を用い、LRV、5Amp/cm²、30°Cで鍛金した場合のニッケルの附着厚さ並に理論値を第4表に示す。

第4表 附着錫金厚さ比較

時間	羽布	化研	理論値
10 min	11.0 μ	11.0 μ	10.37 μ
20	17.5	19.5	20.75
30	30.5	31.5	31.11
40	40.5	41.5	41.45
50	48.0	50.0	51.80

表に明らかな如く羽布研磨も化學研磨も附着量は殆ど同じく、理論値と比較してその電流効率は100%に近き値を示している。

2. 多孔性試験

試験液（フェロキシル液+少量塩酸）を浸した2枚のシート間に鍛金物を挟み、5分間放置して後シートに出た赤褐色斑点の大小、並に数によつて多孔度を調べた結果を第5表に示す。但し錫金液として均一電着性のある硫酸ニッケルアンモニウム75g/l、塩化アンモニウム15g/l、硝酸15g/lを用い、30°C、0.8Amp/cm²で30分電鍛したもの、各3枚宛の平均値を示す。

第5表 ピンホール試験

前處理	ピンホールの數 (10cm ² 當り)	
	徑 > 0.5mm	徑 < 0.5mm
羽布研磨	3	6
化學研磨	1	7

ピンホールの數に於ては殆んど變らぬも、化學研磨の方が羽布研磨に比し径の大きなピンホールが少い。

3. 密着力試験

錫金條件及び試料は2と同一で圖に示すが如き屈曲試験を行つた結果を第6表に示す。

第6表 密着力試験

前處理	屈曲状態
羽布研磨	1~2回, ひびわれ, 脱落
化學研磨	3~5回, ひびわれ



表にある“ひびわれ”とは鍍金面に亀裂が入つたのみの状態を示し
“脱落”とは鍍金面が或る面積全く欠け落ちたものをいう。

密着力に於ては化學

の方が遙かに優秀な結果を示した。

以上の如く鍍金下地としての化學研磨は羽布研磨に比して優る点が多い。實際に鍍金工場で應用する場合には羽布はある程度かけた上に脱脂、水洗、酸洗の工程の代りとして化學研磨をもつてゆき、短時間處理してよく水洗後直ちに

鍍金すれば結晶の連続性認められて最適と思はれる。但し此の研磨液の欠点とする磷酸の高價にして被鍍金物に附着して出る損失の多いこと並に発生する NO-gas のため液面より出ている部分が昌され易く又非衛生的なるため、之等の改善處置を考えねば工場に於ての實用には供しないと思はれる。

Ⅶ 結 言

真鍮用化學研磨液の研磨作用は殆んど硝酸によるものにして醋酸は酸蝕抑制に効果がある。

濃度の上昇と共に溶解作用は増し 20~40°C が最適である。鍍金下地としての化學研磨は羽布研磨に比して光輝稍々劣るも密着力に於て遙かに優秀である。

尚磷酸、硝酸、醋酸系の化學研磨液に就ての都立工業獎勵館、木村、福島氏の研究報告を見聞してゐない事を遺憾とする。

文 献

- i) 田島栄 : Metal Janu. (1950)
- ii) 友野理平 : Metal Ence Juhn (1950) 39
- iii) 友野理平 : Metal Aug. & Sep. (1950)
- iv) 田島栄 : 化學と工業 No. v (1950) 2
- 日本機械學會誌 No. 12 (1950)

砥石の
したもの
最大の影
研磨作業
非常に重
機能を果
物は此の
しい競い
る。臣も
である。
とは理論
て均一な
れて砥石
断くして
石は最後
有能な
べき方法
合する事
が、一般に
る砥石の
切粉の量
砥石製造
る。

試験に
北辰電氣
測定研磨
研削砥
に依り騒
砥石の回
回轉數を
台に置か
60~400 rpm

最適と思は
精良の高價
の多いこと
り出ている
め、之等の
用には供し

んど硝酸に
果がある。
20~40°C
事研磨は羽
力に於て透
度に就ての
度報告を見

圓筒研磨に於ける砥石の磨耗

第一報 試験方案

小川逸司

I. 緒言

砥石の價格は研磨に要する全費用に比較したもののではないが、砥石の磨耗は研磨作業に最大の影響を及ぼす。要素だから砥石の磨耗は研磨作業時の諸條件との關係について知る事は非常に重要な事である。研削砥石が完全にその機能を果すことは砥石が適度に磨耗した時結合剤は此の砥粒を脱落させる様自身でも磨耗し新しい锐い砥粒を現出させる事である。即ち砥石自身で目立つて(Sharpening)する事である。此の場合にはダイアモンド目立つことは理論的に不必要であるが、研削砥石は決して均一な成分ではないから砥石が磨耗するにつれて砥石の表面は平でなく又圓くなくなる。斯くて工作物片の表面状態は寄されるがら砥石は最後には目立つされなければならぬ。

有能な経験ある研磨工は自然と比較的満足すべき方法で種々雑多な研磨作業時の諸條件に適合する事が出来て良好な結果を得る事が出来るが、一般には難しい事である。圓筒研磨に於ける砥石の磨耗の問題即ち単位時間に除去される切削の量が如何に砥石の磨耗と關聯を持つかは砥石製造家は研磨作業者と共に研究の必要がある。

II. 研磨盤

試験に使用する研磨盤は吳工業試験場施設改の北電気製作所製 HAP 500型 170軸 X550軸の圓筒研磨盤で操作は極めて容易である。

研削砥石は砥石側に置かれた1馬力の電動機に依り驅動されVベルト3本により傳達される砥石の回轉数は1600R.P.Mで砥石の直徑に依り回轉数を適應させる装置はない。工作物は主軸台に置かれた1/4馬力の電動機に依り驅動され60~400回/分の間に調節出来る テーブルの送

りは油壓駆動であつて、その速度は0~8.4米/分まで連續調整でき、テーブルの送り方向を變へるに要する時間も油壓で廣い範囲で調節可能である。工作台、砥石送り用の油壓用電動機は2馬力で、工作物の長さは最大500軸、直徑100軸迄のものが研削出来る。研削砥石は最大径12寸、巾1寸、孔径3寸のものが使用出来、循環水は1/4馬力の電動機に依り送水する。街砥石の半徑方向の送込みは、油壓に依り1齒~6齒(一齒25/10万時)に調節出来る。

II. 研削砥石及び試料

炭素鋼(SF54又はSF60)の3寸丸棒、長さ300軸のものを研削するに適應する廣島縣下各業者(廣班、福徳、吳研、第一製砥、帝國研磨、福山電氣)より提出された製品及び國內一流業者(イトリフアイド)砥石を使用する。

III. 比磨耗

研磨作業に依つて若干量の切削が除去される場合は砥石の若干量も又此の仕事を遂成するために消費されなければならない。砥石の磨耗には砥石が實際に作業を行つた間に消費された量の外に實際には時々砥石の目立を行う事が必要であつて之を行つと其の度毎に若干量は除去されるので之を含む。即ち次式で示される。

$$\text{砥石の消費量} = (\text{砥石の磨耗}) + (\text{砥石の目立による磨耗})$$

S=砥石の磨耗

—砥石が實際に作業を行つた間に消費された量

D=研削砥石の直徑

B=切削砥石の巾

V=研削砥石の周速度

Df=切削の量Mを研磨に依り除去する前

の工作物の直径

$$D_e = \text{切粉の量 } M \text{ を除去した後の工作物の直径}$$

径

L=工作物の長さ

M=切粉の量

$$M = \frac{\pi}{4} (D_f^2 - D_e^2) L = \frac{\pi}{4} (D_f - D_e) (D_f + D_e) L$$

D₁=工作物の平均直径

$$D_1 = \frac{D_f + D_e}{2}$$

試験片が直径 D_f から D_e に減少する間に、砥石が目立を必要としない様に切粉の量 M を選び又研磨の直径の減少を h で示すとすれば砥石の減少 h は砥石の直径 D に比較して非常に少いか

ら

$$S = \frac{\pi}{4} |D^2 - (D-h)^2| B$$

$$= \frac{\pi}{4} (D-D+h)(D+D-h)B$$

$$\pi^2 \pi DB \frac{h}{2}$$

$$\text{比削耗} = \frac{S}{M}$$

III 砥石直径の減少 h の測定

1. 砥石送込の歯車を用いれば、全研磨の深さが調節される。即ち砥石の消耗を 0 とした時の工作物直径の減少 (D_f-D_e) を表す故に

$$h = (D_f - D_1) - (D_f - D_e)$$

2. 通常な鉄の棒を心抨台上に置き、研磨の前に砥石を鉄棒の方に手送りで近づけ両者を接触させる。割出歯車の各歯は砥石の半径方向の送込を示すから砥石が鉄棒に特に接触せんとする場所の割出歯車の種々な位置から砥石直径の減少 h が計算される。

3. 直接ノギスで測定する。

V 試験要領

1. 希望する回周速度 1600R.P.M., テーブル送り及びテーブル一行程の送りに対する割出歯車で決める半径方向の送込を調節する。

2. 研削砥石をダイアモンドで目立をする。目立をする際にはテーブルの送りは何時でも同じであり、且冷却水を充分に注いで砥石から離

脱した砥粒を洗い流し砥石の孔の中に止まらぬ様にする。

3. 4~6齒の切込の深さに調節し、極く僅かに火花が発生するに至るまで豫備研磨を行う。

4. マイクロメーターに依り、試験片の直径を中央部と両端で測定する。

5. 希望する全切込深さに調節して、研磨を行う。テーブル送りは餘分の 4 回を追加する。3 項の豫備研磨は、此最後のテーブル送りの時に

発生する火花と略同じ大きさになる様に調節する。

6. 試験片の直径を 4 項の場合と同様に測定する。

7. 砥石の直径の減少を測定する。

8. 切粉を適當な時期に採取し、顕微鏡又は擴大鏡で調査し研削状況の判定資料とする。

VI 計算

1. 切粉の厚さ

Alden の方程式より

$$G = \frac{1}{n} \cdot V^2 \sqrt{d \left(\frac{1}{D} + \frac{1}{D_1} \right)}$$

G=砥粒の切込の深さ

n=砥石の周界上単位長さ當りの切削砥粒數

v=工作物の周周速度

V=砥石の周周速度

d=工作物の半径方向の切込の深さ

D=砥石の直径

D₁=工作物の直径

2. 仕事量

単位時間内に遂行される仕事量即ち単位時間内に除去される切粉の量も消耗に影響を及ぼす。

L=工作物の長さ

B=砥石の巾

m=砥石の巾の % で表した試片 1 回轉に對するテーブルの横送り

s=工作物毎分の回轉數

t=割出歯車の歯數で表した半径方向の全

切込の深さ

to=割出歯車の歯數で表した 1 回の行程に

對する半径方向の切込の深さ

止まらぬ
く僅かに
行う。
の直徑を

研磨を行
する。3
りの時に
調節する
に固定す

鏡又は擴
る。

切削砥粒

位時間内
及びす。

回轉に對

方向の全

の行程に

e = 砥石の半徑方向の切込みを止めた後で尚
テーブルに行はせる餘分の行程の數
T = 切削量 M を研磨で除去するに要する全

時間

$$N = \frac{v}{\pi D_1}$$

テーブルの全横送りを L に調節すれば

$$\text{テーブルの速度} = \frac{mBN}{100}$$

— テーブル 1 回の送りに要する時間即ち砥石が
試験片上を 1 度送られるに要する時間は

$$\text{時間} = \frac{L}{mBN} \cdot 100$$

テーブルの反轉に要する時間を無視すれば

$$T = \frac{M}{mBN} \left(\frac{1}{100} + e \right) \cdot 100$$

VII 試験結果の考察

1. 比磨耗

試験片を研磨する時最良の表面即ち仕上げは
試験の最初に得られる。試験片の表面は研磨作
業が進行するに従ひ益々粗くなり、振動が起り
其の強さが増し遂に或時間が経過すると試験片
の表面は非常に不平坦且つきたなくなり、砥石
は再び目立をされなければならぬ。磨耗時間の
間中單位時間當りの比磨耗が實驗的に決定され
るなら單位時間當りの比磨耗は新しく目立した
砥石の場合に最低で全磨耗時間を通じて増加す

る。故に比磨耗は時間 T の間に於ける平均の磨
耗を意味するものとするが良い。されば比磨耗
は次式で定義される。

$$\frac{S}{M} = \frac{1}{T} \int_0^T \left(\frac{d(\frac{S}{M})}{di} \right) di$$

M = 時間 T の間に研磨しされる切粉の量

S = 時間 T の間に消費される砥石の量

2. 試験片の直徑と比磨耗との關係

直徑が増大するに伴い比磨耗は減少し磨耗時
間は長くなる。

3. 工作物速度、砥石速度 間の比、切粉の厚 さ及び除去される比切粉量等と比磨耗との關係

A 砥石の速度一定なる場合に $\frac{v}{V}$ の値が
増加すると比磨耗は増大し磨耗時間は減少す
る。

B 切粉の厚さ Gn が増加すれば、比磨耗
 $\frac{S}{M}$ は増大し時間は減少する。

C 比切粉量 $\frac{M}{T}$ が増加すると比磨耗 $\frac{S}{M}$
は増大し磨耗時間は減少する。

D 磨耗曲線は全ての半徑方向の切込みの深
さに對して成立つ。即ち一定の比切粉量 $\frac{M}{T}$
に於ては比磨耗 $\frac{S}{M}$ は半徑方向の切込みの深さ
の或る値で最小値をとり切込みの深さが増して
も減つても比磨耗は増大する。

鑄鐵とその鑄物

日下和治

本講義は昭和26年1月中小企業廳よりの依頼を受け、主題に對し鳥取、米子地方中小
鈑物業者の爲に講述した一部である。

— 内容目次 —

- 第1章 鑄鐵の定義と分類
- 第2章 鼠鑄鐵及其の製造法
- 第3章 鑄鐵の物理性
- 第4章 鑄鐵の機械性
- 第5章 成分元素の影響
- 第6章 鑄鐵の組織
- 第7章 鑄物砂
- 第8章 造型法
- 第9章 鼠鑄鐵の熱處理
- 第10章 用途別品質
- 第11章 鑄物の欠陥

第1章 鑄鐵の定義と一般分類

鑄鐵とは鑄造出来るに足りる程多量の炭素を含む鉄一炭素合金にして、理論的には1.7~4.3%の炭素、實際には2.5%以上の炭素を含み、同時に珪素を重要な副成分とするものである。

條件としては比較的の低温度で溶ける事、流動性の良いこと及び機械加工が容易な事等が望ましい。然しながら用途によつて分類すると、大凡そ次の様になるであらう。

1. 鐵鑄鐵（普通鑄鐵、高級鑄鐵）
2. 冷却鑄鐵（チル鑄鐵）
3. 可鍛鑄鐵（黒心、白心）
4. 合金鑄鐵（ニッケル鑄鐵、クローム鑄鐵等）
5. ノデュラー鑄鐵

本講は用途の廣い鼠鑄鐵に就て主として記述し他を参考程度に述べる事とする。

鼠鑄鐵は0.9%の炭素を化合物(Fe₃C)の形で含み其の他の大部分の炭素を遊離の状態で存在

して居る、従つて破面は黒色、製品は軟かで、加工性が容易である。更に之を分類して普通、高級の2種とする事が出来るが、成分、硬さ等の差は第1表の用になる。

第1表

	C %	Si %	抗張力 kg/mm ²	硬さ HRC
普通鑄鐵	3.0~3.6	2.0~2.5	10~25	140~200
高級鑄鐵	2.5~3.2	1.0~2.0	31~34	210~240

之を顕微鏡的に見ると、普通鑄鐵の方は遊離黒鉛が棒状に大きく發達し、軟く且つ強さが弱い。之に反し高級鑄鐵の方は黒鉛の大きさが小さく、且つ一様に分布して居つて之の爲に強く又幾分硬い特徴がある。

第2章 鼠鑄鐵及其の製法

熔銑爐、送風機、化學反應、裝入原料及び熔銑爐。操業に重要な基礎數字等に別けて説明す

るのが便利であらう。

1) 熔銑爐(キュボラ)

鋳鋼の熔製には電気弧光炉、反射爐等を用ひられるが、大部分は熔鉄爐が使用される。之れはキュボラとも呼ばれるが、圓筒状で、外皮は鐵板で囲み、内側は耐火煉瓦張りになつて居る。

炉底は固定式のものと落底式の二者がある、何れも砂、散炭、粘度等をつき固めて傾斜を附し熔銑の流出に便ならしめる。又前炉のあるものと無いものがあるが前炉は大型熔鉄炉に多い。

炉底から6~15尺の位置に原料裝入口があつ

て、散炭、熔劑、金屬を交互に裝入し、炉底と裝入口の中間の風函より壓風を送つて金屬を熔かすのである。尤も最初は炉底から60~100mm位は底コーケスを焼いて置き更に木材等にて着火せしめる。そして炉内温度が適當に上昇して上の裝入口から金屬等を裝入するのが操業の順序である。

炉の内經は42~200mmに亘る大小種々あつて1時間1/2~25噸の熔解能力の範囲がある。

日本では5噸以下の小さいものが多く中小工業では1噸以下のものが普通であらう。之等の寸法に就ては日本鋼物協會専門委員會制定のものを参考としたい。

第2表 標準寸法(日本鋼物協會制定)

熔解能力 t/h	羽口面 爐内 徑 mm	爐斷面積 羽口面積 mm ²	有効高さ mm	爐底—羽口 距離 mm	送風管 徑 mm	風量 m ³ /min	風壓 (水柱) mm
1/2	420	15~35	1900	400	150	12	300
1	520	13.5~29	2350	500	180	21	350
1 1/2	590	12~25	2650	550	200	29	400
2	670	11~22	3000	600	230	38	440
3	780	9.5~18	3500	650	270	55	520
4	890	8.5~16	4000	700	300	70	600
5	980	8.0~15.0	4400	750	330	90	650

次に通風機であるが、ルーツ式、ターボ型式のもの等が多く用いられる。之等は實際には上の表より20~30%大きく設計するのが普通である。

熔鉄爐設計上重要なものは羽口比(a/A)であらう。即ち羽口面に於ける炉の断面積 $A(\text{mm}^2)$ と全羽口の断面積 $a(\text{mm}^2)$ との比である。之れは昔は $1/8 \sim 1/10$ が常識であつたが、吾國の現状は $1/8 \sim 1/30$ に變つて來て居る。之れは戰後コーケスの品質が粗悪になつた為、羽口の面積を少くする代りに多段式羽口を採用する者である。悪いコーケスを完全に燃焼する爲には羽口比を $1/20$ 以上に變更し、多段式に設計した方が良好な結果を得て居るのであつて大阪府では工業技術館に委員會を設置し研究した上記の新しい形のものを推奨して居る。

第1圖は之れの1種であるが、廣島県の某工場に實際應用して良い結果を挙げたものであるから参考に第3表及び第1圖に掲げて置く。

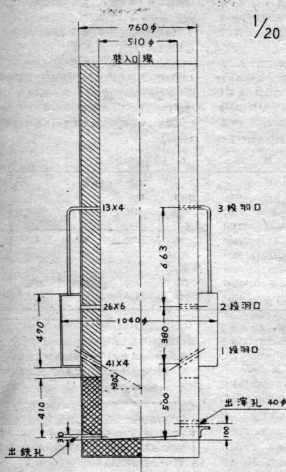
爐の羽口は改造前、羽口比 $1/14$ で1段羽口で

第3表 羽口改良

	改造前	改造後
羽口面爐内徑	300mm	✓
爐底—裝入口距離	2500	✓
羽口—裝入口距離	2050	✓
羽口—爐底距離	500	✓
羽口 1段	70×4本	41×4本
2	ナシ	25×6本
3	ナシ	13×4本
羽口比 a/A	1/14	1/23
コーケス比	23%	13.1%

第 1 図

1 噸 多段式 熔鉄爐



あつた。之の時のコークスは阿賀 2~3 號で消費量が多いにも拘らず温度の上昇が不充分であつたので、之れを三段羽口にし口徑を小さくして羽口比を 1/3 に變更せしめた。之れが爲爐内の温度上昇も良好で而も燃料消費量が減少してきて

居る。

熔鉄爐頂に鼓風加熱管を設置したものも多數有るが、冷風式でもよく設計されたものは燃料消費等に大きな差はないであらう。

2) 鼓風機

離心式、ルーツ式、ターボ式の 3 種がある。ターボ式は高効率が得易く、運轉も圓滑で而も高速原動機に直結出来るので漸次使用率が多くなつて來て居る。日本鋼物協会網谷氏は、ターボ型ブロアーに就いて、第 4 表の様な数字を示されて居る。

熔鉄炉の鼓風状況を知るには先づ風壓計を設ける必要がある。之れも徑 6~8 級の硝子管を曲げて U 字型にしたもの風向に取りつけ一端を大気中に開く、管内には水銀又は水を入れ、スケールを附して風壓による水柱の高さを讀むようにする。風壓が讀まれれば、之れによつて風量も算出出来る。

$$P = K \sqrt{W}$$

P=風壓 (水柱 mm)

W=風量 (m^3/min)

K=定数 70~85

但シ $\begin{cases} \text{羽口比 大} \dots \dots 85 \\ \text{羽口比 小} \dots \dots 70 \end{cases}$

3) 炉内化學反應

焦炭の燃焼により温度上昇、地金を熔すのが原則である、從つて熔鐵爐内に於ける様な化學反応はない。

然し羽口面から上方爐内の瓦斯分佈による時

解能 力 t/h
12
1
2
3
4
5

は第 2 図
と考へら
が存在す
くなる。

と云ふ
う。第 2
 CO_2 の方
られない
然し此
の酸化炉
装入火
が鋼炉に

羽口

第4表 ターボプロアー(網谷氏)

溶解力 t/h	風壓 (水柱) mm	風量 m³/min	所要馬力 HP	吐出管径 mm
1.2	360	15	3	150
1	420	25	5	150
2	530	45	10	200
3	625	65	15	250
4	720	90	20	250
5	780	110	25	300

は第2圖の様になつて最高温度は1500°C前後と考へられる。そして羽口面では可成りの酸素が存在する。上方に至るに従つてCO₂瓦斯が多くなる、1例を示すと羽口面上方の或る断面で

CO%	16%
O%	2%
CO%	2%
N%	残り

と云ふ様な組成であることが窺はれるであろう。第2圖で明かにCO₂:COの比は常にCO₂の方が大きいから、爐内の還元反応は考へられない。

然し遊離の酸素は相當に存在するので地金類の酸化作用は當然考へられる。

裝入地金Fe, Si, Mn等の多少の酸化、之れが廻岸に逃げる事は良く知られて居るが、地金

の酸化を少くする爲にも遊離O₂を少くすることが大切である。

Pilling & Bodsworth氏は鐵の高温酸化に次式を示してゐる。

$$W = Kt \quad \left\{ \begin{array}{l} W = \text{酸素吸収量 (gr.)} \\ t = \text{時間 (hr.)} \\ K = \text{恒数} \end{array} \right.$$

地金中のSiは普通10%, Mnは20%位の酸化消耗する事は常識であるが、羽口の傾斜を大きく設計した爲地金の表面を點風で洗ひ、ペッセマーライシング現象を起す事等は上式から理解されよう。

次に熔剤として入れる石灰石、萤石等であるが、之等は酸炭の灰分、地金の不純分等を酸化化する爲に裝入せられるのであつて、1種の化學作用である。

第5表 鐵 鐵 (25.6通産省要望)

分類 用途	C %	Si %	Mn %	P %	S %
一般 鑄物用	>3.5	2.0~3.0	—	—	<0.08
鑄型用	>3.6	1.5~2.0	0.6~0.8	<0.25	<0.05
ロール用	>3.6	1.3~2.5	0.5~0.8	<0.5	<0.05
パイプ用	1.5~3.8	1.8~2.5	0.6~0.8	<0.4	<0.06

4) 裝入原料

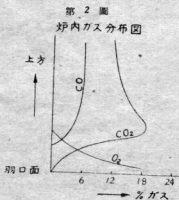
装入原料には地金、鉛炭及び熔剤等がある。

A 地金 地金としては銑鐵、電氣鐵、再生鐵、故鐵、鋼屑が主原料であり、Fe-Si及Fe-Mnが副原料である。

鉛炭は鍛動用としては第5表の様なものが要求されて居るが、一般には入手し難く、其の他のものは之等より低炭素、低珪素であり反対に硫黄分の多量な結局良くない原料である。

繰り返し使用される湯道、湯口等も全様に品質は悪く硫黄等0.2%に前後に及ぶ不良品もあるから注意を要する。

又副原料Fe-Si及びFe-MnにもSi, Mnの含有率70%以上の良品を選ぶ様にしたいものである。



B) 鋼炭

外見上質が緻密で、金屬的な音を出し黒色の光澤あるものが良い。成分的に云ふと揮發分 2%以下、灰分 10%以下と云ふ様なものが良いが第 6 表に示す様に灰分の多いものがあるから注意を要する。

鉄炭中の灰分は SiO_2 に 45~50%， Al_2O_3 30~40% 等を含み之れを酸化化する爲に石灰石等を裝入融点を降下させて流れの良い滓を産ませるのである。

第 6 表 コークス分析表

%	水分	灰分	揮發分	固定炭素	硫黄	カロリー
1	0.42	23.0	0.84	75.7	0.69	6133
2	0.13	11.6	0.61	87.6	0.68	7018

C) 熔剤

鉄炭に含まれる灰分や、地金中の不純分更に地金に附着してゐる鉱等を酸化化する爲、石灰石や螢石を用ゐる。石灰石及び螢石は原石中に SiO_2 を含むが、可成く之れが少いものを選ぶ心要がある。

5) 熔鐵爐操業の基礎數字

以上熔鐵爐に就て色々述べて來たが、操業に當つて特に大切な数字を列挙しよう。

A) 装入口より投入する 1 回の地金量 kg は爐の断面積、毎平方 ft (6.3 cm^2) 対り 0.38 を利した数字が良い。

B) 1kg の鉄炭を 5kg の地金を熔す。即ち燃料は 12%。

C) 1kg の鉄炭を燃焼する空氣量は 10 m^3

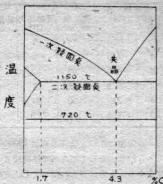
D) 1 脚の地金を熔す空氣量 $21 \text{ m}^3/\text{min}$

尚ほ石灰石は地金に對し 1.5~3.0% 位の投入し、又地金中の Si 損失は 10% 位の Mn 損失は 20% 位のと考へ夫々 Fe-Si, Fe-Mn の補給の要有り。

第 3 章 鑄鐵の物理的性質

鑄鐵は前述の如く炭素、珪素、満鐵、矽鐵等を含んでゐる爲、之が性質も其の量や狀態

第 3 圖



Fe-C 系平衡図の一部

により種々變化する。

1. 融点其の他。

一次凝固点 共晶點 1150°C

〃 2% 白鉄 1400°C

二次凝固点 剰者共 1130°C

變態点 大州田一バーライト 720°C

2. 收縮と膨脹。 木型製作の規則としては

白鉄鑄物 $1/8''$ 1呪 -----

長さ約 1%

白鉄鑄物 $3/8''$ ~

$1/4''$ 1呪 ----- 長さ約 2%

の縮みを考へるのであるが、質量、形、型と中子との關係及化學成分により多少の變化がある。又熔鐵が製品になる間に 3 回の長さ從つて体積の變化がある。

即ち

(a) 液 相

(b) 凝固時 } の 3 回に於

(c) 冷 却 時 } てである。

結局収縮から室温 (20°C) に下る迄には、

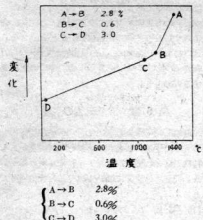
線(長さ)で	0.67% \nearrow	フェライト系
	1.10% \nearrow	モリブデンバーライト系
	2.00% \nearrow	モリブデン白鉄鑄物

体積で $\begin{cases} 1.94\% & \text{鼠鉄物} \\ +5.5\% & \text{白鉄鉄物} \end{cases}$

以上の様な收縮がある事を知ることは鉄物作業に極めて大切な事であつて實際には收縮高として知られてゐる。

又之を曲線に表はしたもののは Ash 及 Saeger 両氏 (Trans. A. F. A. 1932 P 194) の研究がある。

第 5 図
鼠鉄物 体積変化曲線



又鼠鉄物の膨脹系數は、次の数字が挙げられる（或ひは收縮系數）。

$0 \sim 1070^{\circ}\text{C}$ 0.000010/ $^{\circ}\text{C}$

3. 比重。

鼠鉄物	6.95
緻密鼠鉄物	7.35
白鉄鉄物	7.69

普通 7.25

位の数字が挙げられてゐる。又熔融比重は 6.23 前後であるから之から見ても固體になつた場合の体積変化が分る。

4. 流動性。 鑄鐵の流動性は一般に極めて重要である。流動性は次の因子によつて種々變る。

(a) 加熱又は過熱状態 高温の方が流動性

良好。

(b) 成分特に炭素、珪素の多い場合流動性良好。

(c) 生型より焼型の方が良好。

(d) 燒は直接流動性を増さないが融点を低下させる故結局流動性を良好ならしめる。

5. 金屬と含有ガス。 鑄鐵, Fe-Si, Fe-Mn 等は夫々水素 (H_2) 瓦斯を含むが之は後述する錫量と關係が深い。

(A) 鑄鐵と含有ガス。 鑄鐵の H_2 溶解度に關して適格なものがない。然し Sieveris 氏等の純鐵に對する溶解度は

1450°C	12.08	H_2 cc/100gr. Fe
1250	8.68	
1136	7.06	
1033	5.89	
904	4.28	
409	0.40	

等であつて常規に於ても可なりの H_2 を含む事が考へられるし、又鑄鐵は熔融狀態で CO 瓦斯も相當量含む事も知られてゐる。

(B) 硅素鐵と水素。 小林佐三郎氏によれば（鐵と銅昭和14年9月745頁(Fe-Si) (75% Si) 18 cc/100gr. Fe を含み之を 630°C で 6 時間燒鍊することにより 1.71 cc/100gr. Fe に低下することが出来る。

(C) 溝座造と水素。 小林佐三郎氏同上文獻によれば 12.67cc/100gr. Fe にして 850°C, 10 時間の燒鍊で 2.38cc が低下すると言ふ。

第 4 章 鑄鐵の機械性

工業が發達するにつれ、之に使用される鑄鐵も亦高度の機械的性質が要求される様になり、此要求にこたえて最初に述べた様に高級鑄鐵、合金鑄鐵から更に最近はノデニラー鑄鐵と云う様に鋼に匹敵するものも現はれる様になつて來た

(1) 高級鑄鐵

高級鋼鉄は元々成分的には普通鋼鉄と大差のないものであるが、大体普通鋼鉄の深い原因となつてある大きな特徴をもつて出来るだけ細かくして、更に素地を丈夫なバーライト組織にしたものであつて、之が一名バーライト鋼鉄と呼ばれるのは其の爲である。石川博士の有名な菊目組織も或は外國のラント式エンメル式等は皆此鋼鉄に名づけられたもので、日本金属規格では其の機械的性質に依つて5種類に分けられている。

第7表 鋼鉄の機械性

記號	抗張力 kg/mm ²	撓 mm	ブリネル 硬度	備考
FC 10	>10	—	—	普通鋼鉄
FC 15	>15	—	72.0	
FC 19	>19	—	72.5	高級鋼鉄
FC 23	>23	180—240	73.0	
FC 27	>27	180—240	73.0	

此様に高級鋼鉄は普通鋼鉄より抗張力が大きいのが其特長の一つであるが、更に次の様な種々の特性を持つている。

- a. 抗張力を大きく粒性が大
- b. 衝撃に對する抵抗が大きい
- c. 硬度が大きく磨耗に對する抵抗が大きいが機械仕上も容易である。

(2) 合金鋼鉄

高級鋼鉄の諸性能を更に改善する爲に、之にニッケル、クローム、モリブデン、バナジウム等の特殊元素を少量加へたものが合金鋼鉄で、特にニッケル鋼鉄、クローム鋼鉄、ニッケルクローム鋼鉄等が著名である。機械的性質の一例をあけると

第8表 合金鋼の一例

添加元素	添加量%	抗張力 kg/mm ²	ブリネル 硬度
Ni	1.00	28.5	444
Cr	0.66	28.0	255
Ni-Cr	1.10—0.27	32.3	241

(3) ノデュラー鋼鉄

錠放しの信で頭に近い性能をもつ錠物を創り出すと云う事は、多年の願望であつたが、最近此要求に應へる様な鋼鉄が創り出された。之が所謂ノデュラー鋼鉄で、機械的性質の一例を擧げて見ると、

抗張力 50~100 kg/mm²

ブリネル硬度 190~250

伸 1.5~10% (焼純すると伸び率 15%)

と云う様な驚異的なもので、今後色々の方面に使はれる事であらう。

本鋼鉄は微量のマグネシウム(Mg)を成品に合金させたものであるが、Mgを焼鉄と合金させる爲の技術や、或ひは焼鉄の除硫脱酸(Fe-Si)の適否、焼鉄の磷(P)硫黄(S)含有率に考慮を要するのである。

第5章 成分元素の影響

鋼鉄を構成する元素には色々あり、基幹となるものに炭素、珪素、マンガン、鉄硫黄があり特殊元素としては、ニッケル、クロム等がある。此個々の影響について述べると次の通りである。

(1) 炭素

鋼鉄の中の炭素の形には並離炭素と化合炭素(FeC)の二種がある。

一般には徐冷すれば並離炭素が多くなり、急冷すれば化合炭素となり易い。並離炭素が多くなると、流動性を増し、收縮を少くし、製品は軟かになるが、化合炭素が多くなると此反対の性質を現はして来る。更に此炭素の形は他の元素特に珪素の量にも著しい影響をうける。

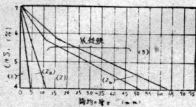
(2) 硅素

珪素は原則として炭素を並離炭素にする力があり、又脱酸性がある爲、錠物中の瓦斯を除く効果がある。

此様に炭素、珪素一般には材質を軟かくする効果があり、機械錠物用としては両者を加へたものが5%前後になれば最も良いとも云はれて

いる。此両成分の含有量の割合が鋼鐵の材質に及ぼす影響を圖示したものは、マウラーの組織圖、グライナーの組織圖、其の他色々あるが、夫々一長一短あり、此處には其の内のグライナーの組織圖を一例として掲げる。

第6圖 グライナー組織圖



- (1) 白鉄鉱 (セメンタイトオーステナイト)
- (2a) 鋼鉄鉱 (セメンタイトバーライト黒鉛)
- (2) バーライト鉄鉱 (バーライト黒鉛)
- (2b) 普通鉄鉱 (バーライトフェライト黒鉛)
- (3) 種軟鉄鉱 (フェライト黒鉛)

(3) マンガン

黒鉛の分離を防ぐ、化合炭素を増し、錫物を硬くする効果があるが、尚脱硫効果も著しく、鋼鐵飼料には一般に0.5%以上加へるのが普通である。

(4) 燒

焼化鉄結晶をつくる事もあり、一般に質を脆くするが、燃點を下げ流動性を増す効果がある為、美術飼料では殊更之を加へる事がある。

(5) 碳 黃

一般に悪影響を及ぼす元素で、化合炭素を増し、硬く脆くするので收縮が多くなる。又鑄造の際は流動性を悪くする。

此様に碳黃は悪い影響だけしかないが、ヨーグスの質が低下すると當然碳黃の増加は免れず此對策としては萤石或はソーダ、石灰石等を加へて脱硫を計らねばならない。

(6) ニッケル、クローム

ニッケルの大きな作用は、肉厚に依る硬度の不同を少くする事で、クロームは一般に炭化物となつて強度を増す上に効果があるが

耐熱性耐蝕性を強くする効果もある。又クロームは繰返し加熱した時に起きる所謂鋼鐵の成長を防止するのに有効である。

第6章 鋼鐵の組織

鋼鐵の組織は、黒鉛、フェライト、バーライト、セメンタイトの四つが色々の形態、大きさに組合されて現はれたもので、夫々の成分、熔解冷却等の條件の如何に依つて定まるものである代表的な組織を圖に示す。

1. 普通鋼鐵

棒状の大きな黒鉛結晶が現はれているのが特徴、之が普通鋼鐵の脆い原因を爲している。此黒鉛を取りまいてバーライト及フェライトが現はれるが、フェライトのあるものは軟かく、バーライトのみのものは夫より硬くなつてゐる。

2. 高級鋼鐵

高級鋼鐵の組織は色々あるが、別圖に其の代表的な渦状黒鉛組織と刺目組織を示す。此様に黒鉛が微細化する爲に非常に丈夫になるのである。

3. テルド鋼鐵

此圖は亞共晶白銅で、黑色印がオーステナイト初晶、白色印がオーステナイト及セメンタイトからなる共晶である。元は急冷に依つて現はれる組織で、此様に黒鉛はなくて硬く脆いものである。

4. マリアブル鋼鐵

白銅を900°C位で非常に長時間に加熱し、セメンタイトを分解させると共に、一部脱炭させると圓の様な柔軟な可塑性のある組織が得られる。之の白色の基地はフェライトで丸い黒色印は所謂燒純炭素で、セメンタイトが分解して出来た二次黒鉛の特徴である。

5. ノデュラー鋼鐵

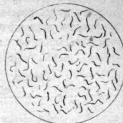
從來の鋼鐵全く様子の異なるもので、圓の様に球状の黒鉛が現はれるのが特徴で、之を取巻いてバーライト或はバーライトとフェライトが存在したものである。此球状黒鉛が此鋼鐵の黑状に富い抗張力と伸を生ずる原因である。

高級鑄鐵

渦狀黑鉛組織



荀目組織



普通鑄鐵

鑄鐵の金相學組織

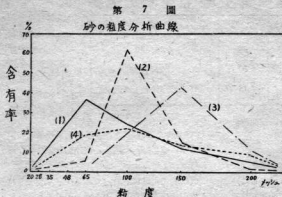


白銑(チルド鑄鐵)



ノデュラー鑄鐵





第 7 章 鑄物砂

鑄鉄鑄物は型に砂を使用する場合が最も多い。而も砂の良否は鑄物成品に影響する事が大きいから良好な砂の條件を考へねばならぬ。

- a) 通気性
- b) 耐火性
- c) 粘結性と強さ
- d) 粒の大小と揃ひ

等が主要條件であらう。通気性が良くなければ、熔鉄流入による鑄型の脱ガス作用が行はれないし、砂に耐火性が無ければ美しい鑄物は出来ぬ。又型を造る爲と、砂崩れの起きぬ様に粘結性と強さも大切な條件であるし、粒が揃つたものでないと木型の細部を窓し難い。

1. 砂の種類

砂には山砂、川砂及び濱砂がある。山砂は珪石、粘土及び長石等を含んで居るし、川砂、濱砂は之等が少いであらう。

良質の山砂は原産の儘使用される。吾國では川口、知多、染名、神戸、平戸及び松江砂等著名なものが多い。

然し上述の様な條件を一應試験する必要があるのであつて、不十分な場合は珪砂にベントナイト等を混合

した所謂合成砂の製造を必要であらう。

次に1例として山砂に就るて試験例を舉けると第7圖及び第8圖の様にならう。

第7圖に於て曲線1は大物の鉛物、曲線2は中物、曲線3は小物鉛物に適した砂の粒度分析である。曲線4の様な粒の大小色々混合したものは通気性が悪くなる。

砂に含まれる粘土分は鉛型の強さの点から極めて大切であるが多きに失すと通気性を

悪くする。

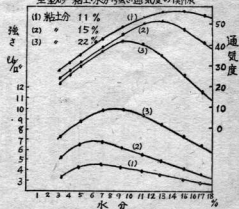
2. 生型

生型の場合、砂の水分、粘土分、強さ及び通気性の相互關係に關しては、當場大官技師の研究がある。之れは第8圖に示した様になつて明瞭に説明出来る。

生型の砂は良い山砂では水分を7-9% ほど、其の使用されるが一般には古砂を半分以上混和する、之れは經濟的理由によるものであつて古砂を用ゐる場合は砂の手入れを充分し古釘、

第 8 圖

生型砂 粘土・水分・強さ・通気度の關係



第9表 焼型用砂配合例

	川砂	コークス粉	古砂	生砂	粘土
大物釜砂	60	15	25	0	外 10
中物	50	10	20	20	外溝粘土水塗る
小物 中子	40	0	15	45	外 粘土水塗る

鉄錆、焦炭の灰、錫張り等が混入せぬ様注意を要す。

3. 焼き型砂

川砂、山砂、古砂及び焦炭等を混合するのであるが、デンドミルを使用せねば充分混らない又鑄物の大小によつて砂の粒度、配合等に注意を要する事勿論である。第9表には焼き型用砂の配合例を掲げて置く。

焼き型は造型後 300°C 以下の温度で充分乾燥し水分を追ひ出す、この際砂の水分が多い時は型の變形を起し易いから注意が肝要である。

以上生型、焼き型の砂に就いて多少述べたが鑄物には中子砂、真土等の特殊のものや、肌砂剥れ砂等造型に際し表面に撒布する砂等もある

等がある。

又特殊なものでは遠心力を利用して造るパイプ鑄物や、米國に流行して居る精密鋳造法、別名模押法等がある

る。

又一般に造型には木枠や金枠を使用するのであるが、流し型、床込め、抜枠法等の特殊な例も行はれて居る。

次に普通行はれる造型であるが、木枠の分割と枠の使ひ方で色々な工夫が必要である、枠を2個或ひは3個以上用ゐる場合もあるし、寄せ型と云ふ特殊な型を用ゐる時もある。

共通した大切な事柄は湯口、湯道、押湯の切り方である。押湯は瓦斯抜き使用になるが特に熔銅の縮みによる收縮溝の防止に重要である。

湯口の切り方によつて湯の流れとガス抜き、湯道の太さと成品の大きさ等充分考へねばならぬ問題があるが、第9圖に湯口の例を掲げて参考をしたい。

瓦斯の抜き方にも押湯使用の適當の外に、小徑の湯道、氣抜け針による氣抜き法等が行はれる。

又一般に鑄物は一様な肉厚さでない場合が多く、従つて熔銅の冷却の速さの差がある、之の爲成品に收縮溝が出来たり切れを生ずる原因と

第8章 造型法

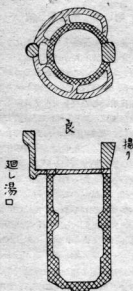
木型と砂の準備が出来ると、造型をやる理けであるが、この方法にも

- a) 現型法
- b) 振き型、搔き型
- c) モルディングマシン法

第9圖
湯口の例



第10圖
ピストン



なる故厚い肉の部分に
冷金等を用いる。

要するに造型に際し
ては湯口、溢り、湯道
押湯、瓦斯抜き、冷金
等充分考へて方法を決
定する事が必要であつ
て、實地の経験が無い
所以である。

鑄物には比較的の困難
であるピストン及びチ
ーゼル内燃機のシリン
ダーの造型の例を第10
圖及第11圖に掲げる。

第10圖のものはピス
トンの型であるが、過

し湯口を切り、瓦斯抜きと押湯を兼用にした例
である。鋼枠の小さいものを利用して成績がよ
い。又第11圖の方はシリンドラーの型に就て谷方
之助氏の考案のものであるが、押上二段注入法
である。左圖の方は瓦斯抜きが妙みであるが、
右側の例のものは下部肉厚部の冷却が遅れて瓦
斯抜きも悪く、又揚りに近く肉厚の部分がある
から收縮高を起し易いと考へられよう。

第9章 鋳鐵の熱處理

鋳鐵の熱處理は普通行はれない様に考へるが
之れは間違ひである。熱處理を別けると

a) 継留應力除去

b) 欲化の爲の焼純

等に考へられるべきであらう。

a) 継留應力と焼純 鋳鐵を冷却する時の
收縮を考へて見ると、鐵の變態を無視する時の
長さに於ては次の式が成立しよう。

$$l = l_0 [1 - \alpha (t_0 - t)]$$

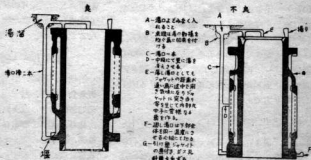
l_0 , t_0 ...は高溫に於ける長さ及び溫度

l , t ...は低溫に於ける

α O...は收縮系數

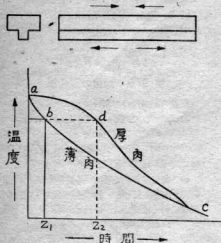
鼠蹊鍛物の場合 鑄造溫度は 1300°C 前後
であるから、鑄物が常温 20°C に降下する迄には
 1200°C 位な溫度差であつて、肉の厚薄によ

第11圖
内燃機用シリンドラー
(谷氏)



第12圖

肉の厚薄と冷却



り時間冷却状態にも大きな差が部分的に生ずる事は容易に想像されよう。

今第12圖の様な鋼物の厚薄のある物を鍛造する場合、肉の薄い方は曲線abcの様に冷却されるし、厚い方はabcの様に添ふ様になると考へて差へない。

そして此場合ひbdの示す温度で鋼物が冷却するには薄い部分と厚い部分にZ₁、Z₂の様な時間的のむきが出来る、換言すれば收縮の差が出来此處に應力を殘留する原因となる。

鋼物は鍛造後、相當な時間を経過して應力による變形を起させる場合もあるが、500~600°Cの温度に3~6時間熱して鍛造應力を除き、後日成品に出るかもしれない變形を防止するのが新しいやり方であろう。

b) 軟化焼純

鋼造品が硬きに失する時は高溫度焼純を行ひ、之れを軟化する事が出来る。普通軟化焼純は750~800°Cの温度で1~3時間行はれる。次に

1例を示すと

鍛放しの値	ブリネル硬度	220
800°C 1時間焼純	〃	150
2時間 〃	〃	130

第10章 用途別品質

用途により鋼鐵の組成が變化させる必要がある。之れには原料の成分を吟味し配合を考慮することとなるのであるが、Fe-Si 又は Fe-Mn の添加量及添加の方法は熔銑の適否を決定する要素である次の表は用途品飼料の組成であるが實際にこの表の様には熔銑配合だけでは成功し難く、所調焼前熔銑の迅速判定を行ひ補正をする事がある。そこで迅速に基の性質を知る爲には色々な形の試験棒を造つて試験する事が行はれてゐる。

試験棒には日本學振の楔型法、成ひは金形に丸い管型を造つて、破面のナル狀態を検査するもの、或ひは米國式のステップバー試験(第13圖)等が有る。

然し私は第14圖右の様な板状試験片を造り、下方に適宜チル板を置いたものが、試験に便利であると思ふ。この試験棒はチルド車輪を鍛造する時のSi量とチル効果を見る爲、用いたものであるが、冷金の厚さを一定にし且つ熔池温度を定めて置けば、破面を見る事により Si の量の推定が出来る。業者が成品により冷金の厚みを定め且つ試験片の破面とSiの化學分析を一通り實施して置けば、後々適當な温を逃る判定となるであらう。

第11章 鋼物の欠陥

鋼物は、原料、熔解、鍛込み温度等の外、砂の水分と性質、搗ぎ固めの好悪、或ひは造型法の適否等で色々な欠陥が出来易い。

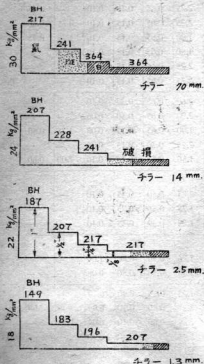
縫ひ、拘ひ、砂吸ひ、津入り、撻付、痕、吊切電弧、出干し、入干し等の現象欠陥の名稱がある事は廣く知られてゐて其の原因も明らかである。

標準市取販鐵鑄鐵分析表 (From Metals Hand Book U. S. A.)

名 称	含 有 成 分 %						
	全炭素	硅 素	マニ ガン	磷	硫 黃	ニ ツ ケ ル	クロ ム
自動車 普通鑄鐵	3.25	2.25	0.65	0.15	0.10	—	—
シリングー ニッケル・クローム鑄鐵	3.25	2.25	0.65	0.15	0.10	0.75	0.30
強力ニッケル・クローム鑄鐵	3.25	1.90	0.65	0.15	0.10	1.75	0.45
ニッケル 鑄 鐵	3.25	1.80	0.65	0.15	0.10	1.25	—
ピストン 普 通 鑄 鐵	3.35	2.25	0.65	0.15	0.10	—	—
モリブデン 鑄 鐵	3.35	2.25	0.65	0.15	0.10	—	0.50
一般部品鑄鐵	3.40	2.60	0.65	0.30	0.10	—	—
ピストンリング 特殊鑄鐵	3.50	2.90	0.65	0.50	0.06	—	—
自動車用 ブレーキドラム	3.30	1.90	0.65	0.15	0.08	1.25	0.50
自動車用 ブレーキドラム カ ム	2.75	2.25	0.70	0.15	0.08	—	—
3.10	1.50	0.65	0.15	0.10	2.00	0.60	0.50
機械部品鑄鐵							
軽量用及薄内部品	3.25	2.25	0.50	0.35	0.10	—	—
中量用及厚内部品	3.25	1.75	0.50	0.35	0.10	—	—
重量用厚内部品	3.25	1.25	0.50	0.35	0.10	—	—
砂鑄込水パイプ							
輕 中 量 用	3.60	1.76	0.50	0.80	1.08	—	—
重 量 用	3.40	1.40	0.50	0.80	0.08	—	—
チルト飼物器皿	3.60	1.25	0.55	0.40	0.10	—	—
強力普通鑄鐵	2.75	2.25	0.80	0.10	0.09	—	—
強力ニッケル鑄鐵	2.75	2.25	0.80	0.10	0.09	1.00	—
強力モリブデン鑄鐵	2.75	2.25	0.80	0.10	0.90	—	—
耐熱鑄鐵 火壺 等	3.50	1.15	0.80	0.10	0.07	—	—
耐腐蝕性塗ニッケルクローム鑄鐵	3.30	0.70	0.50	0.10	0.08	1.50	0.60
耐腐蝕性塗 普通鑄鐵	3.60	1.00	0.75	0.20	0.07	—	—
インゴット・ケース	3.50	1.00	0.90	0.20	0.07	—	—
車 輪	3.35	0.65	0.60	0.35	0.12	—	—
エヤー, アンモニア・シリングー用普通鑄鐵	3.25	1.25	0.65	0.20	0.10	—	—
強力壓縮機シリングー用普通鑄鐵用	3.00	1.10	0.80	0.20	0.10	2.00	—
普通壓縮機シリングー用ニッケル・クローム鑄鐵	3.30	2.10	0.55	0.25	0.10	1.25	0.45
軽荷重、成型、押型、鑄造用 ダイスニッケル・クローム鑄鐵	3.30	1.50	0.60	0.20	0.10	2.00	0.60
重荷重、成型、押型、鑄造用 ダイスコリケル・クローム鑄鐵	3.00	1.25	0.60	0.20	0.10	2.75	0.80
軽量造ダイスモリブデン鑄鐵	3.30	2.00	0.60	0.20	0.10	—	—
強力鑄造ダイスモリブデン鑄鐵	3.10	1.50	0.60	0.20	0.08	—	—
バルブ附屬品（一般用）	3.30	2.00	0.30	0.35	0.10	—	—

第13圖 ステップバー試片

Siと冷金の影響



(Bornstein, Bolton.)

然し最も多い欠陥は崩れである。崩れの内、縮み崩れに就ては原因も対策も明瞭であるが、氣泡崩れに就ては今日と雖も充分説明困難な点がある。之の外、逆チル現象とか、偏析欠陥は理解が稍々困難故以下之等に就て説明しよう。

a) 気泡崩れ

鉄鉱 100g は 20~30C.C. の瓦斯を含んで居てそれが鋳型内で冷却する際放出せられる。特に液体から凝結して固体に變る時發生する事は第

第14圖 デル試片

チル
深
さ

15圖 Wuest氏等の研究結果からも窺はれる。

即ち色々な鋳鉄の收縮曲線で何れも 1100°C 附近で膨脹突起を示してゐるのは之である。瓦斯の成分は H₂ と CO 瓦斯である事も知られて居るが、之等の瓦斯が熔鐵から完全に逃げ去らない場合には氣泡巣を残すのであつて、之れを除却する爲には熔鐵の流動性を良くする事や、脱水素の目的で注入前にスケール處理等を行ふ事がある。

次に他の氣泡は熔鐵を鋳型に注入した場合、型の水分や有機分から発生する水蒸氣又は瓦斯であつて、何れも砂の通氣或ひは造型の工夫で之れが巣を減少せしめるであらう。

b) 逆チル現象

鋳物は巣又は冷金に面した外部から速く冷却するのが當然である。逆チル現象は鋳物の内部即ち冷却の緩慢なる部分に出来るので不思議であるが、この部分の分析結果硫黄(S)が多く存在してゐる點から I 種の偏析と考へられよう。逆チルの發生したものは 1050°C に加熱する時は消失する。

c) 球状異物の偏析

鋳物の表皮に近く、或ひは巣の内部に球状異物の存在する事を時々見出す事が出来る。これは炭素と磷の化合物であつて而も磷(P)分が 7%にも及んで居ると稱せらる。冷却鋳物等比較的多磷鋳物に於ては且發生し易く、注意を要する欠陥であらう。

第 15 圖
銑・鑄鐵の收縮



(Wüst, Schitzkowski)

附記

本講の参考又は引用した文献は主として次のものである。記して夫々の著者に敬意を表す。

1. P. Oberhoffer Das Technische Eisen
2. U. S. A. Metals Hand Book 1939
3. J. Inst. Metals Ud. 29. 1923
4. Trans. A. F. A. 1932
5. 解説 鋼鐵技術・飯高博士
6. 日本鋼鐵協会誌 (昭和25.6) 綱谷俊平氏
7. 大阪府總會技術委員會 鋸物部會印刷
8. 鋸物作業指針・谷万之助氏
9. 鐵と鋼 (昭和14.9) 小林博士